



UNIVERSIDADE DE RIBEIRÃO PRETO-UNAERP PROGRAMA DE
PÓS-GRADUAÇÃO EM BIOTECNOLOGIA

**Identificação de proteínas presentes no soro do látex da *Himatanthus*
sucuuba (Apocynaceae)**

RIBEIRÃO PRETO - SP
2017

JANETH SILVA PINHEIRO MARCIANO

**Identificação de proteínas presentes no soro do látex da *Himatanthus succuuba*
(Apocynaceae)**

Tese submetida à Coordenação do Programa de Pós-Graduação em Biotecnologia da Universidade de Ribeirão Preto, como requisito para obtenção do grau de Doutor em Biotecnologia.

Orientadora: Profa. Dra. Sônia Marli Zingaretti

**RIBEIRÃO PRETO - SP
2017**

Ficha catalográfica preparada pelo Centro de
Processamento Técnico da Biblioteca Central da UNAERP

- Universidade de Ribeirão Preto -

Marciano, Janeth Silva Pinheiro, 1963-
M3191 Identificação de proteínas presentes no soro do látex da
Himatanthus siccus (Apocynaceae) / Janeth Silva Pinheiro
Marciano. - - Ribeirão Preto, 2017.
132 f.; il. color.

Orientadora: Prof.^a Dr.^a Sônia Marli Zingaretti.

Tese (doutorado) - Universidade de Ribeirão Preto, UNAERP,
Biotecnologia. Ribeirão Preto, 2017.

1. Biotecnologia. 2. Eletroforese unidimensional. 3. Espectrometria
de massa. 4. Proteínas laticíferas. I. Título.

CDD 660

JANETH SILVA PINHEIRO MARCIANO

IDENTIFICAÇÃO DE PROTEÍNAS PRESENTES NO LÁTEX DA *HIMATANTHUS SUCUUBA* (APOCYNACEAE)

Tese de Doutorado apresentada ao Programa de Pós-Graduação em Biotecnologia da Universidade de Ribeirão Preto, para obtenção do título de Doutor em Biotecnologia.

Área de Concentração: Biotecnologia Aplicada à Saúde

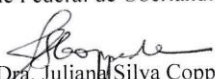
Data da defesa: 22 de MAIO de 2017

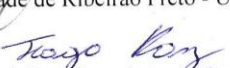
Resultado: Aprovada

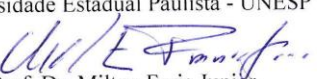
BANCA EXAMINADORA


Profa. Dra. Sonia Marli Zangaretti
Universidade de Ribeirão Preto - UNAERP


Prof. Dr. Nilson Nicolau Junior
Universidade Federal de Uberlândia - UFU


Profa. Dra. Juliana Silva Coppede
Universidade de Ribeirão Preto - UNAERP


Prof. Dr. Tiago Antunes Paz
Universidade Estadual Paulista - UNESP


Prof. Dr. Milton Faria Júnior
Universidade de Ribeirão Preto - UNAERP

RIBEIRÃO PRETO
2017

Ao meu marido Ivan Marciano, por apoiar as minhas decisões, compreender a minha ausência, pelo seu companheirismo e amor, DEDICO.

A minha irmã Jacinete Pinheiro (*In Memoriam*), amor eterno, DEDICO.

AGRADECIMENTOS

A Deus que nos direciona em todos os momentos de nossas vidas.

À orientadora Profa. Dra. Sônia Marli Zingarett que me acolheu como orientanda, pela sua experiência científica e pelos seus ensinamentos.

Aos funcionários dos Laboratórios da Biotecnologia da UNAERP especialmente a Simone Cristina Zanpolo Torres.

A todos os Professores do Programa de Doutorado, pelos conhecimentos a nós transmitidos.
Aos meus colegas do laboratório Matheus, Joice, Luana e Renan Silva pela amizade, apoio e cooperação.

Ao meu pai Juarez da Silva Pinheiro (*In Memoriam*) e a minha mãe Neide da Silva Pinheiro (*In Memoriam*) que muito contribuiram para formação dos alicerces de minha educação.

Aos meus irmãos que de alguma forma, sempre me ajudaram.

Ao Laboratório de Química de Proteínas da USP-Ribeirão Preto.

Ao Departamento de Química da Faculdade de Filosofia, Ciências e Letras de Ribeirão Preto – USP. Especificamente no Laboratório de Espectrometria de Massas Aplicada a Química de Produtos Naturais.

Ao professor Leo Kei Iwai do Instituto Butantan.

MUITO OBRIGADO!

O tempo pode ser cultivado como um amigo e um colaborador, pois ele é a inspiração de tudo que existe. O tempo permite que as coisas aconteçam; ele é o fluxo dos eventos, o desdobrar da experiência. O tempo nos dá as oportunidades preciosas de viver, de nos desenvolver, crescer e também de apreciar nossa natureza interior. Mesmo sabendo que o nosso tempo por fim se esgotará, que a vida terminará e que as nossas oportunidades se acabarão, ainda assim terá sido o tempo que permitiu o desenrolar de nossas vidas.

(**Tarthang Tulku**)

RESUMO

Himatanthus sucuuba é uma planta laticífera que pertence à família Apocynaceae, nativa da região Amazônica. É usada tradicionalmente na medicina popular como: vermífugo, tratamento de gastrite, artrite, laxativo, antianêmico, antifúngico e cicatrizante. Pouco se conhece sobre o proteoma do látex de *H. sucuuba* e o objetivo desse trabalho foi a identificação de proteínas presentes no soro do látex, através das técnicas de cromatografia, eletroforese bidimensional (2D), eletroforese (1D) SDS-PAGE e Espectrometria de massas, utilizando proteínas totais extraídas do soro do látex de *H. sucuuba* (HsLP). Os resultados foram analisados pelo MASCOT (integrado ao banco de dados NCBInr/ Swiss-Prot), Blast2GO, em conjunto com a base de dados do KEGG. Foram identificadas no látex de *H. sucuuba* 1.471 proteínas das quais 587 proteínas apresentando score igual ou superior a 20. Dentre essas, 587 previamente identificadas, foram encontradas: 267 proteínas preditas (45%), 158 hipotéticas (27%), 128 caracterizadas (parciais ou inteiras) (22%), 24 putativas (4%) e 10 proteínas não definidas (2%), com massa molecular variando entre 13,33 e 164,65 KDa. Dentre as proteínas encontradas 32,64% são básicas ($pI > 8$), 24,82% são neutras ($6 \geq pI \geq 8$) e 60 proteínas que correspondem a mais de 40% do total são caracterizadas como ácidas ($pI < 6$). As enzimas mais frequentes encontradas pertencem às classes transferases, seguida das hidrolases, oxidoreductases, liases e ligases. Não foram identificadas enzimas do tipo isomerases. As enzimas identificadas no soro do látex de *H. sucuuba* resultaram na predição de 30 vias metabólicas. Entre elas, foi identificada uma enzima *NADH: ubiquinone reductase*, que compõe um dos principais complexos proteicos da fosforilação oxidativa nas mitocôndrias. Dentre outras enzimas, algumas da via de biossíntese de alcalóides isoquinolínicos foram identificadas. As enzimas *tetrahydroberberine oxidase*; *(S)-THB oxidase* e *(RS)-norcoclaurine 6-O-methyltransferase* catalisam reações que produzem produtos de interesse farmacológico, como os alcalóides berberine e palmatine, que são tóxicos para insetos e vertebrados e inibem a multiplicação de bactérias, fungos e vírus. A berberine tem várias atividades farmacológicas, incluindo propriedades antimicrobianas, de redução da glicose e do colesterol, antitumorais e imunomoduladoras. Além disso, identificou-se no látex de *H. sucuuba* o composto lupeol que apresenta atividade anti-inflamatória. A enzima óxido nítrico sintase que catalisa a produção de óxido nítrico uma importante molécula de sinalização celular, que desempenha funções em uma variedade de processos celulares como vasodilatação, neurotransmissão, agregação plaquetária, e está envolvido na angiogênese. The results obtained in this study provided important information about the proteins identified in the serum of *H. sucuuba* latex that make possible future research.

Palavras-chave: Eletroforese unidimensional, Espectrometria de massas, *Himatanthus sucuuba*, Proteínas laticíferas.

ABSTRACT

Himatanthus sucuuba is a latiferous plant that belongs to the family Apocynaceae, native to the Amazon region. It is traditionally used in popular medicine as: vermifuge, in the fight against gastritis, arthritis, laxative, antianemic, antifungal and cicatrizante. Little is known about the latex protease of *H. sucuuba* and the objective of this work was to identify proteins present in the serum of the latex through the techniques of chromatography, two-dimensional electrophoresis (2D), electrophoresis (1D) SDS-PAGE and spectroscopy mass. For the proteomic analysis, total proteins extracted from the serum of *H. sucuuba* latex (HsLP) were used by electrophoresis (1D) SDS-PAGE and mass spectrometry. The result obtained from mass spectrometry was analyzed by MASCOT (integrated with the NCBInr / Swiss-Prot database). In the latex of *H. sucuuba*, 1,471 proteins were identified, of which 587 proteins had a score equal to or higher than 20. Of these, 587 previously identified, 267 predicted proteins (45%), 158 hypothetical proteins (27%), 128 (22%), 24 putative (4%) and 10 undefined proteins (2%), with molecular mass ranging from 13.33 to 164,65 KDa. Among the proteins found 32,64% are basic ($pI > 8$), 24,82% are neutral ($6 \geq pI \geq 8$) and 60 proteins, corresponding to more than 40% of the total are characterized as acidic ($pI < 6$). The most frequent enzymes that were found belong to the class transferases, followed by hydrolases, oxidoreductases, lyases and ligases. No isomerase-like enzymes have been identified. The enzymes identified in the serum of *H. sucuuba* latex by Blast2G0, together with the KEGG database, resulted in the prediction of a total of 30 metabolic pathways. In the metabolic pathways, an NADH: ubiquinone reductase enzyme, which makes up one of the major protein complexes of oxidative phosphorylation in the mitochondria, has been identified. Oxidative phosphorylation is the most important part of the metabolic pathways, which produces adenosine triphosphate (ATP) using energy, and It also produces reactive oxygen species, such as hydrogen peroxide and superoxide. Among these, the biosynthesis pathway of isoquinolinic alkaloids was an important pathway described. The enzymes identified in this pathway (tetrahydroberberine oxidase; (S) - THB oxidase and (RS) -norcoclaurine 6-O-methyltransferase) catalyze reactions and produce products of pharmacological interest, such as the alkaloids berberine and palmatine, are toxic to insects and vertebrates And inhibit the multiplication of bacteria, fungi and viruses. Berberine has several pharmacological activities, including antimicrobial, glucose and cholesterol lowering, antitumor and immunomodulatory properties. In addition, we identified in the latex of *H. sucuuba* the compound lupeol that shows anti-inflammatory activity. The enzyme nitric oxide synthase that catalyzes the production of nitric oxide is an important cell signaling molecule, which functions in a variety of cellular processes such as vasodilation, neurotransmission, platelet aggregation, and is involved in angiogenesis. The results obtained in this study provided important information about the proteins identified in the serum of *H. sucuuba* latex that allows for future research.

Key words: *Himatanthus sucuuba*, Latex proteins, Mass spectrometry, One-dimensional electrophoresis.

LISTAS DE FIGURAS

Figura 1	Anatomia de células laticíferas em oito espécies de plantas.	18
Figura 2	Atividade angiogênica na MCA.	19
Figura 3	Esquema simplificado da matéria prima para a produção de gel cicatrizante	20
Figura 4	REGEDERM® produto que possui atividade angiogênica e celeradora do processo cicatricial e é indicado para o tratamento e cicatrização de úlceras cutâneas de diversas etiologias.	20
Figura 5	Árvore <i>Himatanthus sucuuba</i> . No detalhe o tronco e casca rugosa da planta.	24
Figura 6	Partes da planta <i>H. sucuuba</i> (A fruto - B; semente- C; folha e flor - D)	24
Figura 7	Perfil eletroforético de amostra do soro do látex de <i>H. sucuuba</i> (15 µg) em PAGE-SDS	39
Figura 8	Cromatograma obtido da separação das proteínas do soro do látex de <i>H. sucuuba</i> , utilizando a coluna de troca catiônica HiTrap SP XL.	40
Figura 9	Cromatograma obtido da separação das proteínas do soro do látex de <i>H. sucuuba</i> utilizando a coluna de troca aniônica HiTrap QXL.	40
Figura 10	Fotos dos géis de segunda dimensão com amostras resultantes dos três métodos de extração testados. A- Extração de sulfato de amônio; B- Extração com TCA/Acetona e C - Extração com TCA/Acetona.	42
Figura 11	Perfil eletroforético em PAGE-SDS 12 % corado por Coomassie G-250, das Proteínas totais extraídas do soro do látex de <i>H. sucuuba</i> .	43
Figura 12	Proteínas potencialmente identificadas no látex de <i>Himatanthus sucuuba</i>	44
Figura 13	Classificação das proteínas caracterizadas de acordo com o organismo identificado.	55
Figura 14	Gráfico de dispersão para a relação de Score e pI das proteínas obtidas pela espectrometria de massas e identificadas pelo programa Mascot.	56
Figura 15	Anotação funcional para Processo Biológico das proteínas identificadas em <i>H. sucuuba</i> .	58
Figura 16	Anotação funcional para função molecular das proteínas identificadas em <i>H. sucuuba</i> .	59
Figura 17	Anotação funcional para componente celular das proteínas identificadas em <i>H. sucuuba</i> .	60
Figura 18	Classificação geral das enzimas encontradas no látex de <i>H. sucuuba</i> . As enzimas foram categorizadas utilizando-se o programa Blast2GO, de acordo com o banco de dados <i>Kyoto Encyclopedia of genes and Genomes pathway database</i> disponíveis em KEGG.	61
Figura 19	Esquema metabólico da reação de fosforilação oxidativa evidenciando a participação da enzima <i>NADH: ubiquinone reductase</i> , uma proteína identificada no látex de <i>H. sucuuba</i> . A caixa colorida na cor rosa, indica o número EC 1.6.5.3, correspondente da enzima identificada.	71

Figura 20	Resumo de algumas das vias metabólicas e enzimas preditas pelo Blast2GO, no soro do látex de <i>H. sucuuba</i> .	72
Figura 21	Reações catalisadas pela enzima EC: 1.3.3.8	74
Figura 22	Via metabólica dos alcalóides isoquinolinicos identificada em <i>H. sucuuba</i> . Enzima destacada em verde é a (<i>RS</i>)- <i>norcoclaurine 6-O-methyltransferase</i> (EC:2.1.1.128) em azul (<i>S</i>)- <i>tetrahydroberberine:oxygen oxidoreductase</i> (EC: 1.3.3.8), com seus respectivos números de EC.	75
Figura 23	Espectro de ESI-MS de ions totais da fração aquosa (modo positivo).	76
Figura 24	Espectro de ESI-MS/MS do ion m/z 409,4 (modo positivo).	77
Figura 25	Estrutura química do lupeol.	77
Figura 26	Espectro de ESI-MS de ions totais da fração acetato (modo positivo).	79
Figura 27	Espectro de ESI-MS de ions totais do látex bruto (modo positivo).	79
Figura 28	Espectro de ESI-MS/MS do ion m/z 409,4 (fração acetato; modo positivo).	80
Figura 29	Espectro de ESI-MS/MS do ion m/z 409,4 (látex bruto; modo positivo).	80

LISTA DE TABELAS

Tabela 1	Proteínas de látex identificadas em diferentes plantas por Espectrometria de massas .	23
Tabela 2	Lista de peptídeos e proteínas identificadas em látex de <i>Himatanthus sucuuba</i> por ESI-QUAD-TOF.	45
Tabela 3	Subclasses das enzimas oxireduases identificadas no soro do látex de <i>H. sucuuba</i> . Categorizadas de acordo com os seus números de EC (<i>Enzyme comission</i>), com base nos dados obtidos no <i>Encyclopedia of genes and Genomes pathway database</i> (KEGG) pelo software Blast2GO.	62
Tabela 4	Subclasses das enzimas transferases identificadas no soro do látex de <i>H. sucuuba</i> . Categorizadas de acordo com os seus números de EC (<i>Enzyme comission</i>), com base nos dados obtidos no <i>Encyclopedia of genes and Genomes pathway database</i> (KEGG) pelo software Blast2GO.	63
Tabela 5	Subclasses das enzimas hidrolases identificadas no soro do látex de <i>H. sucuuba</i> . Categorizadas de acordo com os seus números de EC (<i>Enzyme comission</i>), com base nos dados obtidos no <i>Encyclopedia of genes and Genomes pathway database</i> (KEGG) pelo software Blast2GO.	64
Tabela 6	Subclasses das enzimas liases identificadas no soro do látex de <i>H. sucuuba</i> . Categorizadas de acordo com os seus números de EC (<i>Enzyme comission</i>), com base nos dados obtidos no <i>Encyclopedia of genes and Genomes pathway database</i> (KEGG) pelo software Blast2GO.	64
Tabela 7	Vias metabólicas das enzimas encontradas no soro do látex de <i>H. sucuuba</i> , preditas pelo Blast2GO em conjunto com a base de dados KEGG pathway. Com seus respectivos números e nomes EC (<i>Enzymes Commission</i>).	66

LISTA DE ABREVIATURAS E SIGLAS

1D	unidimensional
2D	bidimensional
ATP	trifosfato de adenosina
B2G	Blast2GO
CoA	coenzima A
DTT	ditiotreitol
EC	Enzyme Commission
EDTA	ácido etilenodiamino tetracético (dissódico)
EM	Espectrometria de massas
MS	Mass spectrometry
ESI	ionização por <i>electrospray</i> .
GO	Gene Ontology
IUBMB	International Union of Biochemistry and Molecular Biology
KEGG	Kyoto Encyclopedia of Genes and Genomes
<i>m/z</i>	Relação massa-carga
mL	mililitros
MM	massa molecular
NCBInr	National Center for Biotechnology Information non-redundant protein database
PAGE	eletroforese em gel de poliacrilamida (<i>polyacrylamide gel electrophoresis</i>).
ROS	espécies reativas de oxigênio
SDS	dodecil sulfato de sódio (<i>sodium dodecyl sulfate</i>)
TCA	ácido tricarboxílico
TOF	tempo de vôo (<i>time-of-flight</i>)
PAGE	Eletroforese em gel de poliacrilamid
$\mu\text{g}/\text{mL}$	Microgramas/Mililitros
$\mu\text{g}/\mu\text{L}$	Microgramas/microlitros
MCA	Membrana cório-alantóidea
HsLP	Proteínas do Látex de <i>Himatanthus sucuuba</i>

SUMÁRIO

1	INTRODUÇÃO	16
2	REVISÃO DA LITERATURA	17
2.1	Plantas laticíferas	17
2.2	Proteínas identificadas em diferentes espécies de plantas	22
2.3	Espécie <i>Himatanthus sucuuba</i>	23
2.4	Espectrometria de massas de proteínas	26
3	JUSTIFICATIVA	28
4	HIPÓTESE	29
5	OBJETIVOS	30
5.1	Objetivo geral	30
5.2	Objetivos específicos	30
6	MATERIAL E MÉTODOS	31
6.1	A coleta de material biológico	31
6.2	Fracionamento e diálise	31
6.3	Extração de proteínas do látex	31
6.4	Quantificação de proteínas totais	33
6.5	Eletroforese gel de poliacrilamida SDS-PAGE	33
6.6	Cromatografia de Troca Iônica	33
6.7	Eletroforese Bidimensional	33
6.7.1	Focalização Isoelétrica	34
6.7.2	Eletroforese Bidimensional ou Segunda Dimensão	35
6.8	Espectrometria de massas	35
6.8.1	Eletroforese em gel de poliacrilamida 12% –SDS-PAGE	36
6.8.1.1	Redução e alquilação	36
6.8.1.2	Digestão das proteínas	37
6.9	Identificação metabólitos secundário presentes no látex da espécie <i>H. sucuuba</i> (Apocynaceae) por Espectrometria de massas	37
7	RESULTADOS E DISCUSSÃO	39
7.1	Quantificação de proteínas	39
7.2	Eletroforese –SDS-PAGE	39

7.3	Cromatografia de troca iônica	39
7.4	Eletroforese Bidimensional	41
7.5	Identificação de proteínas por análise MS/MS	42
7.6	Perfil de proteínas	55
7.7	Pontos isoelétricos	56
7.8	Anotação funcional das proteínas identificadas pelo programa Blast2GO	57
7.9	Classificação das enzimas	61
7.9.1	Oxirredutases	62
7.9.2	Transferases	62
7.9.3	Hidrolases	63
7.9.4	Liases	64
7.9.5	Ligases	65
7.10	Vias metabólicas	65
7.10.1	Funções de algumas das proteínas e enzimas identificadas no soro do látex <i>de Himatanthus sucuuba</i>	71
7.11	Identificação de metabolitos secundário	76
8	CONCLUSÃO	81
	REFERÊNCIAS BIBLIOGRÁFICAS	82
	ANEXO	93

1. INTRODUÇÃO

O Brasil possui uma flora rica em plantas utilizadas pela população com fins terapêuticos, uma das mais antigas formas da prática medicinal da humanidade. Em alguns países do Oriente, a utilização de plantas medicinais é a principal fonte da maioria dos tratamentos na forma de chás, emplastos, pomadas e tinturas. As plantas têm sido também empregadas na indústria farmacêutica como matéria prima para a extração de princípios ativos (compostos químicos) que são utilizados no desenvolvimento de vários medicamentos como: quinina, extraído da casca da *Cinchona L.*, Taxol (paclitaxel isolado de *Taxus brefolia*), a codeína e a morfina (isoladas do látex da *Papaver somniferum L.*), os alcaloides emetina e cefaelína (ambas isolados de *Cephaelis ipecacuanha*), entre outros. Nas últimas décadas várias pesquisas têm sido feitas buscando a comprovação das ações farmacológicas de diversas plantas de uso frequente pelas populações locais.

As plantas laticíferas, particularmente, são utilizadas na medicina popular em função de suas propriedades curativas e analgésicas, no uso tópico em locais de ferimentos ou por ingestão do látex.

Aproximadamente 20.000 espécies de plantas que compreendem aproximadamente 10% de todas as angiospermas identificadas contém látex. O látex apresenta-se como um líquido leitoso composto por uma mistura complexa de moléculas, na maioria das plantas o látex é branco, podendo ser encontrado também nas tonalidades marrom, laranja ou vermelho. Desempenha funções que vão desde barreira física a toxicidade e defesa da planta contra patógenos. No momento em que a planta sofre injúria mecânica nas folhas, caules e frutos pela ação do homem ou por insetos, essas plantas secretam imediatamente o látex. A exsudação do látex prossegue por alguns minutos até a formação de um coágulo entorno da injúria na planta que pode aprisionar pequenos insetos e apresentar efeito tóxico a outros animais. A coagulação do látex é importante para a defesa da planta contra um possível invasor.

A aplicação tópica de plantas medicinais (látex, folhas, raízes, caule) tem sido utilizada, na medicina popular, na cicatrização de feridas, no entanto, o mecanismo exato do processo de cicatrização das feridas não é plenamente esclarecido. Coagulação e fibrinólise são dois eventos proteolíticos importantes na cicatrização de feridas, essa atividade proteolítica encontra-se presente no látex de muitas plantas medicinalmente importantes, como: *Synadenium grantii*, *Calotropis gigantea*, *Euphorbia cf*, *Tabernaemontana divaricata* e outras. O interesse medicinal e farmacêutico em plantas baseia-se na presença de compostos importantes como:

alcalóides, flavonóides, ácidos fenólicos entre outros que ocorrem na seiva leitosa (látex) de algumas plantas.

Atualmente, o látex tem sido bastante estudado e vem ganhando destaque no estudo de biomoléculas na defesa contra invasores nas plantas e atividade ant inflamatória e cicatrizante. Graças aos avanços tecnológicos nas áreas de química, bioquímica, biotecnologia e farmacologia, a extração, purificação, testes terapêuticos e a elucidação das estruturas moleculares complexas de constituintes naturais tem contribuído para obtenção de novos bioativos de origem vegetal.

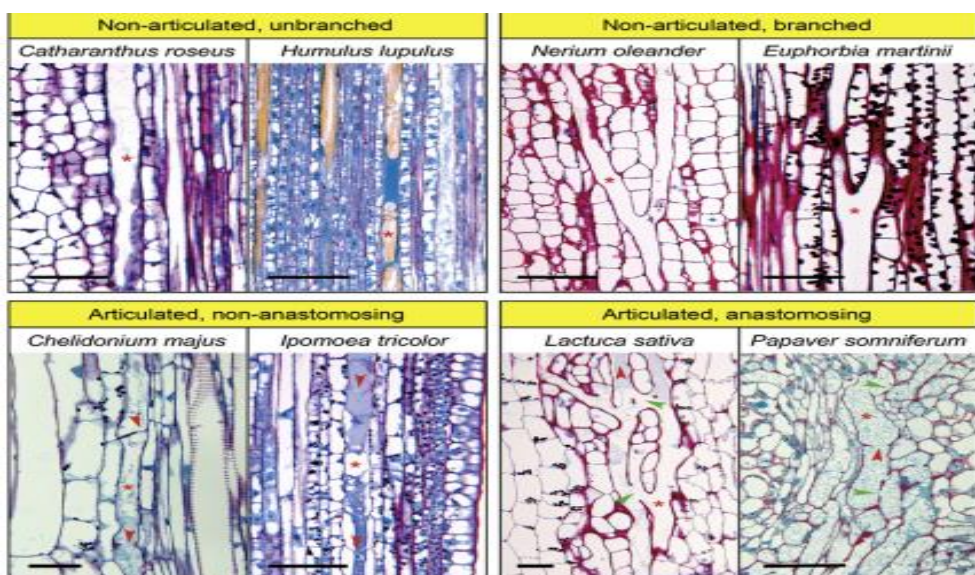
2. Revisão de Literatura

2.1 Plantas laticíferas

O látex é uma complexa emulsão composta por proteínas, alcalóides, açúcares, amido, óleos, taninos, resina e borracha, que muitas vezes acaba por coagular quando exposto ao ar (HAGEL et al., 2008). Estão presentes nos vasos laticíferos que são células secretórias alongadas do sistema laticífero (MAHLBERG, 1993; METCALFE, 1967). Estas células podem ser classificadas, de acordo com seus padrões de desenvolvimento e características morfológicas, como células únicas não-articulados ou uma série de células articuladas (Figura 1), contendo um leite branco, amarelo ou alaranjado, denominado de látex (PICKARD, 2008; MAHLBERG, 1993; HAGEL et al., 2008). Estudos fisiológicos mostraram que o látex está associado a metabólitos vitais na defesa das plantas contra insetos (KEKWICK, 2001).

A elucidação dos componentes ativos presentes nas plantas, bem como seus mecanismos de ação, apresenta-se como um dos maiores desafios para a química farmacêutica, bioquímica e farmacologia (GEBHARDT, 2000).

Figura 1. Anatomia de células laticíferas em oito espécies de plantas.

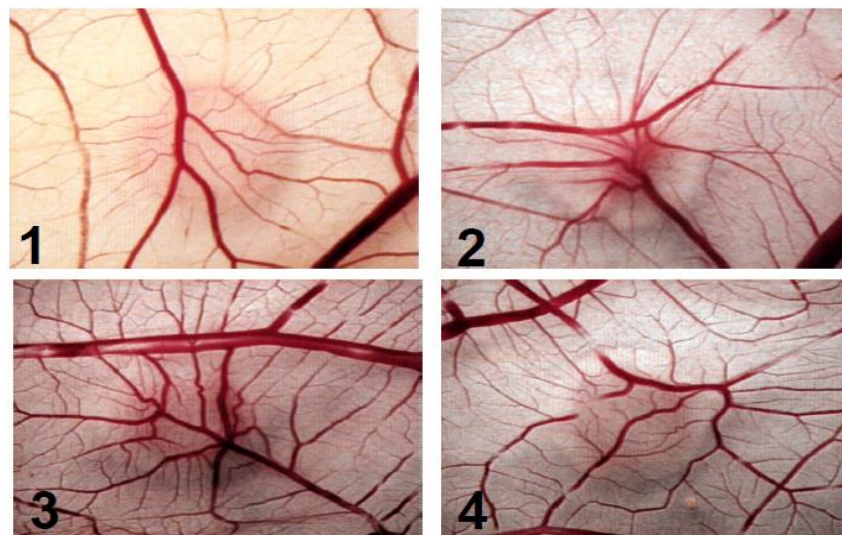


FONTE: HAGEL et al., 2008.

As plantas que mais produzem látex pertencem às famílias Euphorbiaceae e Apocynaceae (LYNN; CLEVETTE-RADFORD, 1987). A seringueira, *Hevea brasiliensis* (Euphorbiaceae), nativa da Região Amazônica, é a planta laticífera mais conhecida.

Mendonça et al. (2010), utilizaram uma fração sérica (FrHB1 0,3 mg; 1,5 mg de proteína) do soro do látex de *Hevea brasiliensis* em ensaios com membrana corioalantóica (MCA) de embrião de pinto (*Gallus gallus domesticus*) que mostrou ter efeito angiogênico e foi eficaz no aumento da permeabilidade vascular. Em outro teste com úlceras dérmicas, a fração do soro quando injetada acelerou significativamente a cicatrização das feridas, então foi sugerido que o látex natural de *H. brasiliensis* possui atividades de cicatrização de feridas e atividade angiogênica pela formação de novos vasos a partir de vasos preexistentes segundo (FOLKMAN; SHING, 1992; RAMJIAWAN et al., 2017) (Figura 2). Em outro experimento utilizou se uma fração proteica do soro do látex *H. brasiliensis* (FrHB) na confecção de uma biomembrana que foi usada como parte no tratamento para cicatrização de feridas no pé em pacientes diabéticos (ANDRADE et al., 2012), onde é citado amplamente na literatura devido os seus efeitos de cicatrização.

Figura 2. Atividade angiogênica na MCA. 1: Controle Negativo (água destilada); 2: FrHB1 (0,3 mg de proteína); 3: FrHB 2 (1,5 mg de proteína); 4: FrHB 3 (1,5 mg de proteína). Em cada ensaio, 3,0 µL de uma solução (2,5 mg/mL) foram aplicados, utilizando-se de discos de papel de filtro (0,5 cm de diâmetro) como suporte.



FONTE: Mendonça et al., (2010).

As pesquisas com o látex da planta *Hevea brasiliensis* (seringueira), iniciadas pelo Professor Dr. Joaquim Coutinho Netto em 1993, já demonstravam inúmeras aplicabilidades na área médica, por sua ação indutora de angiogênese, semelhante ao fator de crescimento vascular endotelial, amplamente comprovada em animais de laboratório em 1997 (PELENOVA BIOTECNOLOGIA, 2017).

A empresa Pelenova Biotecnologia utiliza uma fração denominada proteína bioativa F1 do soro do látex da *H. brasiliensis* na regeneração tecidual, na formulação de cosméticos com propriedade anti-envelhecimento, géis (Figura 3), cremes, loções, na confecção de uma biomembrana (Biocure®) e REGEDERM® que possui atividade angiogênica e aceleradora do processo cicatricial e é indicado para o tratamento e cicatrização de feridas crônicas de diversas etiologias (Figura 4).

As feridas crônicas são as de origem venosa (por insuficiência de circulação das veias), as úlceras de pressão (feridas na região dorso-lateral dos quadris, lombo-sacral, dos glúteos e calcanhares) e as úlceras do pé diabético. Constituem-se em problema sério de saúde pública mesmo nos países desenvolvidos e acompanham-se com freqüência de número importante de doenças e complicações (PELENOVA BIOTECNOLOGIA, 2017).

Figura 3. Esquema simplificado da matéria prima para a produção de gel cicatrizante.



FONTE: Pelenova biotecnologia, 2017.

Figura 4. REGEDERM® produto que possui atividade angiogênica e aceleradora do processo cicatricial, indicado para o tratamento e cicatrização de úlceras cutâneas de diversas etiologias.



FONTE: Pelenova Biotecnologia, 2017.

No látex de *Synadenium grantii* há uma grande quantidade de proteases, enzimas hidrolíticas que desempenham importante função na fisiologia das plantas e apresentam diversas ações farmacológicas, interferindo na hemostasia. Também foi relatado nesta espécie o isolamento e caracterização de uma protease (glicoproteína) que possui atividade fibrinolítica, com massa molecular de 34 KDa (RAJESH et al., 2006). Freitas et al., (2011) identificaram uma cisteína proteinase denominada osmotin presente no látex de *Calotropis procera*, possivelmente envolvida com o mecanismo de defesa da planta, contra fitopatógenos.

Em outro estudo as frações extraídas do látex seco de *Calotropis procera*, tanto a fração aquosa (AqDL) como a de extrato metanolico (MeDL) possuem propriedade anti-inflamatória e foram caracterizadas pelas suas propriedades bioquímicas, comparadas com a sua eficácia na

melhoria da febre em ratos e o seu mecanismo de ação foi elucidado. A administração oral das frações AqDL e MeDL produziu uma redução na temperatura corporal em ratos onde a febre foi induzida por levedura e o seu efeito foi comparável ao do medicamento padrão paracetamol. Estudos mostraram que tanto uma fração quanto a outra, são eficazes como potencial terapêutico no tratamento de várias condições febris (KUMAR et al., 2017; 1994).

Também foram isoladas do látex de algumas plantas proteínas com possível atividade cicatrizante entre os quias podemos destacar: proteinases no látex de *Carica candamasensis* utilizado em traumas dermatológicos e em aplicações clínicas (LEMOS et al., 2011; MELO et al., 2008); uma heme-peroxidase com propriedades anti-inflamatória e cicatrizante, identificada em *Artocarpus lakoocha*, que faz dela uma candidata com potencial em aplicações na indústria e biotecnologia (SONKAR et al., 2015), uma glicoproteína do látex de *Calotropis gigantea* com atividade fibrinogênica e de coagulação. Segundo Rajesh et al., (2005) o extrato de látex bruto contém muitas proteínas de natureza altamente básica e exibem uma forte atividade proteolítica. O látex de várias espécies de plantas tem demonstrado estar envolvido na homeostase (BOLAY, 1979; GUNTER et al., 2002), cicatrização de feridas e analgésica (THANKAMMA, 2003; DEWAN et al., 2000). *Jatropha curcas* Linn. (Euphorbiaceae), uma planta medicinal comumente cultivada nos trópicos, é tradicionalmente usada como hemostática (OSONIYI; FUNMI ONAJOBI, 2003).

A protease colagenolítica, extraída do látex de figo (*Ficus carica* var. Brown Turkey), é uma enzima com potencial para uso em várias aplicações bioquímicas, biotecnológicas e medicinais. Tem sido utilizada para o isolamento e cultivo de células de mamífero em cultura, tratamento de queimaduras, úlceras, feridas, elimina o tecido da cicatriz, também desempenha um papel importante no transplante de órgãos específicos, no tratamento da doença de Peyronie e vários tipos de fibrose destrutiva, tais como cirrose no fígado (RASKOVIK et al., 2014).

Ainda, segundo Alam et al., (2011), o látex extraído de diferentes espécies como de *Datura stramonium* L. (Solanaceae), *Euphorbia antiquorum* L. (Euphorbiaceae), *Euphorbia pilosa* (Euphorbiaceae), *Pelilanthus tithmaloids* (Euphorbiaceae), *Achyranthes aspera* L. (Amaranthaceae), *Alstonia scholaris* R.Br. (Apocynaceae), *Calotropis procera* Br (Asclepidaceae) apresenta propriedades curativas em feridas e queimaduras. O látex de *Ficus carica* é uma fonte rica de agentes antioxidantes naturais com características estabelecidas de atividade anti-carcinogênica que podem ser usadas em e Indústrias biofarmacêuticas (HASHEM et al., 2017). Em *Asclepias curassica* L., *Calotropis gigantea* R. Br., *Pergularia*

extensa R. Br. e *Cynanchum puciflorum* R. Br. que pertencem à família Asclepiadaceae foi identificada uma cisteína protease que exibe ação de trombina e plasmina validando o uso popular do látex dessas plantas para estancar sangramento e cicatrizar feridas (SHIVAPRASAD et al., 2009). *Euphorbia* cf. possui uma cisteína protease (EuP-82) com potencial para o uso no tratamento medicinal para trombose, essa enzima tem atividade fibrinogênica (SIRITAPETAWEE et al., 2015; SIRITAPETAWEE et al., 2015; SIRITAPETAWEE et al., 2017).

No látex da planta *Tabernaemontana divaricata* (L.) R. Br. foi identificada uma protease com potencial hemostático para uso tópico no tratamento de feridas (SINGH et al., 2015), enquanto no látex de Opium poppy (*Papaver somniferum*), o interesse medicinal baseia-se na síntese de compostos de interesse farmacêutico, referidos como alcalóides, com propriedades analgésica (morfina), antitussígeno (codeína) e relaxantes musculares (papaverina) (DECKER et al., 2000).

As proteínas solúveis presentes no látex de *Calotropis procera* (Apocynaceae), muito utilizado na medicina popular em infecções dermatológicas foram utilizadas para produção de uma membrana à base de álcool polivinílico quando testada em feridas induzidas na região dorsal de ratos observou-se que as proteínas do látex de *C. procera* atuaram significativamente no processo de cicatrização, comprovando a eficiência da membrana (FIGUEREDO et al., 2012). Segundo Singh et al., (2015), proteases do látex *Tabernaemontana divaricata* (L.) e *Artocarpus altilis* também possuem potencial hemostático.

2.2 Proteínas identificadas em diferentes espécies de plantas

Nos bancos de dados, verificou-se que entre as proteínas provenientes de látex estão incluídas 186 proteínas de *H. brasiliensis* (com 172 proteínas funcionalmente anotadas), como a ‘REF, putative’ (gi|223548388), ‘SRPP’ (gi|37622210) e ‘Cyclophilin A’ (gi|167599641) (DAI et al., 2013). Em *Papaver somniferum* foram identificadas 75 proteínas, com 23 caracterizadas, como as proteínas ‘polyphenol oxidase’ (*Malus domestica*), ‘glutamine synthetase’ (*Glycine max*) e ‘malate-dehydrogenase’ (*Zea mays*) (DECKER et al., 2000). Em outras espécies, foram identificadas, 587 e 302 proteínas em *Lactuca sativa* (CHO et al., 2009; CHO et al., 2010), 21 e 334 em *Chelidonium majus* (NAWROT et al., 2007; NAWROT et al.,

2016; 2017), 33 proteínas em *Thevetia peruviana* (FREITAS et al., 2016) e 161 proteínas em *Euphorbia tirucalli* (KITAJIMA et al, 2016).

No látex de *Carica papaya* L. (mamão) foram identificadas 160 proteínas (RODRIGUES et al., 2012), das quais algumas também foram identificadas no látex de *H. sucuuba*, como por exemplo, as proteínas ‘UDP-glucose pyrophosphorylase’ e ‘UBQ8, protein binding’ encontradas no mamão e as proteínas ‘UDP-glycosyltransferase’ e ‘Ubiquitin-like protein 1, partial’. Na tabela 1 estão apresentadas as proteínas identificadas em plantas laticíferas.

Tabela 1. Proteínas de látex identificadas em diferentes plantas por Espectrometria de massas.

Plantas (espécie)	Nº Proteínas	Técnicas de identificação de proteínas	Referências
<i>Thevetia peruviana</i>	33	2D-MS/MS	Freitas et al., 2016
<i>Euphorbia tirucalli</i>	161	LC/Orbitrap MS	Kitajima et al., 2016
<i>Carica papaya</i> L.	160	1D – LC/MS	Rodrigues et al., 2012
<i>Lactuca sativa</i>	587	LC-MS/MS	Cho et al., 2009
<i>Lactuca sativa</i>	302	LC-MS/MS	Cho et al., 2010
<i>Papaver somniferum</i>	75	2D-MALDI-MS	Decker et al, 2000
<i>Chelidonium majus</i>	334	1D-LC/MS	Nawrot et al., 2016
<i>Chelidonium majus</i>	21	2D-LC/MS	Nawrot et al., 2007
<i>Hevea brasiliensis</i>	186	1D-LC/MS	Dai et al., 2013

2.3 Espécie *Himatanthus sucuuba*

O gênero *Himatanthus*, da família Apocynaceae, é composto por 14 espécies (PLUMEL, 1991), dentre elas, *H. sucuuba* (Spruce) Woodson, popularmente conhecida como sucuuba, janaguba ou sucuba, é uma árvore de grande porte e nativa da região Amazônica, que fornece madeira para a construção civil (CÔRREA, 1984). É uma espécie latescente, de tronco ereto e casca rugosa, detalhes da arvore estão apresentados na Figura 5.

Figura 5. Árvore *Himatanthus sucuuba*. No detalhe o tronco e casca rugosa da planta.



FONTE: Autor, 2017.

Possui folhas glabras, coriáceas e de margens inteiras. As inflorescências estão dispostas em cimeiras terminais com poucas flores, de cor branca (Figura 6 D) e os frutos apresentam forma de duplo folículo contendo sementes aladas (Figura 6 A e B). As folhas de *H. sucuuba* são simples e alternas, curtamente pecioladas, com aproximadamente 20 cm de comprimento e 7 cm de largura (Figura 6 C). São simétricas, de forma obovado-lanceolada, com ápice agudo a acuminado. A face adaxial apresenta coloração verde escura, enquanto a abaxial é verde amarelada (LARROSA; DUARTE, 2005).

Figura 6. Partes da planta *H. sucuuba* (A fruto - B; semente- C; folha e flor - D).



FONTE: Autor, 2017.

O caule, nas proximidades do ápice, em estrutura secundária incipiente, apresenta a epiderme como sistema de revestimento. Esta é composta por uma única camada de células, revestida por uma cutícula espessada e estriada. Os laticíferos são ramificados, comparativamente maiores do que as células que os ladeiam e possuem citoplasma denso (LARROSA; DUARTE, 2005).

As características anatômicas de ocorrência universal na família são floema interno e laticíferos, encontrados no córtex, no floema e no parênquima medular em *H. sucuuba*. Considerados estruturas especializadas, os laticíferos produzem látex, que é uma suspensão ou emulsão de pequenas partículas. Consistem de uma única célula longa ou de uma série de células (FAHN, 1990), sua parede celular pode ser irregularmente espessada, em razão da plasticidade da mesma (MAHLBERG, 1993). Apresenta-se inteiramente primária, contendo celulose, grande quantidade de substâncias pecticas e hemicelulose (MURUGAN; INAMDAR, 1987; FAHN, 1990).

A importância do gênero *Himatanthus* na medicina popular é considerável, visto que existem relatos de uso em diferentes comunidades locais no Brasil, algumas preparações a partir da casca e do látex para diversos tratamentos são comercializadas (FERREIRA et al., 2009).

O látex dessa planta apresenta alguns compostos, como iridóides (plumieride, isoplumieride) (BARRETO et al., 2007), terpenos (acetato de lupeol, α -amirina) (de MIRANDA et al., 2000), miscelaneous (cis-poliisoprene, arabinose, glicose, xilose) (SILVA et al., 2003) e compostos fenólicos (catecol, quercitrin) que apresentam propriedades biológicas interessantes como anti-inflamatória, anti-tumoral e analgésica (de MIRANDA et al., 2000). Segundo Suffredidi e Daly (2004), o látex tem sido utilizado para tratamentos de tumores, ulcerações, asma e tuberculose.

Este gênero é amplamente utilizado em distintos tratamentos fitoterapêuticos nos países da América do Sul (SUFFREDINI; DALY, 2004), como por exemplo, as folhas são utilizadas como antifúngico, antianêmico, vermífugo e no tratamento de gastrites e artrites (FERNANDES et al., 2000; DI STASI; HIRUMA-LIMA, 2002). A infusão feita a partir da casca do caule também tem sido usada para tratamento de furúnculos, edemas, artrites e ainda como vermífugo e laxativo (FERNANDES et al., 2000), efeito cicatrizante (VILLEGAS et al., 1997) e uma baixa toxicidade reprodutiva e teratogênica em raízes indicando que seu consumo é seguro na espécie humana no tratamento de gastrites e hemorroidas (GUERRA; PETERS, 1991).

Nos látex, de modo geral, são encontrados também terpenos, carboidratos, lipídios, aminoácidos e proteínas (MORCELLE et al., 2004). Recentemente muitas proteínas têm sido identificadas em diferentes espécies vegetais, e diferentes partes da planta como folhas, caules, raízes e frutos.

2.4 Espectrometria de massas de proteínas

As proteínas são moléculas com as mais distintas funções celulares, sendo capazes de orquestrar expressão de genes, catalisar reações metabólicas, além de compor a parte estrutural da célula (ARN, 2014). Proteoma designa o conjunto de proteínas que estão sendo expressas por uma célula, tecido ou organismo em um determinado momento. De forma distinta, a análise proteômica consiste no estudo do proteoma utilizando técnicas de separação e identificação, tais como eletroforese, cromatografia, espectrometria de massas e bioinformática (HEIN et al., 2013).

A análise proteômica apresenta maior número de variáveis em relação a análise genômica e do transcriptoma devido à grande diversidade química das proteínas e interconectividade destas em complexos e redes de sinalização, as quais podem variar muito de acordo com o tempo e espaço (ALTELAAR; MUÑOZ; HECK, 2013). O estudo das proteínas requer ferramentas analíticas com alta seletividade, resolução e sensibilidade (POMASTOWSKI; BUSZEWSKI, 2014).

A espectrometria de massas é uma técnica que data do início do século passado (THOMPSON, 1913) e se baseia na formação de íons na fase gasosa (carregados positivamente ou negativamente) que podem ser detectados baseado na sua razão massa/carga (m/z).

A habilidade da espectrometria de massas em analisar proteínas e extratos biológicos advém dos grandes avanços obtidos com o desenvolvimento das técnicas de ionização suave, como a técnica de ionização electrospray (ESI-MS) e a ionização/dessorção a laser assistida por matriz (MALDI), que são técnicas capazes de transformar macromoléculas em íons (TANAKA et al., 1988; FENN et al., 1989).

A técnica de ionização por electrospray foi desenvolvida para o uso em sistemas biológicos por Fenn (FENN et al., 1989). As amostras são dissolvidas em um tampão ou solvente que são bombeadas a um fluxo de microlitros por minuto através de uma agulha hipodérmica que está em uma alta voltagem para dispersar eletrostaticamente, ou electrospray,

gotas de tamanho micrométricos, que são rapidamente evaporadas e transmitem a sua carga para o analito. Duas teorias tentam explicar este fenômeno: “Charged-residue model” e “Ion evaporation model” (GASKELL, 1997). Este processo de ionização ocorre em condições ambientes e, portanto, é muito suave, ou seja, não ocorre a fragmentação dos íons do analito na fase gasosa (MANN; HENDRICKSON; PANDEY, 2001).

3. JUSTIFICATIVA

A busca por novos ativos isolados de plantas medicinais é constante, principalmente em plantas já utilizadas como medicamento pela população. A exemplo do que acontece com outras plantas laticíferas, como *Hevea brasiliensis* e *Calotropis procera*, cujo látex tem sido utilizado na produção de biomembranas e no tratamento de afecções da pele, a identificação das proteínas presentes no soro do látex de *H. sucuuba* pode fornecer informações importantes e possibilitar o desenvolvimento de novos fármacos.

4. HIPÓTESE

Tendo em vista a ampla utilização do látex de *Himatanthus sucuuba* pela população para o tratamento de várias doenças, nossa hipótese é que exista no látex de *H. sucuuba* proteínas com atividade farmacológica.

5. OBJETIVOS

5.1 Objetivo geral

O principal objetivo do presente trabalho foi a identificação de proteínas solúveis presentes no látex da *H. sucuuba* através das técnicas de cromatografia de troca iônica, eletroforese unidimensional, bidimensional e espectrometria de massas.

5.2 Objetivos específicos

- Obtenção do látex de *H. sucuuba*;
- Obter o soro do látex de *H. sucuuba*;
- Extrair proteínas solúveis presentes no soro do látex e identifica-las através das técnicas de cromatografia de troca iônica, eletroforese bidimensional e unidimensional;
- Identificação das proteínas por espectrometria de massas;
- Análise das sequências de aminoácidos por comparação em banco de dados de proteínas para a identificação;
- Identificação das vias metabólicas e enzimas atuantes.

6. MATERIAL E MÉTODOS

6.1 A coleta de material biológico

O látex foi extraído de árvores nativas de *H. sucuuba*, localizadas no município de Mazagão Velho, Amapá, Brasil. A exsicata de *H. sucuuba* (Marciano 001 HAMAB 018780), encontra-se depositada no Instituto de Pesquisas Científicas e Tecnológicas do Amapá (IEPA). A coleta foi realizada no período da manhã, através da técnica do gotejamento. Mediante o corte do caule da planta, foram coletados 420 ml de látex que, após a coleta, foi passado por uma peneira de malha fina para retirar qualquer resíduo de casca que pudesse interferir na qualidade do látex. Em seguida, o látex foi armazenado em tubos de polipropileno à 4°C para posterior utilização.

6.2 Fracionamentos e diálise

O látex foi diluído com água destilada (1/1), e centrifugado a 38.900 x g por 1 hora à 10 °C (Himac CR22G/High-Speed Refrigerated Centrifuge), para separação do soro (fase superior). Após a centrifugação, o sobrenadante foi colocado em membrana de diálise de 25 mm, com capacidade para retenção de moléculas de massa molecular superior a 12.000 KDa (Sigma, MWCO 12.000 Da). A seguir foi dialisado em água, por 72 horas, em câmara fria a 8°C, com trocas de água a cada 6 horas. Após a diálise, as amostras foram novamente centrifugadas e o sobrenadante liofilizado e guardado para posterior uso. A fração líquida (soro do látex) obtida após a centrifugação, foi alvo de todas as análises realizadas nesse trabalho.

6.3 Extração das proteínas do látex

Para a extração das proteínas solúveis presentes no látex de *H. sucuuba* foram avaliadas três metodologias: 1 - método de precipitação de proteínas com sulfato de amônio modificado por Rajesh (2005); 2 - método de extração de proteínas por ácido tricloroacético/acetona proposto por Li Dejun et al., (2009) e 3 - ácido acético como proposto por Posch et al., (1997), descritas a seguir.

A- Precipitação de proteínas com sulfato de amônio

Uma alíquota de 190 ml do soro foi submetida a precipitação com sulfato de amônio 80%. Ao soro foi adicionado o mesmo volume (1/1) de 10mM tampão fosfato pH 7,0 (1M NaH₂PHO₄/1M Na₂HPHO₄) e mantido “overnight” a -4 °C. O sobrenadante foi decantado e centrifugado a 12000 x g por 20 minutos à 4 °C. Após a centrifugação, o sobrenadante foi submetido a precipitação das proteínas em 80% de sulfato de amônia. Centrifugado novamente a 12000 x g por 20 minutos a 4 °C e o pellet obtido foi dissolvido em 10 mM de tampão fosfato e dialisado no mesmo tampão para remoção do sulfato de amônia. Após a diálise a amostra foi liofilizada e ressuspendida em 600 µL água (4,5 ug/ul). Uma alíquota de 25 µL dessa amostra de proteínas (113,5 µg) foi diluída em 225 µL de tampão de solubilização (TS) composto por ureia 7M, tiureia 2M, CHAPS 4 % (w/v) para posterior utilização.

B- Precipitação de proteínas ácido tricloroacético/acetona

Em 35 ml de soro de látex de *H. sucuuba*, foi adicionado o mesmo volume de acetona gelada (-20 °C) contendo 20 % (v/v) TCA e 4 mmol/L de ditiotreitol (DTT). A mistura foi homogeneizada e precipitada por 12 horas à – 20 °C. Após a precipitação, foi centrifugada à 18000 x g por 30 minutos à 4 °C. O sobrenadante foi descartado e o pellet foi lavado (3 vezes), com 10 ml de acetona gelada (– 20 °C) contendo 2 mmol/L de DTT. Posteriormente foi centrifugada por 15 minutos à 4 °C e 18000 x g. O pellet foi ressuspendedo em 500 µL de água ultrapura (MilliQ). Após a quantificação, uma fração contendo 200 µg de proteína, foi solubilizada em 225µL de tampão de solubilização (TS) composto por ureia 7M, tiureia 2 M, CHAPS 4 % (v/v) e reservada para posterior utilização.

C. Precipitação de proteína do látex extraídas com ácido acético

Em 260 mL de soro do látex foram adicionados 10 % de ácido acético (v/v) e a mistura foi mantida em repouso por 30 minutos e centrifugada por 1 hora (18.000 x g) à 10 °C. Após a centrifugação o sobrenadante foi dialisado com água destilada por 72 horas e liofilizado. A amostra liofilizada foi diluída em água e as proteínas quantificadas (3,5 ug/uL). Foi utilizado o Clean-Up kit (GE Healthcare, USA) seguindo as instruções do fabricante para limpeza da proteína. Uma alíquota de 25µL dessa amostra contendo 200 µg de proteínas foi solubilizada em 225 µL de tampão de solubilização (TS) composto por ureia 7M, tiureia 2 M, CHAPS 4 % (v/v).

6.4 Quantificação das proteínas

A quantificação de proteínas totais, presentes no soro, foi realizada pelo método Lowry, modificado por Hartree, 1972. Foram utilizados 10 µL das amostras após a liofilização e solubilização. A concentração foi determinada a partir da curva padrão estabelecida, utilizando soro albumina bovina (BSA), (INLAB lote, 839250).

6.5 Eletroforese em gel de poliacrilamida

Após a quantificação, 15 µg de proteínas foram desnaturadas à 95 °C, e analisadas por eletroforese em gel de poliacrilamida 12 %, na presença de dodecil sulfato de sódio (SDS-PAGE), utilizando-se o padrão de massa molecular de 10 a 225 KDa (The Thermo Scientific Pierce Prestained Protein). O gel foi corado com Coomassie R-250 para visualização das proteínas.

6.6 Cromatografia de troca iônica

A cromatografia foi utilizada para a purificação das proteínas, presentes no soro do látex. Iniciou-se utilizando as colunas HiTrap SPXL (catiônica) e HiTrap QXL (aniônica), no equipamento AKTA Purifier (GE HEALTHCARE, Björkgatan, Suécia) seguindo as instruções do fabricante. Para tanto foram utilizados 100 µL (6 mg/mL) de amostra na coluna: HiTrap QXL (aniônica) e HiTrap SPXL (catiônica) respectivamente, ambas com fluxo de 1ml/minuto. A coluna aniônica foi equilibrada com tampão contendo 20 mM Tris-HCl, pH 8,0 e a amostra eluída com gradiente de 0-100% de tampão de eluição (20 mM Tris-HCl + 1M NaCl, pH 8,0), enquanto que para a coluna catiônica utilizou-se o tampão de equilíbrio (20 mM Na₂HPO₄·2H₂O, pH 6,8) e a amostra foi eluída com gradiente de 0-100% de tampão de eluição (20 mM Na₂HPO₄·2H₂O + 1M NaCl, pH 6,8).

6.7. Eletroforese bidimensional

Para o processo de eletroforese bidimensional, o primeiro passo foi a reidratação das fitas IPG (com pH entre 3-10 de 13 centímetros). A solução de reidratação das IPGs (Immobiline DryStrip gel) foi preparada da seguinte forma: Ureia 7 M 10,5 g, Thiureia 2 M 3,8 g, CHAPS 2 % (v/v) 0,5 g, IPG Buffer 0,5 (v/v), 1 % de Bromophenol blue, ditiotreitol (7 mg

em 2,5 mL). Em um tubo eppendorf, adicionou-se primeiro 25 µL de amostra (240 µg), 1,25 µL de IPG Buffer, 2 µL de azul de bromofenol e 225 µL de tampão de reidratação, homogeneizou-se e foi deixado por 30 minutos descansando em temperatura ambiente e centrifugado (Cenentrifuge 5424 R Eppendorf) por 1 min. O tampão de reidratação foi colocado na canaleta do IPG-box, evitando-se a formação de bolhas. Colocou-se a fita com gel em contato com a solução dentro da canaleta e deixou-se hidratando em temperatura ambiente durante 16 horas.

6.7.1 Focalização Isoelétrica (IEF)

Através do processo de focalização isoelétrica (IEF) as proteínas foram separadas de acordo com o seu ponto isoelétrico (pI) (primeira dimensão), usando o sistema Ettan IPG phor e as fitas IPGs 3 de 13 cm (GE Healthcare).

Após a hidratação, a fita foi colocada no Ettan IPGphor 3 (GE Healthcare). Foram aplicados 2 mL de óleo mineral (PlusOne DrysTtip Cover Fluid) para focalização isoelétrica realizada nas seguintes condições: 100 V por 4 horas, 500 V por 2 horas, 500 V por 2 horas, 1000 V por 2 horas, 1000 V por 2 horas, 5000 V por 2 horas, 5000 V por 2 horas, 8000 V por 2 horas, 8000 V por 2 horas até atingir 20000 V/h. Após a focalização isoelétrica, as fitas foram retiradas do aparelho Ettan IPGphor 3, lavadas em água destilada para tirar o excesso de óleo mineral, armazenadas em tubo de ensaio longo (com tampa de rosca) à -80 °C, até a sua utilização.

Imediatamente antes da segunda dimensão, a fita foi mantida em solução de equilíbrio (75 mM Tris-HCL pH 8,8 (10 mL), ureia 6 M 72,1g, glicerol (30 %) 69 ml/84,2g, duoadecil sulfato de sódio 4 g (SDS) Tracting dye (azul de bromofenol) acrescidas de ditiotreitol e 2 % (v/v) iodoacetamida. Esse procedimento acontece em duas etapas denominados primeira e segunda lavagens.

Na primeira lavagem são utilizados 10 mL da solução, acrescida de ditiotreitol 100 mg, por 15 minutos com agitação moderada. O ditiotreitol é utilizado como um agente redutor, quebrando as pontes de sulfeto das proteínas. Na segunda lavagem utiliza-se novamente 10 mL da solução de equilíbrio, acrescida de iodoacetamida (250 mg/10 mL) que é responsável pela alquilação.

6.7.2 Eletroforese bidimensional ou Segunda dimensão

As proteínas, após a focalização, foram submetidas a eletroforese vertical utilizando o sistema SE 600 Ruby (GE HealtCare) e gel bis-acrilamida de 12,5 % preparado segundo as recomendações do fabricante. Após a eletroforese, o gel foi submetido por 30 minutos a uma solução fixadora (40% v/v de etanol, 10 % de ácido acético), posteriormente, foi lavado duas vezes com água deionizada por 10 minutos e mantidos por 12 horas em solução de coloração Comassie Brilhant Blue G-250 incluir aqui a concentração do CBB. Depois de corado, o gel foi lavado 200 mL de ácido acético 1 % (v/v) até a eliminação excedente completa do corante (GE HealtCare, 2015).

6.8 Espectrometria de massas

A análise das proteínas totais por espectrometria de massas foi realizada no Laboratório de Química de Proteínas da USP.

Para a realização da espectrometria de massa foi utilizado o equipamento UPLC-nanoAcquity acoplado ao ESI-QUAD-TOF (Ultima, Waters, UK). Todos os dados gerados pelo espectrômetro de massas MS foram analisados através da ferramenta de busca MASCOT (<http://www.matrixsciene.com>) e foi utilizado como banco de dados para as buscas o NCBInr, Swiss-Prot.

Para as buscas no MASCOT (www.matrixscience.com) é necessário configurar alguns parâmetros, portanto, foram utilizados os seguintes parâmetros: i) tipo de pesquisa: MS/MS Ion; ii) enzima: tripsina; iii) modificação fixa: carbamidometilação das cisteinas; iv) modificação variável: oxidação da metionina; v) taxonomia: viridiplantae (Green plants); vi) valores de massa: monoisotopic; vii) massa de proteína: sem restrições; viii) tolerância de fragmentos de massa: ± 1.2 Da; ix) tolerância de massa de peptídeo: ± 0.6 Da; x) número de clivagem: no máximo 1; xi) tipo de instrumento: ESI-QUAD-TOF; e os valores de “ion score” considerados significantes foram os valores pré-estabelecidos pelo Mascot. A seleção das proteínas seguiu a recomendação de Yang et al. (2017) onde somente peptídeos com score igual ou superior a 20 apresentam ótima identidade, ou seja, selecionar sequências com score ≥ 20 reduz a probabilidade de identificação de falsos peptídeos. O programa MASCOT compara os dados obtidos pela espectrometria de massas com os dados de proteínas existentes em um determinado banco de dados. Para as anotações funcionais foi utilizado o software free

Blast2GO PRO Trial (v. 4.1), (CONESA et al., 2008). As sequências de proteínas identificadas pelo programa Mascot (v.2.4.1) de acordo com seu código de identificação, foram pesquisadas no UniProt (onde os arquivos com as sequências de proteínas foram salvas como .fasta) E anotadas de acordo com o Gene Ontology (GO), nos termos de *biological processes, molecular functions e cellular componentes*.

6.8.1 Eletroforese em gel de poliacrilamida 12% (SDS-PAGE)

A amostra contendo 100 µg de proteínas totais, foi submetida à eletroforese em gel de poliacrilamida 12 % contendo SDS, de acordo com Laemmli (1970). A amostra foi preparada em tampão redutor e desnaturante (12 mM Tris-HCL pH 6,8, 0,02 % (m/v) SDS, 1 % (v/v) glicerol, 20 mM de β-mercaptoetanol, DTT 0,2 M (1 %) e 0,004 % (m/v) de azul de bromofenol e foi submetida a 100 °C por 10 minutos em termociclador (PTC-100™ Programmable Thermal Controller MJ Research, Inc). A corrida eletroforética foi realizada em 20 mA por 3 horas e 30 minutos e o gel foi corado com Comassie Brilhant Blue G-250.

Após a lavagem do gel com água deionizada, foi submetido por 30 minutos a uma solução fixadora (40 % v/v de Etanol, 10 % de Ácido Acético), lavado duas vezes com água destilada deionizada por 10 minutos e mantido por 12 horas em solução de coloração (Comassie Brilhant Blue G-250). Depois de corado, o gel foi lavado com 1 % (v/v) de ácido acético até a eliminação excedente completa do corante. As bandas visualizadas no gel foram recortadas com um bisturi. Cada fragmento obtido foi colocado em tubo eppendorf (2 mL). Esses fragmentos foram lavados em água deionizada, descorados várias vezes na solução contendo 50 % v/v de acetonitrila (ACN) e 25 mM de bicarbonato de amônio (AMBIC), até a total remoção do corante (a cada lavagem adicionou-se 100 µL de solução e foi agitado por 2 horas). Posteriormente foram desidratados duas vezes em 100 % ACN por 10 min. A ACN foi removida através de pipeta e o resíduo remanescente do gel removido através da evaporação em Speed vac. SPD1010 and SPD2010 Integrated SpeedVac™ Systems (Thermo Scientific™)

6.8.1.1 Redução e alquilação

Os fragmentos do gel foram reidratados e reduzidos (esse procedimento desfaz as pontes dissulfetos, ajudando a eliminar a estrutura tridimensional dos polipeptídeos) em ditiotreitol (20 mM DTT/50 mM AMBIC) a 60 °C por 40 minutos e alquilados (com iodoacetamida 55 mM IA /50 mM AMBIC) no escuro por 30 minutos. A iodoacetamida foi removida e os fragmentos

foram lavados em 25 mM de bicarbonato de amônio (o suficiente para cobrir a banda seca). Posteriormente foram desidratados em 100 % de acetonitrila. A acetonitrila foi descartada e o resíduo remanescente no gel foi evaporado em temperatura ambiente.

6.8.1.2 Digestão das proteínas

Os fragmentos do gel foram reidratados em 15 µL de solução contendo 150 ng de tripsina em 25 mM de bicarbonato de amônio e incubados em banho seco a 37 °C por 24 horas. A ação da tripsina foi interrompida pela adição de 2 µL de ácido fórmico puro.

Os peptídeos obtidos após a tripsinização foram eluídos em 50 µL de uma solução aquosa de ácido fórmico 5 % (v/v) e metanol 60 % (v/v), centrifugados (Cenrntrifuge 5424 R Eppendorf) por 1 min. Recolheu-se dessa solução 25 µL que foram colocados em tubos cônicos para a espectrometria de massas. O sequenciamento dos peptídeos foi feito em espectrômetro de massas ESI-Q-TOF.

6.9. Identificação de metabólitos secundário presentes no látex da espécie *Himatanthus sucuuba* (Apocynaceae) por Espectrometria de massas

O látex de *H. sucuuba* foi fracionado por solvente de acordo com a sua polaridade. Utilizou se 20 ml de látex com pH 5 e diluído em 40 ml de água milli-Q (1:2) e a solução foi acidificada com ácido clorídrico até o pH 2. Em 60 ml de solução foi adicionado 100 mL de acetato de etila P.A (MERCK), agitou se algumas vezes e foi retirada a água, esse procedimento foi realizado três vezes e a cada retirada da água foram adicionados 100 ml de acetato de etila. Até ocorrer a total desidratação do látex, onde houve a separação de duas fases: fase aquosa e fase acetato (partição liquido/liquido). A fase aquosa foi liofilizada.

Para análise no espectrômetro de massas foram utilizadas quatro frações da amostra de latex: fase aquosa, acetato, soro liofilizado e soro bruto do látex de *H. sucuuba*. Nas frações aquosa e acetato foram eluídas com água e metanol e nas amostras de soro liofilizado e soro bruto foi adicionado metanol. Para à análise foi utilizado o espectrômetro de massas quadrupolo tandem Xevo™ TQ-S acoplado ao sistema UPLC ACQUITY H-Class, com ionização por electrospray e analisador quadrupolo (ESI-QUAD) para a identificação de compostos orgânicos. As análises foram realizadas no Departamento de Química da Faculdade de

Filosofia, Ciências e Letras de Ribeirão Preto – USP. Especificamente no Laboratório de Espectrometria de Massas Aplicada a Química de Produtos Naturais.

7. RESULTADOS e DISCUSSÃO

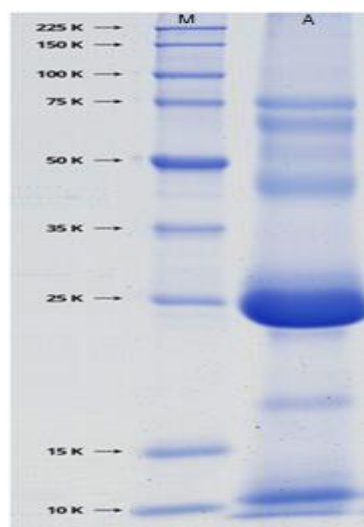
7.1 Quantificação de proteínas

A fração líquida (soro do látex) obtida após a centrifugação, foi alvo de todas as análises realizadas nesse trabalho. A concentração das proteínas solúveis presentes no soro foi de 8,4 mg/mL.

7.2 Eletroforese SDS-PAGE

Uma alíquota desta amostra de proteínas (15 µg), foi submetida a eletroforese em gel de poliacrilamida e está apresentada na Figura 7, onde se constata a presença de proteínas de diferentes pesos moleculares.

Figura 7. Perfil eletroforético de amostra do soro do látex de *H. sucuuba* (15 µg) em PAGE-SDS 12 % corado por Coomassie R-250. M: Padrão de peso molecular (Broad range Protein molecular weight markers, PROMEGA). A: amostra do soro com proteínas totais.



7.3 Cromatografia de troca iônica

Na cromatografia de troca catiônica, utilizando a coluna HiTrap SP XL, são separadas as proteínas de carga positiva. Embora tenham sido coletadas 26 amostras de 1 mL, como pode ser observado na Figura 08, não se verificou a presença de proteínas nas frações coletadas, apenas no primeiro tubo há um pico evidenciando que as proteínas não se ligaram a resina presente na coluna e portanto é possível concluir que, não há proteínas catiônicas (+) nesta amostra de soro do látex da *Himatanthus sucuuba*. Quando se utilizou a coluna HiTrap QXL, que retêm as proteínas negativas da amostra, foi possível verificar que houve a separação de

proteínas nas frações de número 08 a 14 apresentados no cromatograma da Figura 09. As proteínas do soro do látex de *H. sucuuba* são aniônicas, assim como as proteínas identificadas no soro do látex de *H. brasiliensis* (SETHURAJ, 1992).

Figura 08. Cromatograma obtido da separação das proteínas do soro do látex de *H. sucuuba*, utilizando a coluna de troca catiônica HiTrap SP XL.

Cromatografia catiônica

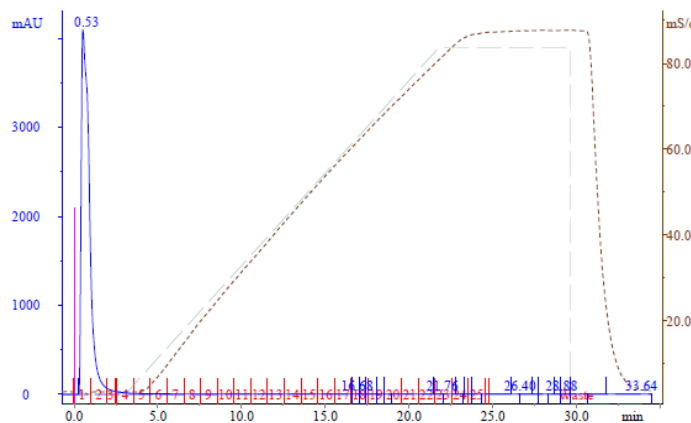
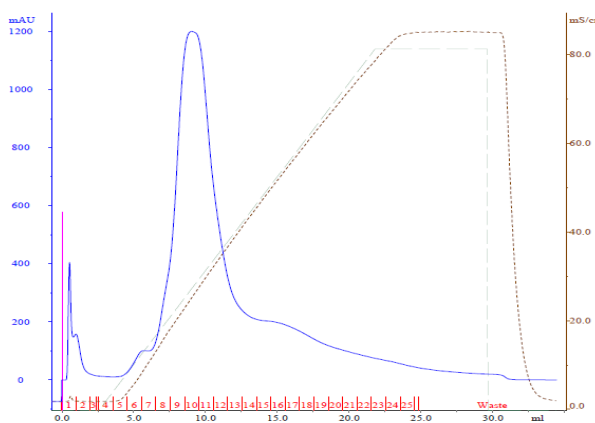


Figura 09. Cromatograma obtido da separação das proteínas do soro do látex de *H. sucuuba* utilizando a coluna de troca aniônica HiTrap QXL.



A cromatografia ocorreu em 25 minutos, sendo coletadas frações de 1ml/minuto. Em seguida, as frações dos tubos de 8 à 14 identificados na figura 10 foram dialisadas, liofilizadas e diluídas em 100 µl de água e armazenadas para os próximos procedimentos.

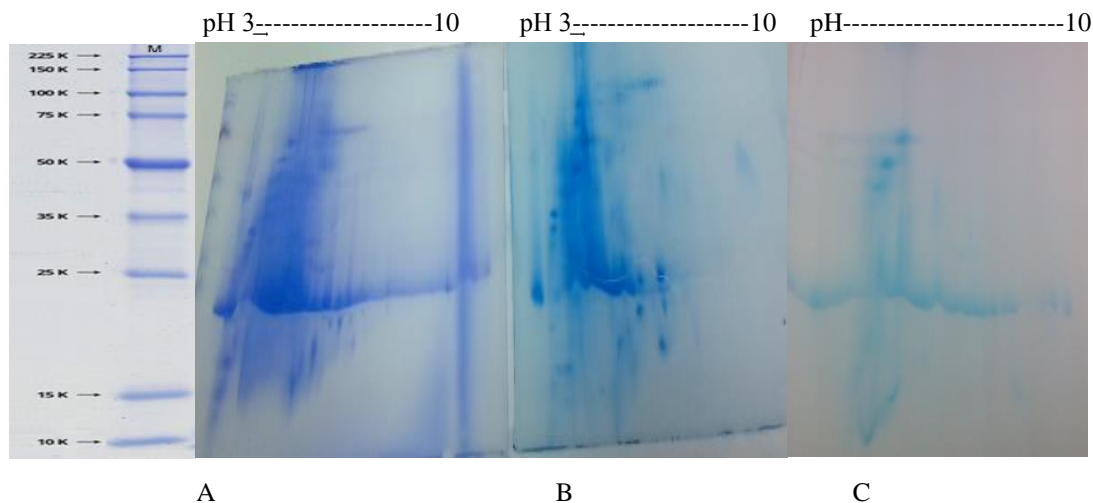
7.4 Eletroforese Bidimensional

A extração de proteínas do látex de plantas é frequentemente realizada por precipitação com Sulfato de amônio, TCA/acetona e ácido acético, porque são compatíveis com eletroforese 2-D e Espectrometria de massas. Mesmo utilizando esses métodos não se detectou a perfeita separação das proteínas nos géis de eletroforese 2D para viabilizar a análise por espectrometria de massas (Figura 10). Na figura 10A, está apresentado o gel da amostra de proteínas extraída com TCA/acetona, onde se verifica um arraste menor que o gel da figura 10B resultante do processo de extração com sulfato de amônia. Na figura 10C do gel contendo proteínas extraídas com ácido acético, o arraste é menos visível mas em compensação aparecem alguns spots. Possivelmente, por conter componentes não proteicos que interferem na focalização isoelétrica, o que inviabilizou o prosseguimento da análise por eletroforese bi-dimensional.

Dos três métodos utilizados na extração de proteínas totais do soro, o método TCA / acetona mostrou o maior rendimento protéico (14.76 mg de proteínas por ml de soro), seguido do método Sulfato de amônio (4,54 mg de proteínas por ml de soro) e método de extração de Ácido acético foi o que teve o menor rendimento (3,5 mg de proteína por ml de soro). Os rendimentos das proteínas variaram de acordo com diferentes métodos.

Segundo Duan et al. (2006), o látex é rico em compostos, tais como sal, sais minerais, lipídios, hidratos de carbono, e em particular os sistemas de membranas complexas, que podem ser co-extraídos com proteínas e interferir neste tipo de análise. Não existe nenhum método eficaz especificamente concebido para o isolamento de proteínas a partir de diferentes frações de látex de borracha. Assim optou-se pela separação de proteínas por eletroforese unidimensional (1D) e identificação por espectrometria de massas.

Figura 10. Fotos dos géis de segunda dimensão com amostras resultantes dos três métodos de extração testados. A- Extração de sulfato de amônio; B- Extração com TCA/Acetona e C - Extração com TCA/Acetona. A Focalização foi realizada em gradiente de pH 3-10. Coloração com comassie brilhante azul G250. (M: Padrão de peso molecular 10 a 225 KDa (Amersham™ ECL™ Rainbow™ Marker- Ful Rang

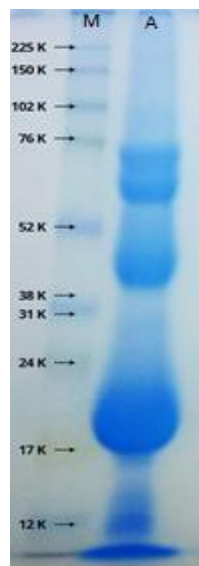


7.5 Identificação de proteínas por análise MS/MS

Em função da impossibilidade de separação e identificação das proteínas do soro utilizando eletroforese 2D, optou-se pela análise por espectrometria de massas a partir das bandas observadas na eletroforese de uma dimensão. Assim, 100 µg de proteínas foram separadas por eletroforese unidimensional em gel de acrilamida a 12 % (1D), na presença de dodecil sulfato de sódio (SDS-PAGE), Figura 11.

Após a eletroforese o gel foi corado com Comassie G250, fotografado e as bandas recortadas para serem tripsinizadas e submetidas a separação por MS/MS.

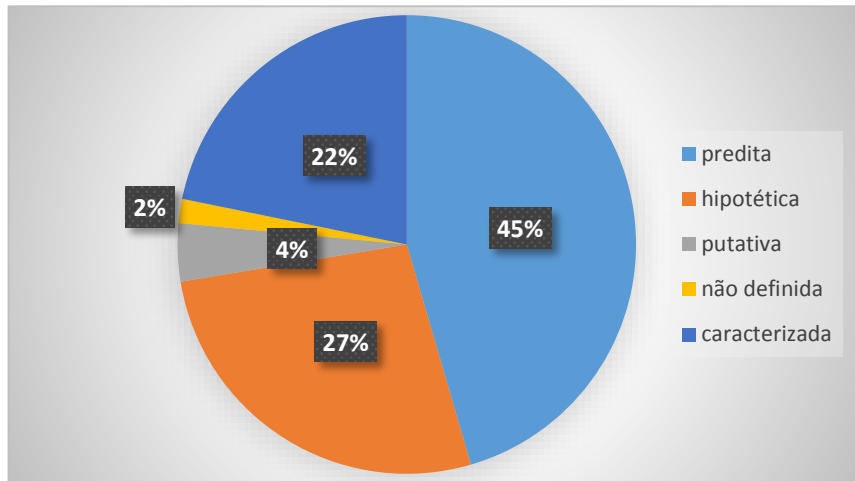
Figura 11. Perfil eletroforético em PAGE-SDS 12 % corado por Coomassie G-250, das Proteínas totais extraídas do soro do látex de *H. sucuuba*. M: Padrão de peso molecular 12 a 225 KDa (AmershamTM ECLTM RaibowTM Marker). A: amostra do soro com proteínas totais.



Os espectros de massas obtidos foram submetidos à análise pelo MASCOT um programa de análise de proteínas integrado aos bancos de dados NCBInr - National Center for Biotechnology Information non-redundant e Swiss prot. Foram caracterizados com o número de acesso (ID), massa molecular (KDa), pI, número de aminoácidos, Score da proteína (parâmetro que indica o nível de confiabilidade do resultado obtido na comparação com as proteínas dos bancos de dados - significância do sequenciamento) e percentagem de cobertura do peptídeo em relação a sequência de aminoácidos identificada. Todas as proteínas identificadas no soro de *H. sucuuba* tem similaridade com as sequências de outras plantas.

A utilização da técnica de espectrometria de massas resultou na identificação de 1471 proteínas, das quais 587 proteínas apresentaram score igual ou superior a 20. Dentre essas 587 previamente identificadas, foram encontradas 267 proteínas preditas o que equivale a 45 %, 158 hipotéticas (27 %), 128 anteriormente caracterizadas (22 %), 24 putativas (4 %) e 10 proteínas não definidas (2 %). Os dados estão apresentados na Figura 12.

Figura 12. Proteínas potencialmente identificadas no látex de *Himatanthus sucuuba*.



Com base na repetibilidade de algumas proteínas, 136 foram selecionadas entre elas, caracterizadas e outras preditas estão apresentadas na Tabela 2. Nessa tabela, estão apresentados massa molecular da proteína, o ponto isoelétrico estimado, o número de aminoácidos da proteína, o valor do score, a sequência dos peptídeos obtidos, o código de identificação (ID) NCBI, o nome da proteína e o organismo de origem desta proteína. A partir do ID de cada proteína foi possível identificar e obter a sequência FASTA das proteínas, que estão apresentadas nos anexos.

Tabela 2. Lista de peptídeos e proteínas identificadas em látex de *Himatanthus sucuuba* por ESI-QUAD-TOF. (Continua)

	Massa molecular (kDa)	Número de aminoácidos	pI	Score da proteína	Sequências de aminoácidos dos peptídeos identificados	ID	Descrição da proteína
1	59,8	534	7,68	179	K.YGLAADNVIDAR.I R.ESMGEDLFWAIR.G	gi 743891207	tetrahydrocannabinolic acid synthase-like [<i>Populus euphratica</i>]
2	60,1	535	6,54	175	K.YGLAADNVIDAR.I K.ESMGEDLFWAIR.G	gi 496405183	FAD – dependet oxidoreductase [<i>Papaver somniferum</i>]
3	47,7	418	5,65	175	K.YGLAADNVIDAR.L R.KSMGEDLFWAIR.G	gi 30315245	nectarin 5, partial [<i>Nicotiana langsdorffii</i> x <i>Nicotiana sanderae</i>]
4	60,4	535	9,17	175	K.YGLAADNVLDAR.I R.KSMGEDLFWAIR.G	gi 747046464	tetrahydrocannabinolic acid synthase-like [<i>Sesamum indicum</i>]
5	61,4	543	5,42	175	K.YGLAADNVIDAR.L R.QSMGEDLFWAIR.G	gi 848927876	cannabidiolic acid synthase-like [<i>Erythranthe guttata</i>]
6	62,5	550	8,89	173	K.YGIAADNVLDAR.V R.ESMGEDLFWAIR.G	gi 848927873	tetrahydrocannabinolic acid synthase-like [<i>Erythranthe guttata</i>]
7	59,9	534	8,07	162	K.YGLAADNVIDAR.I	gi 1009123039	tetrahydrocannabinolic acid synthase-like [<i>Ziziphus jujuba</i>]
8	60,1	536	9,28	113	R.SMGEDLFWAIR.G K.EYFPELGLVR.E	gi 1040819157	tetrahydrocannabinolic acid synthase-like [<i>Daucus carota</i> subsp. <i>sativus</i>]
9	37,0	327	9,00	111	K.FGLSADNVLDAR.V R.ESMGEDLFWAIR.G	gi 970039800	tetrahydrocannabinolic acid synthase-like [<i>Solanum pennellii</i>]
10	60,8	538	6,62	89	K.YGLAADNIVDAR.L	gi 460393282	cannabidiolic acid synthase-like [<i>Solanum lycopersicum</i>]
11	62,6	544	8,88	88	R.KSMGEDLFWALR.G	A6P6V9	Cannabidinolic acid synthase [<i>Cannabis sativa</i>]
12	62,2	545	8,77	88	R.KSMGEDLFFWAIR.G	Q33DQ2	Inactive tetrahydrocannabinolic acid synthase [<i>Cannabis sativa</i>]
13	59,1	532	9,19	80	R.TNMGEDLFWAIR.G	gi 729294682	reticuline oxidase-like protein [<i>Tarenaya hassleriana</i>]

Tabela 2. Lista de peptídeos e proteínas identificadas em látex de *Himatanthus sucuuba* por ESI-QUAD-TOF. (Continua)

14	62.0	566	6,41	79	R.ESMGEDIFWAIR.G	gi 695072053	reticuline oxidase-like [<i>Musa acuminata</i> subsp. <i>malaccensis</i>]
15	61.6	548	6,36	79	R.ESMGEDLFWALR.G	gi 1040881446	cannabidiolic acid synthase-like 1 [<i>Daucus carota</i> subsp. <i>sativus</i>]
16	61.4	542	8,13	78	R.KSMGEDLFWALR.G	gi 20563190	Carbohydrate oxidase [<i>Helianthus annuus</i>]
17	64.7	575	9,13	78	R.KSMGEDIFWAIR.G	gi 590614781	FAD-binding Berberine family protein [<i>Theobroma cacao</i>]
18	60.4	539	8,92	75	K.YGLAGDQVIDAR.L	gi 1040922945	flavin-dependent oxidoreductase FOX2-like [<i>Daucus carota</i> subsp. <i>sativus</i>]
19	39,1	352	6,2	57	K.YIAVGNEVDPVK.F	gi 565404247	glucan endo-1,3-beta-glucosidase A-like [<i>Solanum tuberosum</i>]
20	79,9	708	8,8	50	K.SVLAVLISK	gi 475663145	Hyaluronan synthase 2 [<i>Fusarium oxysporum</i> f.sp. <i>cubense race 4</i>]
21	86,5	810	6,41	46	K.EFPADVLGDGR.V	gi 320117871	Subtilisin-like protease 2 [<i>Phaseolus vulgaris</i>]
22	138,4	1.202	6,26	39	K.KVRSILSK.	gi 304325323	Rp1-like protein, partial [<i>Zea mays</i> subsp. <i>Parviglumis</i>]
23	39,7	350	5,32	37	K.YGLAAPAKFLVK.G	gi 745698892	Norcoclaurine 6-O-metyltransferase [<i>Sinopodo phylum hexandrum</i>]
24	96,5	868	6,0	36	K.SFMSILSK.K	gi 635148931	Phototropin [<i>Desmidium aptogonium</i>]
25	112,4	1037	5,98	35	K.TGTLTTNQMSVIQ.V	P54209	Cation-transporting ATPase CA1 [<i>Dunaliella bioculata</i>]
26	25,6	221	10,9	35	K.YYMDGQTILGR	gi 573951433	Serine/arginine-rich SC35-like splicing factor SCL33 [<i>Oriza brachyantha</i>]
27	133,8	1.227	5,99	35	K.QNEDLNSNLLVEIK.S	gi 15228737	Carbohydrate-binding-like-fold-containg protein [<i>Arabidopsis thaliana</i>]
28	32,5	293	5,58	34	K.AMSLRAPVSTFK.V	Q9SU86	Cytidine deaminase 6 [<i>Arabidopsis thaliana</i>]
29	54,4	520	8,34	34	K.LNLVRRCR.S	gi 560939381	Serine hydroxymethyltransferase [<i>Camellia sinensis</i>]

Tabela 2. Lista de peptídeos e proteínas identificadas em látex de *Himatanthus sucuuba* por ESI-QUAD-TOF. (Continua)

30	43,1	393	5,67	34	R.RALVELTTR.V	gi 527184620	Geranyl pyrophosphate synthase [<i>Genlisea aurea</i>]
31	128,2	1.170	5,71	33	K.LAKPDGAASVTISPR.V	gi 674863539	BnACO4g54120D [<i>Brassica napus</i>]
32	121,3	1054	6,69	33	K.EHLSVFK.V	gi 901822427	Zinc finger CCCH domain-containing protein 4 [<i>Zostera marina</i>]
33	57,6	516	6,29	33	R.EHAEVFK.	gi 1024048764	14-3-3-like protein D-like [<i>Dorceras higrometricum</i>]
34	75	669	5,53	33	K.MRYVFK.N	gi 703096601	Translation factor GUF-1like protein [<i>Morus notabilis</i>]
35	19,5	170	8,31	32	MGVYVFK.R	gi 21666506	ADP-glucose pyrophosphorylase larg subnit, partial [<i>Metroxylon sagu</i>]
36	132,7	1.189	7,0	31	R.GGEAPTGLVVDAFADKV	gi 612397112	DNA repair and recombination protein RAD26 [<i>Bathyococcus prasinus</i>]
37	85,5	791	9,39	31	R.SALMTTAWMTNDKK.K	Q9FK76	Subtilisin-like protease SBT5.6 [<i>Arabidopsis thaliana</i>]
38	74,9	671	6,5	31	K.AVIVPHSMGVLYFLHFMK.W	Q9FNA9	Phospholipid:diacylglycerol acyltransferase 1 [<i>Arabidopsis thaliana</i>]
39	30,9	288	9,81	30	R.FVSVEWMKRL	gi 145343464	MC family transporter: uncoupling protein [<i>Ostreococcus lucimarinus</i> CCE9901]
40	60,9	512	9,46	30	K.AYSTSGGLDRKR.I	gi 1043378536	Maturase K (Chloroplast) [<i>Primula sinensis</i>]
41	36,4	319	5,81	29	K.ILKQIGGGFPIVVSSIAK.E	gi 922333312	Trehalose-6-phosphate phosphatase [<i>Medicago truncatula</i>]
42	20,9	185	6,06	29	K.DAKRLLSK	gi 590566736	Pectinesterase inhibitor-like protein [<i>Theobroma cacao</i>]

Tabela 2. Lista de peptídeos e proteínas identificadas em látex de *Himatanthus sucuuba* por ESI-QUAD-TOF. (Continua)

43	44,7	408	9,57	29	K.QKLDSSSTGGDHRR.E	gi 976923108	Aspartate/ glutamate/ uridylate kinase [Cynara cardunculus var. scolymus]
44	55,7	537	9,30	29	R.VTASLVPR.Q	gi 552846846	Expressed protein [Chlorella variabilis]
45	61,3	545	7,22	28	R.VMELLICKMIK.G	gi 590576851	Alpha/beta-hydrolases superfamily protein [Theobroma cacao]
46	84,5	754	8,23	28	K.NLHLHPVLMTWGYFPESKSDFKGK	gi 922363196	Long-chain-alcohol oxidase FAO2-like protein [Medicago truncatula]
47	78,6	691	8,96	28	R.WAIVMSAGIH	gi 976899861	Proteins kinase, ATP binding-site-containing protein [Cynara cardunculus var. scolymus]
48	24,9	220	5,23	27	MAFKLYGLPMSTNTTRAMICLHEK	gi 734433024	Glutathione S-transferase F13 [Glycine soja]
49	16,7	16	3,66	27	NFPLDLAAIEAPSTNV	gi 16305027	PsbA protein, partial (chloroplast) [Artemisia rupestris]
50	47,7	401	5,88	27	K.DYYPTR	gi 1012353235	KDEL motif-containing protein 1 [Cajanus cajan]
51	106,1	944	9,28	27	K.IYYPTR.H	gi 674947203	BnaAO6g30730D [Brassica napus]
52	37,9	347	10,1	26	GMAMLLTDGEVGALIKVSAAVVVVAMSYARLA AAR	gi 413957119	Acyltransferase [Zea mays]
53	35,6	326	5,74	26	K.SSSSSAPGSLNFDLR.I	gi 735880	Gearanylgeranyl pyrophosphate synthase-related protein [Arabidopsis thaliana]
54	82,6	717	6,3	26	K.QADAWEILHR.S	gi 976910661	Alfa-N-acetylglucosaminidase [Cynara cardunculus var. scolymus]
55	54,4	490	8,88	26	R.LGVAVVEVGFPATPLLTSR	gi 760449485	Serine palmitoyltransferase 2 [Auxenochlorella protothecoides]
56	133,2	1160	5,70	26	K.SLDRLNLSGCSR.L	gi 10177584	Disease resistance protein-like [Arabidopsis thaliana]

Tabela 2. Lista de peptídeos e proteínas identificadas em látex de *Himatanthus sucuuba* por ESI-QUAD-TOF. (Continua)

	Massa molecular (kDa)	Número de aminoácidos	pI	Score da proteína	Sequências de aminoácidos dos peptídeos identificados	ID	Descrição da proteína
57	23,0	212	5,51	26	K.NLQVLHSLRLGK	gi 1035946765	26S proteasome non-ATPase regulatory subunit 9 [<i>Ananas comosus</i>]
58	37,7	399	8,16	26	R.QGMSNLVDAINK.L	gi 1024000460	Methyl-CpG-binding protein 2-like [<i>Dorcoceras hygrometricum</i>]
59	27,9	239	10,24	26	K.DRGANTYNSSDNLGYIR.G	gi 575396380	Ribosomal protein S7 (mitochondrion) [<i>Dicranum scoparium</i>]
60	69,8	627	6,64	26	R.AAEEETMMYDVNVVQR.I	gi 703110509	BTB/POZ domain containing protein NPY2 [<i>Morus nobilis</i>]
61	29,4	249	6,30	26	R.EAAQDDFFWKCLCAR.R	gi 1024041777	F-box protein [<i>Dorcoceras hygrometricum</i>]
62	27,1	27	4,65	25	FVMYER.N	gi 634575543	Psba, partial (plastid) [<i>Eugenia bacopari</i>]
63	61,5	550	9,0	25	MTRGAAAAALLALALVAVAR	gi 301030585	L-ascorbate oxidase-like protein [<i>Cynodon dactylon</i>]
66	29,4	259	7,51	25	R.SAPHDMGMPYMEKKPLTEE R.A	gi 164605537	CMO545.270.nc [<i>Lotus japonicus</i>]
67	20,9	178	9,72	25	MSNHLKNVATVGLR	gi 971517319	Mitochondrial ribosomal protein L13 precursor [<i>Klebsormidium flaccidum</i>]
68	49,9	442	9,56	25	K.STAQRPSEEDSLKR.E	gi 971519052	Peptidase M15B and M15C [<i>Klebsormidium flaccidum</i>]
69	54,4	465	8,4	25	K.SLMILSMLIHR.S	gi 357498019	Eukaryotic translation initiation factor 3C [<i>Medicago truncatula</i>]
70	46,8	446	5,6	25	R.AGVEMALIDAIANSIR.I	gi 54290836	Cis,cis-muconate cycloisomerase-like [<i>Oryza sativa Japonica Group</i>]
71	51,9	454	6,20	25	AFLTEERSAVPDLETHVGGMKSV ER.N	gi 566188069	TRNA isopentenyl transferase family protein [<i>Populus trichocarpa</i>]
72	69,1	610	8,35	24	K.EITVTITVVGASGDLAK.K	gi 901793024	Glucose-6-phosphate dehydrogenase [<i>Zostera marina</i>]

Tabela 2. Lista de peptídeos e proteínas identificadas em látex de *Himatanthus sucuuba* por ESI-QUAD-TOF. (Continua)

73	13,33	116	9,23	24	R.DCQQFRAIHR.A	gi 8347414	Itegrase/partial [<i>Oriza rhizomatis</i>]
74	76,2	660	8,90	24	R.ISMIKSMATATIATSADFDRVQVERT.K	gi 590647573	Ribonuclease H protein [<i>Theobroma cacao</i>]
75	22	205	6,0	24	K.HTILYSKYAGNDFKGSDGTYIALR	gi 590613556	Chaperonin 20-like protein [<i>Theobroma cacao</i>]
76	59,7	534	6,2	24	K.TKPTADQDEDGIGTR	gi 297837155	F23N19.7 [<i>Arabidopsis lyrata</i> subsp. <i>lyrata</i>]
77	46,2	402	5,25	24	R.GKPHLMKNIHR.	gi 480328109	Heat stress transcription factor A-4a-like protein [<i>Caragana korschinskii</i>]
78	51,7	456	8,13	23	K.GDRILMMSFGAGFK	gi 703099618	3-ketoacyl-CoA synthase 21 [<i>Morus notabilis</i>]
79	55,1	498	6,24	23	R.AGSMDNGDGIAVGWLRLHPIFXDNER.R	gi 33327957	Photosystem II CP47 protein, partial (Chloroplast) [<i>Euptelia polyandra</i>]
80	53,76	478	5,58	23	R.VGDWYEASTTNKR.K	gi 18394553	Protein maintenance of meristem [<i>Arabidopsis thaliana</i>]
81	102,2	914	6,43	23	R.QWAARMEAAGMERVGLSYSGAMEAR.K	gi 77548634	GRAS family transcription factor containing expressed [<i>Oryza sativa Japonica Group</i>]
82	32,8	293	6,18	23	K.VEDEVSADYRITGVPADGRCLFR.A	gi 1012326608	OTU domain-containing 6B [<i>Cajanus cajan</i>]
83	26,2	235	8,7	23	SPPSAGAGSRAAGVGEEQEML	gi 474429569	ABC transporter I family member 1 [<i>Cajanus cajan</i>]
84	164,6	1446	8,24	23	K.IAVVGRTGSGKSTLVQALFR	gi 922337059	Multidrug resistance protein ABC transport family protein [<i>Medicago truncatula</i>]
85	31,9	303	8,7	23	R.SRPVSDTMAALMAK	gi 413920278	Benzoxazinless1 [<i>Zea mays</i>]
86	35,4	312	9,30	23	K.TGLTDAIQTGIAKLNK	gi 987169608	Acetyl-CoA carboxylase carboxyltransferase beta subunit (chloroplast) [<i>Tetraploodon fuegianus</i>]

Tabela 2. Lista de peptídeos e proteínas identificadas em látex de *Himatanthus sucuuba* por ESI-QUAD-TOF. (Continua)

87	74,8	664	5,5	23	R.MVQLGKSLDPSRLWDAASGWIDPQDR	gi 545360397	Glycoside hydrolase [<i>Coccomyxa subelli psoidean C.169</i>]
88	74,4	678	9,7	23	R.SASPPHVTESPR	gi 971520561	Cyclic nucleotid-binding domain containing protein [<i>Klebsormidium flaccidum</i>]
89	124,2	1220	4,7	23	R.FTDCEFSSQGSLQALVTKSALIVAGDR.S	gi 926785032	Outer membrane adhesion like protein [<i>Monoraphidium neglectum</i>]
90	77,5	684	5,36	23	K.LAVVLGLINTSPGQPLQVIK.N	gi 922353943	Pentatricopeptide (PPR) repeat protein [<i>Medicago truncatula</i>]
91	52,77	476	5,51	23	R.GTTLFDLTVADLK.T	gi 545364742	Argininosuccinate lyase [<i>Coccomyxa subellipoidea C-169</i>]
92	34,7	315	8,55	22	R.GDPDPTMDPALDTKLVK	gi 357508881	Peroxidase Family protein [<i>Medicago truncatula</i>]
93	87	777	8,17	22	K.KDGLIAMIGDGINDAPALVK.K	gi 734325138	Cadmium/zinc-transferring ATPase 3 [<i>Glycine soja</i>]
94	61,7	515	9,88	22	R.ALAFPLXELHR.E	gi 294485969	Maturase K (Chloroplast) [<i>Gavilea litoralis</i>]
95	52	467	7,47	22	K.GSDWIVEMK.K	gi 545372182	NADH-ubiquinone oxidoreductase [<i>Coccomyxa subellipoidea C-169</i>]
96	91,3	833	7,54	22	K.CDSPGVDRLLGGLPDDVLGR.I	gi 475503908	Medium-chain-fatty-acid-CoA ligase [<i>Aegilops tauschii</i>]
97	41,5	388	5,2	22	R.TPVATAVLLDR.R	gi 475614932	Peroxidase 70 [<i>Aegilops tauschii</i>]
98	87,2	767	5,72	22	R.KPSMTRMLPEQAVGPPFFYFQNVAR.A	gi 475545788	DNA (cytosine -5) -methyltransferase DRMZ [<i>Aegilops tauschii</i>]
99	45,8	403	4,8	22	K.FDMSASDKIAFGEK.M	gi 145354669	TRP-containing protein [<i>Ostreococcus lucimarinus CCE9901</i>]
100	127,7	1,087	5,86	22	R.AKEDILLFFR.	gi 728848320	Ubiquitin Carboxyl-terminal hydrolase 13-like protein [<i>Gossypium arboreum</i>]
101	65,2	571	9,29	22	R.AGAFYK.I	gi 475581696	Disease resistance protein RGA2 [<i>Aegilops tauschii</i>]

Tabela 2. Lista de peptídeos e proteínas identificadas em látex de *Himatanthus sucuuba* por ESI-QUAD-TOF. (Continua)

102	73,0	643	5,91	22	K.EKAMEELLVQKL	gi 728829371	FAST kinase domain-containing 3 [<i>Gossypium arboreum</i>]
103	34,1	316	9,12	22	R.AHGERMAEMR.	gi 760440573	Nitric oxide synthase-interacting protein like protein [<i>Auxenochlorella protothecoids</i>]
104	62,3	547	8,08	22	R.RTGVLAPTSVVVKQM TLAR.	gi 357502015	Inactive poly [ADP-ribose] polymerase [<i>Medicago truncatula</i>]
105	96,4	835	7,46	22	R.GPSVLPKSLRVLK.W	gi 1012354712	TMV resistance protein N [<i>Cajanus cajan</i>]
106	58,0	531	9,07	22	K.IESNTSTNNINRPPAAK	gi 703134384	DNA polymerase delta subunit 3 [<i>Morus notabilis</i>]
107	36,6	347	9,05	22	R.SRPVSDTMAALMAKG	gi 162461896	Indole-3-glycerol phosphate lyase, chloroplastic [<i>Zea mays</i>]
108	55,3	510	5,12	22	R.DLHRLVDDLLMEAAAK	gi 187373014	UDP-glycosyltransferase UGT705A4 [<i>Avena strigosa</i>]
109	16,84	141	8,72	22	K.SLMFTHD LTSVLFNSRTPIPLPWPR.V	gi 339787214	S-RNase, partial [<i>Coffea eugeniods</i>]
110	37,75	315	8,55	22	R.GKPDPTMDPALDTKLVKL	gi 357508881	Peroxidase family protein [<i>Medicago truncatula</i>]
111	129,6	1.173	5,53	21	R.ILGFAWESGK.I	gi 15237426	LRR receptor-like serine/threonine-protein kinase FLS2 [<i>Arabidopsis thaliana</i>]
112	49,75	446	9,6	21	K.APPPVVVVMPPAR.G	gi 674944880	BnAC06g37090D [<i>Brassica napus</i>]
113	61,3	532	4,93	21	MALFSSEDDASENR.I	gi 612385172	APG AC_XENLA cysteine protease APG4C [<i>Bathy cocais prasinos</i>]
114	62,35	588	5,06	21	K.ALLQDIAIMTGSEFQAK.	gi 901822509	60 KDa chaperonin2 [<i>Zostera marina</i>]
115	31,7	272	8,71	21	K.CGLIIQGIEIRPK.	gi 15226939	F-box protein PP2-B10 [<i>Arabidopsis thaliana</i>]

Tabela 2. Lista de peptídeos e proteínas identificadas em látex de *Himatanthus sucuuba* por ESI-QUAD-TOF. (Continua)

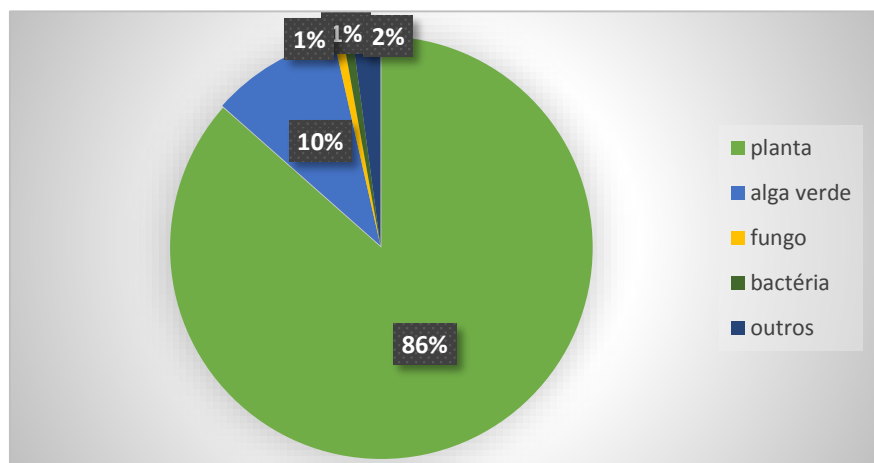
116	29,1	266	5,35	21	R.VCEASRIIGIDLNPNR.F	gi 2687444	Alcohol dehydro-genase, partial [<i>Gossypium robinsonii</i>]
117	100,4	939	4,7	21	K.IAGVNKQADKLTGGLDGIYK	gi 302837698	Ferroportin [<i>Volvox carteri</i>]
118	27,49	259	4,68	21	R.ALSATSGNVHAAVER.L	gi 304273284	ubiquitin-like protein 1, partial [<i>Glandiolus Glandiflorus</i>]
119	43,1	371	9,05	21	K.GAFFELGATVCPIAIK.Y	gi 156628062	Phospholipid/glycerol acyltransferase [<i>Helianthus annuus</i>]
120	31,6	278	6,09	21	R.REDGWMEVEVGEFLSGEGEG VVK	gi 1012363201	F-box protein PP2-B15 [<i>Cajanus cajan</i>]
121	47,8	424	9,47	21	MERIVGGSYKLGR	gi 922330299	Casein kinase I-like protein [<i>Medicago truncatula</i>]
122	158	1470	5,81	21	R.FACETATSTER.R	gi 760450235	Ferredoxin dependent glutamate synthase, chloroplast [<i>Auxenochlorella protothecoides</i>]
123	19,3	176	5,8	21	K.FMMKDFTLRLHDTK.K	gi 729258063	DNA mismatch repair family, protein, partial [<i>Salix arbutifolia</i>]
124	13,8	121	3,87	21	K.SELHIILSNFGLI.R	gi 728807591	NADH-quinone oxidoreductase subunit D [<i>Gossypium arboreum</i>]
126	45,2	410	6,1	21	R.LGANIGSXQGPTGLGK.Y	gi 365823900	Photosystem II CP43, (Chloroplast) [<i>Zostera angustifolia</i>]
127	59	500	9,52	21	K.SIFASKGTFLLINK.W	gi 909720495	Maturase K, partial, (Chloroplast) [<i>Brunonia australis</i>]
128	45,62	398	6,79	21	MRQFGPDFGGVTK.K	gi 255670779	Os02g0261400 [<i>Oriza sativa Japonica Group</i>]
129	18,71	165	9,8	21	R.KVDMLEGVSVXXPSEK.V	gi 817490197	Ribosomal protein L9, partial [<i>Sonneratia caseolaris</i>]
130	56,8	492	9,03	21	K.VFMFGNPSVIVTSPEACR.R	gi 333394171	ent-kaurenoic acid oxidase [<i>Castanea mollissima</i>]
131	57,32	490	8,39	21	R.CFTKVTGLKFLTR.L	gi 590647948	Aminopeptidase isoform 1 [<i>Theobroma cacao</i>]

Tabela 2. Lista de peptídeos e proteínas identificadas em látex de *Himatanthus sucuuba* por ESI-QUAD-TOF.

132	73,3	632	6,2	21	K.ELSKGFQWQGRIADHEK	gi 157783541	Dehydration-response family protein S51 [<i>Brassica rapa</i>]
133	56,9	515	7,04	21	K.NFTAASMKSQILR.K	gi 357443115	DUF 4283 domain protein [<i>Medicago truncatula</i>]
134	115,6	970	9,79	21	R.LRMEREEAMR.K	gi 922400551	TPX2-like protein [<i>Medicago truncatula</i>]
135	54,8	482	5,85	21	K.RIMIGDEAEEMRV	gi 1039217160	UGT73AL1 [<i>Punica granatum</i>]
136	29,1	251	4,37	20	K.QAFYR.	gi 124361102	Terpenoid synthase [<i>Medicago truncatula</i>]

Verificou-se que 86% das proteínas caracterizadas são sequências similares a proteínas encontradas em plantas (monocotiledôneas e/ou dicotiledôneas), 10% das sequências similares a proteínas identificadas em diferentes espécies de alga verde como *Auxenochlorella protothecoides* e *Dunaliella bioculata*), Figura 13.

Figura 13. Classificação das proteínas caracterizadas de acordo com o organismo identificado.



7.6 Perfil de proteínas

Das 1471 proteínas presentes no látex de *H. sucuuba*, apenas 128 proteínas estão caracterizadas, isso pode ser em função da especificidade da amostra (soro do látex) e ao número reduzido de proteínas provenientes de látex disponíveis nos bancos de dados, provavelmente pela falta de informação acerca do genoma dessa planta.

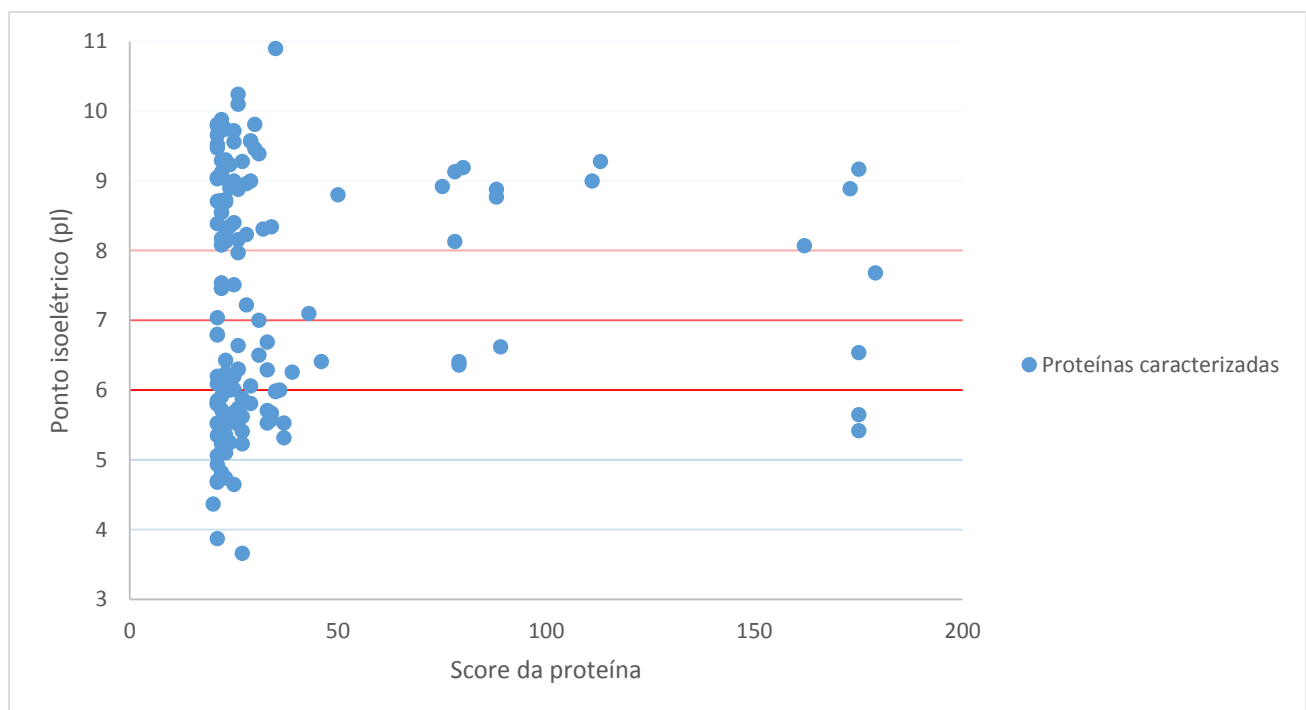
O látex em geral apresenta um conjunto de proteínas bastante diversificadas e por consequência, diferem em relação ao seu peso molecular. No látex de *H. sucuuba* as proteínas identificadas apresentaram peso molecular entre 13,8 e 164,6 KDa, similarmente em relação as proteínas encontradas em *H. brasiliensis*, que apresentou proteínas com peso molecular variando de 3,9 a 194,2 KDa (DAI et al., 2013). Em outro estudo com *H. brasiliensis*, identificou-se proteínas com peso molecular entre 12 e 44 KDa (WANG et al., 2010), diferentemente do observado para outras espécies laticíferas, com proteínas entre 20 e 100 KDa para *Thevetia peruviana* (FREITAS et al. 2016), entre 10,1 e 68,4 KDa para

Chelidonium majus (NAWROT et al., 2007), de 12,7 a 71,1 KDa para *Papaver somniferum* (DECKER et al, 2000) e de 4,7 a 367 KDa para as proteínas de *Lactuca sativa* (CHO et al., 2009).

7.7 Pontos isoelétricos

A diversidade de proteínas se reflete também em relação ao ponto isoelétrico das mesmas. Em *H. sucuuba* 32,64 % das encontradas se caracterizam como básicas ($pI > 8$), 24,82 % são neutras ($6 \geq pI \geq 8$) e 60 proteínas, o que corresponde a mais de 40% do total são caracterizadas como ácidas ($pI < 6$) como pode ser observado na Figura 14.

Figura 14. Gráfico de dispersão para a relação de Score e pI das proteínas obtidas pela espectrometria de massas e identificadas pelo programa Mascot.



Verificou-se uma quantidade superior de proteínas ácidas no látex de *H. sucuuba*, diferentemente do observado em *Lactuca sativa*, com proteínas apresentando ponto isoelétrico variando entre 5,8 e 13, sendo o número de proteínas básicas ($pI > 8$) 72 % do total (CHO et al., 2009). Já no estudo de DECKER et al. (2000), trabalhando com *Papaver somniferum*, somente 5 proteínas das 98 identificadas são básicas (com pI entre 8-9).

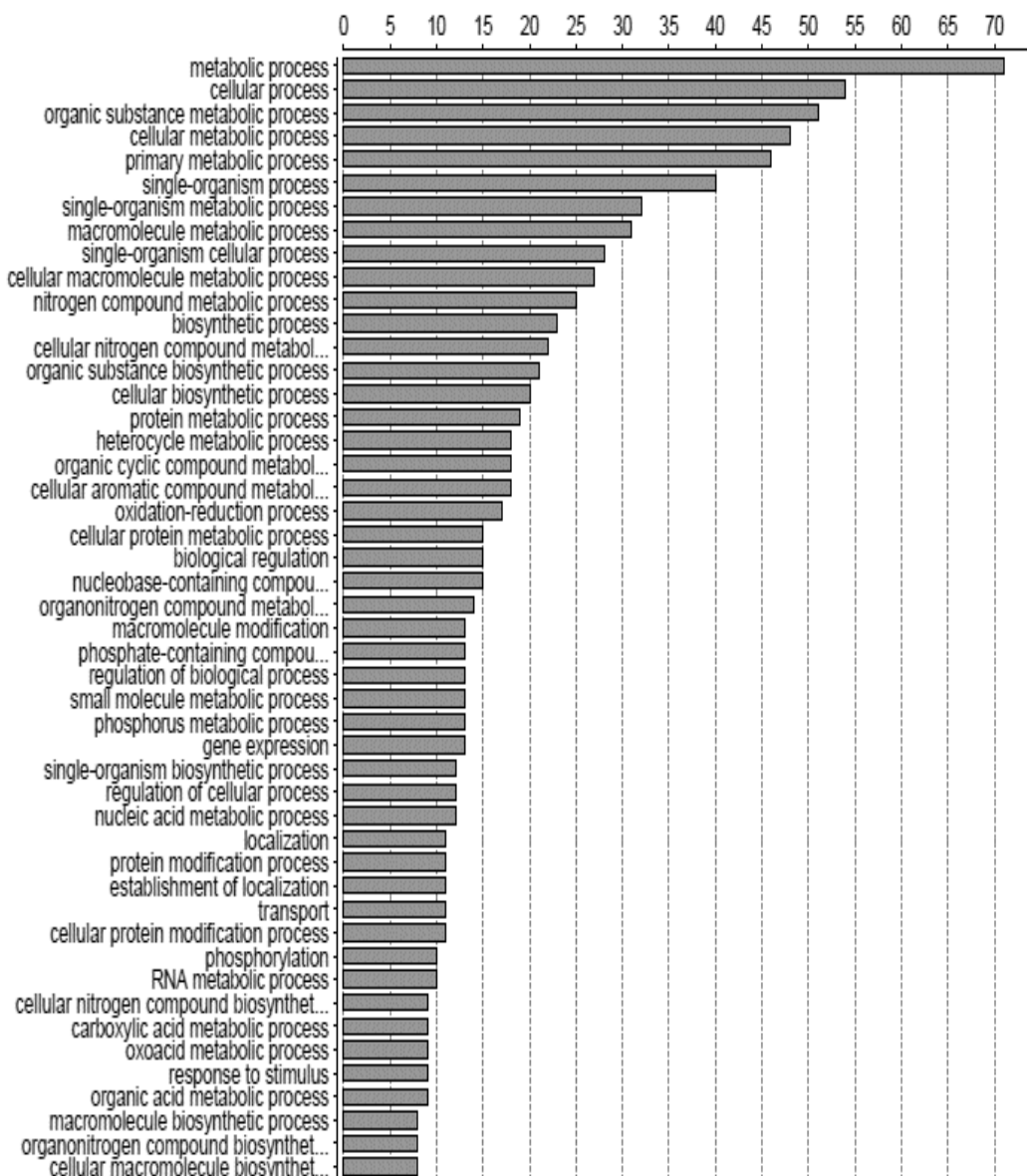
7.8 Anotação funcional das proteínas identificadas pelo programa Blast2Go.

Segundo (HOU, 2017), a anotação funcional das proteínas é vital para pesquisas biológicas, clínicas e outras aplicações devido as funções importantes que as proteínas desempenham em vários processos biológicos. Embora as funções de algumas proteínas tenham sido anotadas através de experiências biológicas, ainda há muitas proteínas cujas funções ainda não foram anotadas devido às limitações dos métodos existentes e ao alto custo.

A anotação funcional das proteínas de *H. sucuuba* foi realizada com o programa Blast2Go. A análise pelo programa Blast2Go consiste na anotação das sequências (associá-las às ontologias criadas pelo Gene Ontology Consortium). Essas ontologias visam padronizar a representação dos genes e de seus produtos para todos os sistemas biológicos, subdividindo-os nas categorias de *Biological process* (refere-se à atividade biológica que o gene ou produto contribui), *Molecular function* (atividade bioquímica do gene ou seu produto) e *Cellular component* (local na célula onde o gene ou seu produto é ativo) (dos SANTOS, 2013).

Das 136 sequências de proteínas (fasta), submetidas ao Blast2GO, 101 foram identificadas funcionalmente. As anotações funcionais das proteínas do soro de *H. sucuuba* foram realizadas da seguinte forma: 1- File load sequence; 2- Run Blast; 3- Rum Mapping; 4- Run annotation; 5-Validate Annotation; 6-Run InterProScan; 7-Merge InterProScan Gos to Annotation; 8-Run GO-Slim; 9- Run GO-EnzymeCode Mapping e 10- Load Pathway Maps from KEGG. Com relação ao processo biológico em que as proteínas contribuem, mais de 70% atuam em processos metabólicos, e mais de 50% dos produtos identificados participam de processos celulares de modo geral. Outros processos em que há contribuição por parte das proteínas identificadas em *H. sucuuba* são processos biossintéticos, de oxidorredução, regulação biológica, expressão gênica, localização e transporte, entre outros (Figura 15).

Figura 15. Anotação funcional para Processo Biológico das proteínas identificadas em *H. sucuuba*.

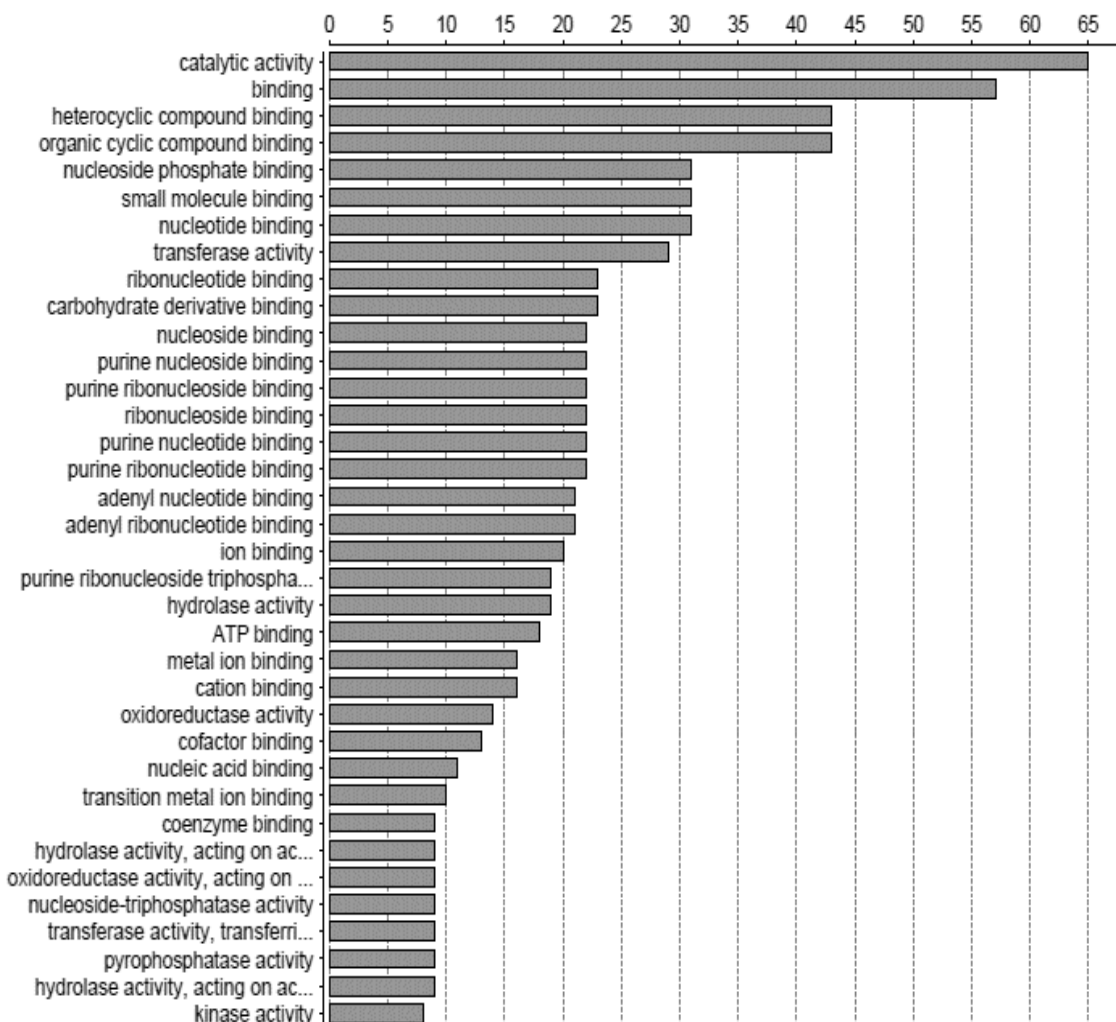


No trabalho realizado por Wahler e colaboradores (2012), no látex de *Taraxacum brevicorniculatum*, as proteínas identificadas estão associadas a funcionalidades como processos celulares básicos (31,4 %), transporte (10,4 %), processo metabólico de carboidrato (5,5 %) entre outros. Para o proteoma do látex de *Lactuca sativa*, mais da metade das proteínas identificadas estão agrupadas em cinco classes funcionais de proteínas: relacionadas ao metabolismo (20 %), resgate de células e defesa (12 %), função de ligação (binding) (10 %), transporte celular (8 %) (CHO et al., 2009). No látex de *H.*

brasiliensis, os processos relatados a partir da identificação das proteínas incluem: metabolismo de carboidrato, lipídeo, processo metabólico de oxidação-redução entre outros (HAVANAPAN et al., 2016).

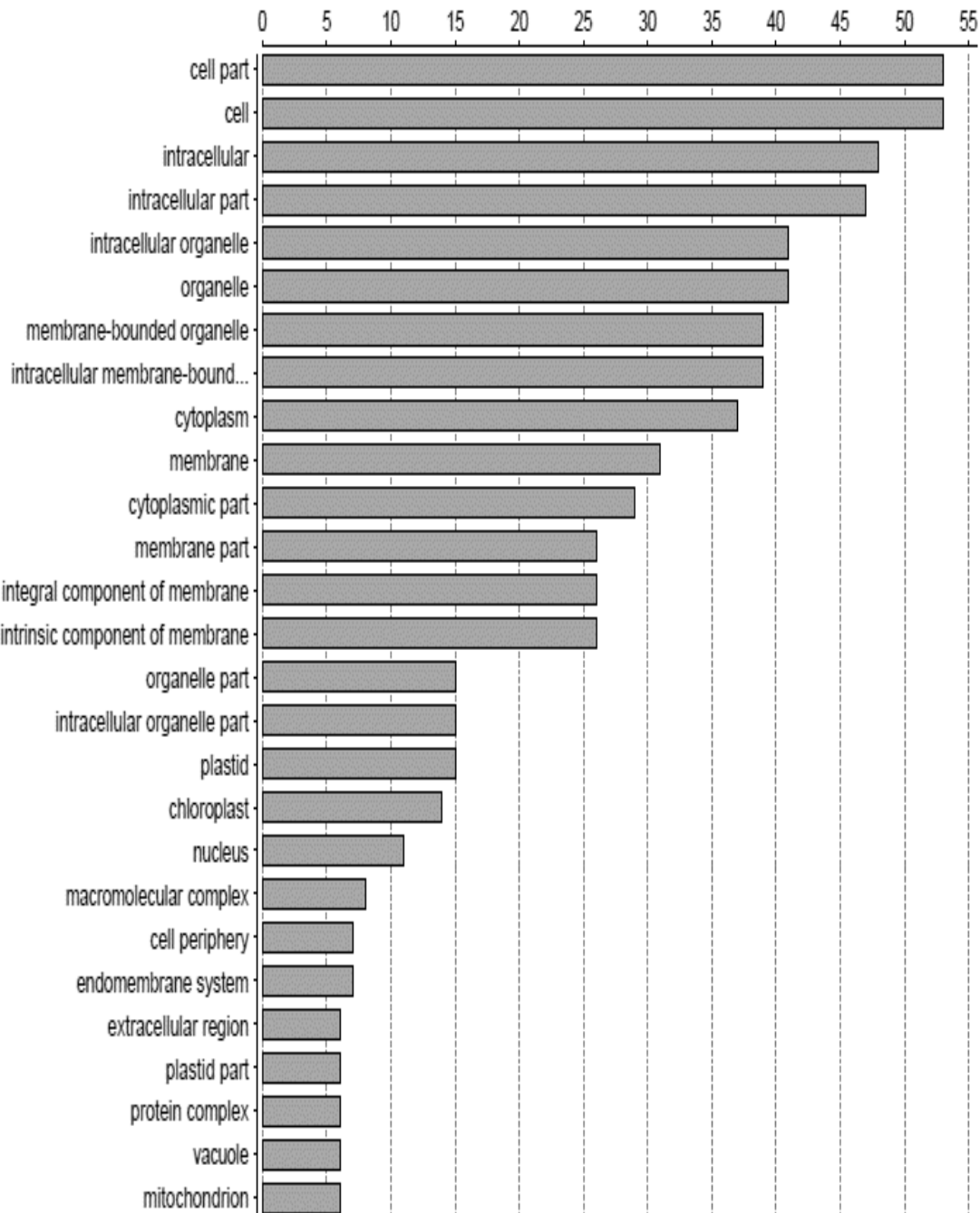
Em relação a anotação realizada para função molecular das proteínas, verificou-se que mais de 50% estão relacionadas a função de atividade catalítica e/ou ligação (binding). Outras funções identificadas são de ligação de pequenas moléculas, atividade transferase, atividade hidrolase, ligação ATP, atividade oxidoreductase, entre outras (Figura 16).

Figura 16. Anotação funcional para função molecular das proteínas identificadas em *H. sucuuba*.



Para os componentes celulares identificados, as proteínas de modo geral são ativas em parte da célula ou na célula como um todo (mais de 50 %), ou localizadas em outras regiões, sendo ativas na região intracelular, membrana, citoplasma, plastídio, cloroplasto, núcleo, vacúolo, mitocôndria, entre outras (Figura 17).

Figura 17. Anotação funcional para componente celular das proteínas identificadas em *H. sucuuba*.

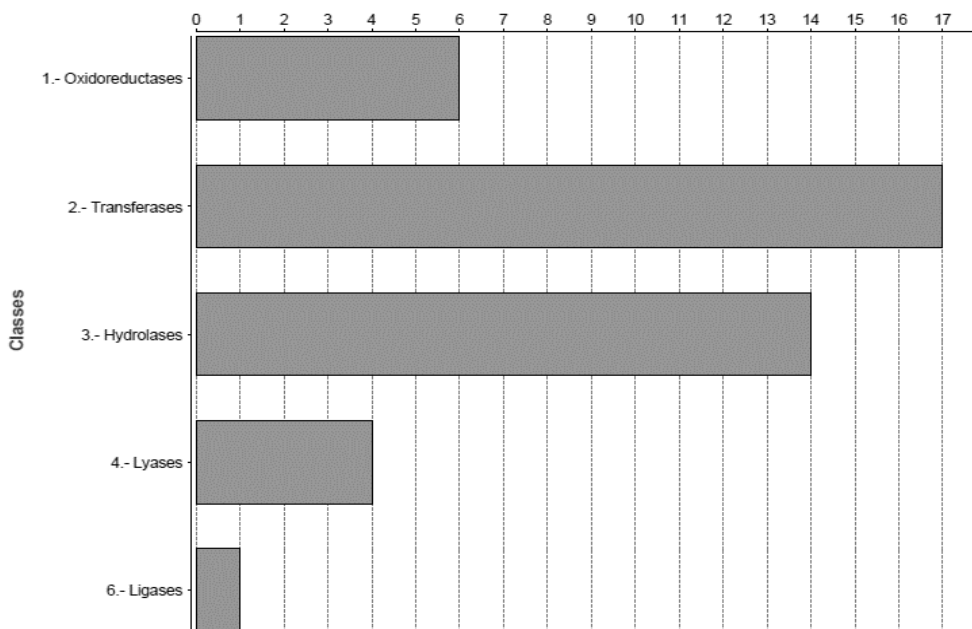


7.9 Classificação das enzimas realizadas pelo Blast2GO

A International Union of Biochemistry and Molecular Biology (IUBMB), classificou as enzimas conforme o tipo de reação que as enzimas catalisam. Cada enzima descrita recebe um número de classificação, conhecida por EC (*Enzyme Commission*), composto por 4 dígitos (EC: x.x.x.x), separados por pontos referente a: 1- classe; 2- subclasse; 3- grupos químicos específicos que participam de cada reação e 4- nome indicado a referida enzima. E são classificadas em seis grandes classes: 1 EC – Oxidorredutases; 2 EC – Transferases; 3 EC – Hidrolases; 4 EC – Liases; 5 EC – Isomerases; 6 EC – Ligases (CORNISH-BOWDEN, 2014; CUESTA et al., 2015; LEHNINGER et al., 2011).

Foram analisadas pelo programa Blast2GO 136 proteínas de *H. sucuuba* das quais 42 proteínas possuem alguma atividade enzimática (Figura 18). As enzimas mais frequentes foram transferases, seguida das hidrolases, oxidoredutases, liases e ligases. Não foram identificadas enzimas do tipo isomerases.

Figura 18. Classificação geral das enzimas encontradas no látex de *H. sucuuba*. As enzimas foram categorizadas utilizando-se o programa Blast2GO, de acordo com o banco de dados *Kyoto Encyclopedia of genes and Genomes pathway database* disponíveis em KEGG.



7.9.1 Oxidorreduases

As enzimas responsáveis pela transferência de elétrons para um aceptor, catalisando as reações de oxirredução são denominadas EC1. O grupo de enzimas oxidorreduases dividi-se em 24 subcategorias: EC: 1.1 à EC 1.23 e EC 1.97, incluindo outros tipos de oxidorreduases (Tabela 3).

Tabela 3. Subclasses das enzimas oxidoreduases identificadas no soro do látex de *H. sucuuba*. Categorizadas de acordo com os seus números de EC (*Enzyme comission*), com base nos dados obtidos no *Kyoto Encyclopedia of genes and Genomes pathway database* (KEGG) pelo software Blast2GO.

Número EC (Enzyme Comission) - Subclasse	Nome das enzimas	Nº de enzimas
EC 1.1.1.1 - Atuam no grupo CH-OH de doadores	alcohol dehydrogenase	1
EC 1.1.1.49 - Atuam no grupo CH-OH de doadores	(glucose-6-phosphate dehydrogenase (NADP ⁺))	1
EC 1.1.3.20 - Atuam no grupo CH-OH de doadores	long-chain-alcohol oxidase	1
EC 1.3.3.8 - Atuam no grupo CH-CH dos doadores	tetrahydroberberine oxidase)	1
EC 1.4.1.2- Atuam no grupo CH-CH de doadores	glutamate dehydrogenase)	1
EC 1.6.5.3- Atuam no NADH ou NADPH	NADH:ubiquinone reductase (H ⁺ -translocating)	1

7.9.2 Transferases

São enzimas que catalisam, a transferência de grupos entre moléculas doadoras e aceitoras, classificadas como EC 2, sendo subdivididas em 10 subcategorias de EC 2.1 à EC2.10 (Tabela 4).

Tabela 4. Subclasses das enzimas transferases identificadas no soro do látex de *H. sucuuba*. Categorizadas de acordo com os seus números de EC (*Enzyme comission*), com base nos dados obtidos no *Kyoto Encyclopedia of genes and Genomes pathway database* (KEGG) pelo software Blast2GO.

Número EC (<i>Enzyme Comission</i>) - Subclasse	Nome das enzimas	Nº de enzimas
EC 2.1.1.1- Transferem grupos de um carbono	nicotinamide N-methyltransferase	1
EC 2.1.1.128- Transferem grupos de um carbono	(RS)-norcoclaurine 6-O-methyltransferase	1
EC 2.1.1.150- Transferem grupos de um carbono	isoflavone 7-O-methyltransferase	1
EC 2.1.2.1- Transferem grupos de um carbono	glycine hydroxymethyltransferase	1
EC 2.3.1.1- Aciltransferases	amino-acid N-acetyltransferase	1
EC 2.3.1.15- Aciltransferases	glycerol-3-phosphate 1-O-acyltransferase	1
EC 2.3.1.43- Aciltransferases	phosphatidylcholine—sterol O-acyltransferase	1
EC 2.4.1.1- Glicosiltransferases	glycogen phosphorylase	1
EC 2.4.2.30- Glicosiltransferases	NAD ⁺ ADP-ribosyltransferase	1
EC 2.5.1.18- Transferem grupos alquil ou aril, excluindo grupos metil	glutathione transferase	1
EC 2.5.1.27- Transferem grupos alquil ou aril, excluindo grupos metil	adenylate dimethylallyltransferase	1
EC 2.5.1.29- Transferem grupos alquil ou aril, excluindo grupos metil	geranylgeranyl diphosphate synthase	1
EC 2.5.1.75- Transferem grupos alquil ou aril, excluindo grupos metil	tRNA dimethylallyltransferase	1
EC 2.7.3.1- Transferem grupos que contenham fosforo	guanidinoacetate kinase	1
EC 2.7.11- Transferem grupos que contenham fosforo	non-specific serine/threonine protein kinase	1
EC 2.7.10.1-Transferem grupos que contenham fosforo	receptor protein-tyrosine kinase	1
EC 2.7.7.27- Transferem grupos que contenham fosforo	glucose-1-phosphate denylyltransferase	1

7.9.3 Hidrolases

São enzimas que catalisam reações de hidrolise, com transferência de grupos funcionais para a água, classificadas como EC 3. Estas enzimas são subdivididas em 13 subcategorias (EC 3.1 à EC 3.13) (Tabela 5).

Tabela 5. Subclasses das enzimas hidrolases identificadas no soro do látex de *H. sucuuba*. Categorizadas de acordo com os seus números de EC (*Enzyme comission*), com base nos dados obtidos no *Kyoto Encyclopedia of genes and Genomes pathway database* (KEGG) pelo software Blast2GO.

<i>Número EC (Enzyme Comission) - Subclasse</i>	<i>Nome das enzimas</i>	<i>Nº de enzimas</i>
<i>EC 3.1.3.12- Atuam em ligações éster</i>	<i>trehalose-phosphatase</i>	1
<i>EC 3.1.3.16- Atuam em ligações éster</i>	<i>protein-serine/threonine phosphatase</i>	1
<i>EC 3.1.3.26.4- Atuam em ligações éster</i>	<i>4-phytase</i>	1
<i>EC 3.4.11- Atuam em ligações peptídicas</i>	<i>leucyl aminopeptidase</i>	2
<i>EC 3.4.21- Atuam em ligações peptídicas</i>	<i>Serine endopeptidases</i>	3
<i>EC 3.4.22- Atuam em ligações peptídicas</i>	<i>Cysteine endopeptidases</i>	1
<i>EC 3.5.4.5- Atuam em ligações nitrogênio-carbono (ligações não peptídicas)</i>	<i>cytidine deaminase</i>	1
<i>EC 3.6.1.3- Atuam em anidridos ácidos</i>	<i>adenosinetriphosphatase</i>	1
<i>EC 3.6.3.3- Atuam em anidridos ácidos</i>	<i>Cd²⁺-exporting ATPase</i>	1
<i>EC 3.6.4.3- Atuam em anidridos ácidos</i>	<i>microtubule-severing ATPase</i>	1
<i>EC 3.6.3.8- Atuam em anidridos ácidos</i>	<i>Ca²⁺-transporting ATPase</i>	1

7.9.4 Liases

São enzimas que catalisam a clivagem de ligações, através hidrolise ou oxidação (EC 4) e são compostas por oito subcategorias de EC 4.1 à EC 4.7 e EC 4.99 que são outros tipos de liases (Tabela 6).

Tabela 6. Subclasses das enzimas liases identificadas no soro do látex de *H. sucuuba*. Categorizadas de acordo com os seus números de EC (*Enzyme comission*), com base nos dados obtidos no *Kyoto Encyclopedia of genes and Genomes pathway database* (KEGG) pelo software Blast2GO.

<i>Número EC (Enzyme Comission) – Subclasse</i>	<i>Nome das enzimas</i>	<i>Nº de enzimas</i>
<i>EC 4.1.2.8- Liases carbono-carbono</i>	<i>indole-3-glycerol-phosphate lyase</i>	1
<i>EC 4.2.1.20- Liases carbono-oxigênio</i>	<i>tryptophan synthase</i>	1
<i>EC 4.2.3.8- Liases carbono-oxigênio</i>	<i>casbene synthase</i>	1
<i>EC 4.3.2.1- Liases carbono-nitrogênio</i>	<i>Arginino succinate lyase</i>	1

7.9.5 Ligases

São enzimas que catalisam a formação de ligações químicas por reação de condensação acopladas à hidrólise de ATP (EC 6). Estas enzimas são subdivididas em seis subclasses de EC 6.1 à EC 6.6. Identificamos uma enzima Ligase, a EC 6.4.1.2 (*acetyl-CoA carboxilase*), que forma ligações carbono-carbono.

7.10 Vias metabólicas

As enzimas identificadas no soro do látex de *H. sucuuba* pelo Blast2GO, em conjunto com a base de dados do KEGG, resultaram na predição no total de 30 vias metabólicas, incluindo informações acerca das enzimas (proteínas) que participam de cada via metabólica e que foram identificadas no látex de *H. sucuuba*, bem como, o substrato e produto da reação catalisada por cada enzima (Tabela 7).

Tabela 7. Vias metabólicas das enzimas encontradas no soro do látex de *H. sucuuba*, preditas pelo Blast2GO em conjunto com a base de dados KEGG pathway. Com seus respectivos números e nomes EC (*Enzymes Commission*). (Continua)

Vias metabólicas	Número EC (<i>Enzyme Comission</i>)	Nome das enzimas	Substrato	Produto
Glicólise/gliconeogênese	1.1.1.1	<i>Alcohol dehydrogenase</i>	(1) um álcool primário + NAD ⁺ (2) um álcool secundário + NAD ⁺	(1) um aldeído + NADH + H ⁺ (2) uma cetona + NADH + H ⁺
Degradação de naftaleno	1.1.1.1	<i>Álcool dehydrogenase</i>	(1) um álcool primário + NAD ⁺ (2) um álcool secundário + NAD ⁺	(1) um aldeído + NADH + H ⁺ (2) uma cetona + NADH + H ⁺
Fosforilação oxidativa	1.6.5.3	<i>NADH:ubiquinone reductase (H⁺-translocating)</i>	NADH + ubiquinone + 5 H ⁺ _{in}	NAD ⁺ + ubiquinol + 4 H ⁺ _{out}
Metabolismo do piruvato	6.4.1.2	<i>acetyl-CoA carboxylase</i>	ATP + acetil-CoA + HCO ₃ ⁻	ADP + fosfato + malonil-CoA
Metabolismo da tirosina	1.1.1.1	<i>Álcool dehydrogenase</i>	(1) um álcool primário + NAD ⁺ (2) um álcool secundário + NAD ⁺	(1) um aldeído + NADH + H ⁺ (2) uma cetona + NADH + H ⁺
Metabolismo de gioxilato e dicarboxilato	2.1.2.1	<i>Glycine hydroxymethyltransferase</i>	5,10-methylenetetrahydrofolate + glycine + H ₂ O	tetrahydrofolate + L-serine
Metabolismo do ácido cianoamino	2.1.2.1	<i>Glycine hydroxymethyltransferase</i>	5,10-methylenetetrahydrofolate + glycine + H ₂ O	tetrahydrofolate + L-serine
Reservatório de carbono por folato	2.1.2.1	<i>Glycine hydroxymethyltransferase</i>	5,10-methylenetetrahydrofolate + glycine + H ₂ O	tetrahydrofolate + L-serine

Tabela 7 – Vias metabólicas das enzimas encontradas no soro do látex de *H. sucuuba*, preditas pelo Blast2GO em conjunto com a base de dados KEGG pathway. Com seus respectivos números e nomes EC (*Enzymes Commission*). (Continua)

Metabolismo da glicina, serina e Treonina	4.2.1.20;	tryptophan synthase	L-serine + 1-C-(indol-3-yl)glycerol 3-phosphate	L-tryptophan + D-glyceraldehyde 3-phosphate + H ₂ O
	2.1.2.1;	<i>glycine hydrox methyltransferase</i>	5,10-methylenetetrahydrofolate + glycine + H ₂ O (1) um álcool primário + NAD ⁺ (2) um álcool secundário + NAD ⁺	tetrahydrofolate + L-serine (1) um aldeído + NADH + H ⁺ (2) uma cetona + NADH + H ⁺
	1.1.1.1	<i>Álcohol dehydrogenase</i>		
Biosíntese de arginina	4.3.2.1	<i>argininosuccinate lyase</i>	2-(N ^ω -L-arginino)succinate	fumarate + L-arginine
Biosíntese de fenilanina, tirosina e triptofano	4.2.1.20	<i>tryptophan synthase</i>	L-serine + 1-C-(indol-3-yl)glycerol 3-phosphate	L-tryptophan + D-glyceraldehyde 3-phosphate + H ₂ O
Metabolismo do glicerol lipideo	2.3.1.15; 2.3.1.158	glycerol-3-phosphate 1-O-acyltransferase phospholipid:diacylglycerol acyltransferase	acyl-CoA + <i>sn</i> -glycerol 3-phosphate phospholipid + 1,2-diacyl- <i>sn</i> -glycerol	CoA + 1-acyl- <i>sn</i> -glycerol 3-phosphate lysophospholipid + triacylglycerol
Metabolismo do glicerolfosfolipideo	2.3.1.15; 2.3.1.43	glycerol-3-phosphate 1-O-acyltransferase phosphatidylcholine—sterol O-acyltransferase	acyl-CoA + <i>sn</i> -glycerol 3-phosphate phosphatidylcholine + a sterol	CoA + 1-acyl- <i>sn</i> -glycerol 3-phosphate 1-acylglycerophosphocholine + a sterol ester

Tabela 7 – Vias metabólicas das enzimas encontradas no soro do látex de *H. sucuuba*, preditas pelo Blast2GO em conjunto com a base de dados KEGG pathway. Com seus respectivos números e nomes EC (*Enzymes Commission*). (Continua)

Biosíntese de alcaloides isoquinolinicos	1.3.3.8; 2.1.1.128	<i>tetrahydroberberine oxidase</i> <i>(RS)-norcoclaurine 6-O-methyltransferase</i>	(S) -tetrahydroberberine + 2 O ₂ S -adenosyl-L-methionine + (RS)-norcoclaurine	berberine + 2 H ₂ O ₂ S -adenosyl-L-homocysteine + (RS)-coclaurine
Metabolismo da pirimidina	3.5.3.5	<i>formimidoylaspartate deiminase.</i>	<i>N</i> -formimidoyl-L-aspartate + H ₂ O	<i>N</i> -formyl-L-aspartate + NH ₃
Biosíntese do benzoxazinoide	4.1.2.8	<i>indole-3-glycerol-phosphate lyase</i>	(1 <i>S</i> ,2 <i>R</i>)-1- <i>C</i> -(indol-3-yl)glycerol 3-phosphate	indole + D-glyceraldehyde 3-phosphate
Biosíntese de dipernoide	4.2.3.8	<i>casbene synthase</i>	geranylgeranyl diphosphate	casbene + diphosphate
Metabolismo de alanina, aspartato e Glutamato	4.3.2.1	<i>argininosuccinate lyase</i>	2-(<i>N</i> ^ω -L-arginino)succinate	fumarate + L-arginine
Via da pentose fosfato	1.1.1.49	<i>glucose-6-phosphate dehydrogenase (NADP⁺)</i>	D-glucose 6-phosphate + NADP ⁺	6-phospho-D-glucono-1,5-lactone + NADPH + H ⁺
Biosíntese de ácidos graxos	6.4.1.2	<i>acetyl-CoA carboxylase</i>	ATP + acetyl-CoA + HCO ₃ ⁻	ADP + phosphate + malonyl-CoA
Metabolismo da glutationa	1.1.1.49; 2.5.1.18	<i>glucose-6-phosphate dehydrogenase (NADP⁺)</i> <i>glutathione transferase</i>	D-glucose 6-phosphate + NADP ⁺ RX + glutathione	6-phospho-D-glucono-1,5-lactone + NADPH + H ⁺ HX + R-S-glutathione
Metabolismo do propanoato	6.4.1.2	<i>acetyl-CoA carboxylase</i>	ATP + acetyl-CoA + HCO ₃ ⁻	ADP + phosphate + malonyl-CoA
Biosíntese de tetraciclina	6.4.1.2	<i>acetyl-CoA carboxylase</i>	ATP + acetyl-CoA + HCO ₃ ⁻	ADP + phosphate + malonyl-CoA
Metabolismo da purina	3.6.1.3	<i>adenosinetriphosphatase</i>	ATP + H ₂ O	ADP + phosphate
Metabolismo de drogas e outras enzimas	3.5.3.5	<i>cytidine deaminase</i>	cytidine + H ₂ O (2) 2'-deoxycytidine + H ₂ O	uridine + NH ₃ 2'-deoxyuridine + NH ₃

Tabela 7 – Vias metabólicas das enzimas encontradas no soro do látex de *H. sucuuba*, preditas pelo Blast2GO em conjunto com a base de dados KEGG pathway. Com seus respectivos números e nomes EC (*Enzymes Commission*).

(Continua)

Biossíntese de antiobióticos	4.2.1.20; 2.5.1.1; 6.4.1.2; 2.1.2.1; 1.1.1.1; 2.5.1.29; 1.1.1.49; 4.3.2.1	<i>tryptophan synthase</i> <i>dimethylallyltransferase</i> <i>acetyl-CoA carboxylase</i> <i>glycine hydroxymethyltransferase</i> <i>alcool dehidrogenase</i> <i>geranylgeranyl diphosphate synthase</i> <i>glucose-6-phosphate dehydrogenase (NADP⁺)</i> <i>argininosuccinate lyase</i>	L-serine + 1-C-(indol-3-yl)glycerol 3-phosphate dimethylallyl diphosphate + isopentenyl diphosphate ATP + acetyl-CoA + HCO ₃ ⁻ 5,10-methylenetetrahydrofolate + glycine + H ₂ O (1) um álcool primário + NAD ⁺ (2) um álcool secundário alcool + NAD ⁺ (2E,6E)-farnesyl diphosphate + isopentenyl diphosphate D-glucose 6-phosphate + NADP ⁺ 2-(N ^o -L-arginino)succinate	L-tryptophan + D-glyceraldehyde 3-phosphate + H ₂ O diphosphate + geranyl diphosphate ADP + phosphate + malonyl-CoA tetrahydrofolate + L-serine um aldeido + NADH + H ⁺ uma cetona + NADH + H ⁺ diphosphate + geranylgeranyl diphosphate 6-phospho-D-glucono-1,5-lactone + NADPH + H ⁺ fumarate + L-arginine
------------------------------	--	---	--	--

Tabela 7 – Vias metabólicas das enzimas encontradas no soro do látex de *H. sucuuba*, preditas pelo Blast2GO em conjunto com a base de dados KEGG pathway. Com seus respectivos números e nomes EC (*Enzymes Commission*).

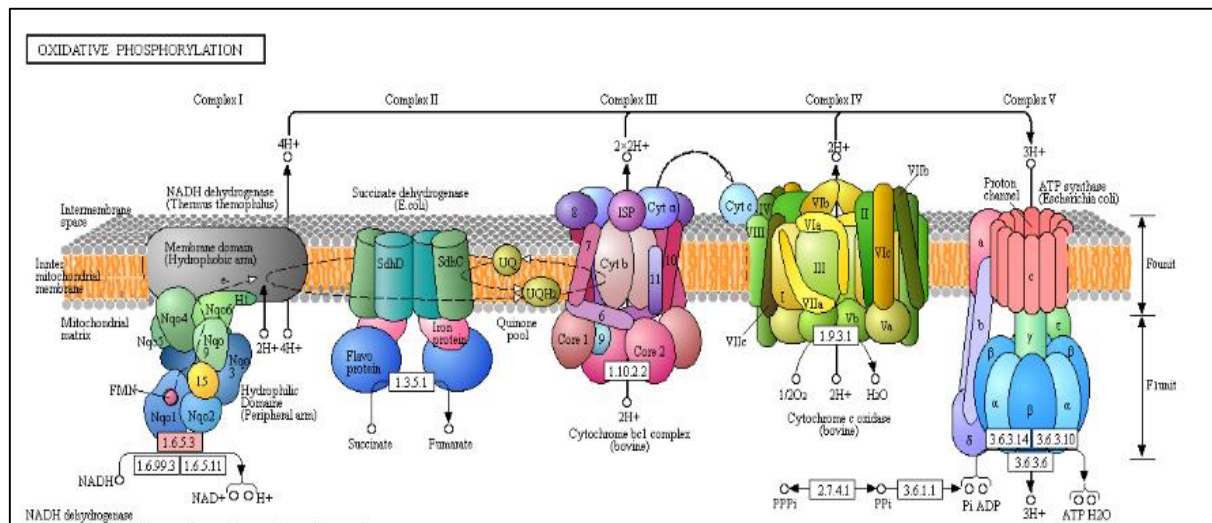
Metabolismo de amido e sacarose	3.1.3.12; 2.7.7.27	trehalose-phosphatase glucose-1-phosphate adenylyltransferase	α,α -trehalose 6-phosphate + H ₂ O ATP + α -D-glucose 1-phosphate	α,α -trehalose + phosphate diphosphate + ADP-glucose
Biossíntese da zeatina	2.5.1.27;	<i>Adenylate dimethylallyltransferase (AMP-dependent)</i> .	dimethylallyl diphosphate + AMP	diphosphate + N^6 -(dimethylallyl)adenosine 5'-phosphate
	2.5.1.75	<i>tRNA dimethylallyltransferase</i>	dimethylallyl diphosphate + AMP	diphosphate + N^6 -dimethylallyladenine ³⁷ in tRNA
Degradação de ácido graxo	1.1.1.1	<i>Álcool dehydrogenase</i>	(1) um álcool primário + NAD ⁺ (2) um álcool secundário + NAD ⁺	(1) um aldeído + NADH + H ⁺ (2) uma cetona + NADH + H ⁺
Metabolismo de açúcares, aminoácidos e nucleotídeos	2.7.7.27	glucose-1-phosphate adenylyltransferase	ATP + α -D-glucose 1-phosphate	diphosphate + ADP-glucose

7.10.1 Funções de algumas proteínas e enzimas identificadas no soro do látex de *H. sucuuba*.

Foi identificada uma proteína *NADH: ubiquinone reductase*, que compõe um dos principais complexos proteicos da fosforilação oxidativa nas mitocôndrias (Figura 19). A fosforilação oxidativa desempenha uma das funções mais importantes da via metabólica, que produz trifosfato de adenosina (ATP) utilizando energia, e também produz espécies reativas de oxigênio (ERO), como peróxido de hidrogénio e superóxido (CHO, 2009). As EROs podem provocar injúria tecidual (KINNULA et al., 1995) e, em altas concentrações, danificar organelas celulares, ácidos nucleicos, lipídeos e proteínas (VALKO et al., 2007).

Muitas proteínas encontradas nas organelas (plastídios e mitocôndrias) estão presentes no látex. As análises anteriores de proteoma de *Papaver somniferum*, *Calotropis procera*, *Chelidonium majus*, e *Lettuce* mostram que possuem metabólitos especializados no látex, mas suas composições proteicas são bastante diferentes dependendo da espécie (DECKER et al., 2000; FREITAS et al., 2007; NAWROT et al., 2007; 2016; 2017; CHO et al. 2009).

Figura 19. Esquema metabólico da reação de fosforilação oxidativa evidenciando a participação da enzima *NADH: ubiquinone reductase*, uma proteína identificada no látex de *H. sucuuba*. A caixa colorida na cor rosa, indica o número EC 1.6.5.3, correspondente da enzima identificada.



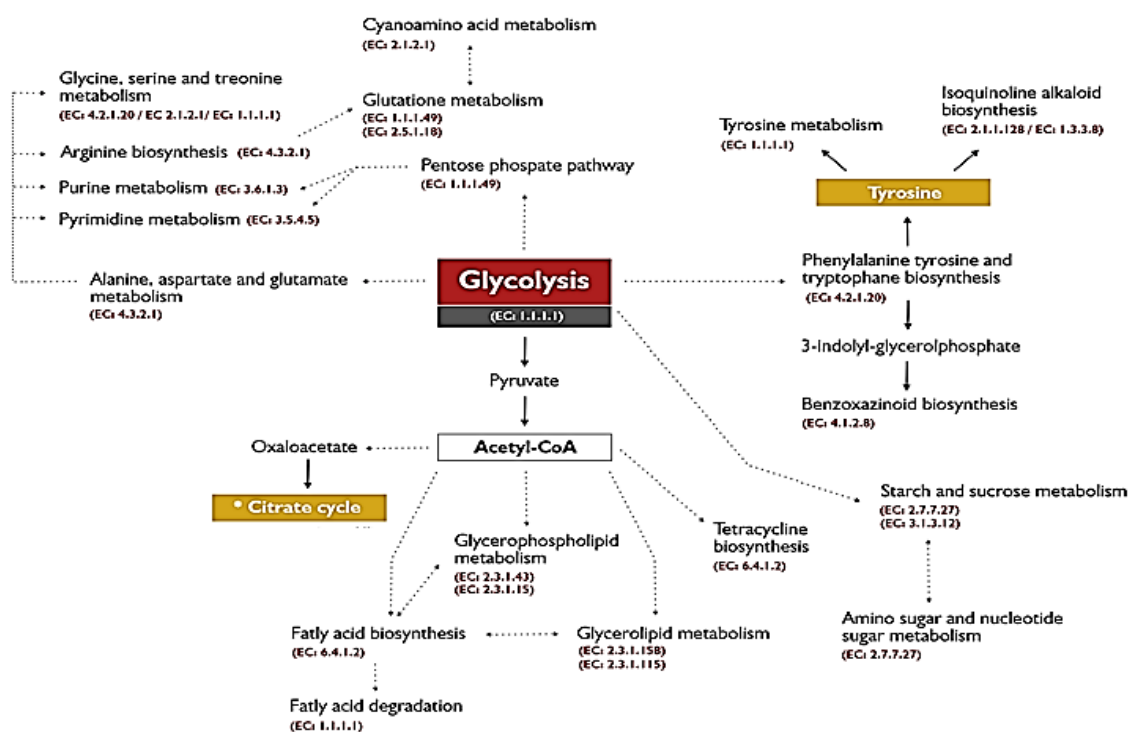
FONTE: KEGG, 2017.

A enzima óxido nítrico sintase (EC: 1.14.13.39), catalisa a produção de óxido nítrico usando a L-arginina como substrato. O óxido nítrico é uma importante molécula de sinalização

celular, que desempenha funções em uma variedade de processos celulares como vasodilatação através de nervos nitrígenos periféricos, neurotransmissão, agregação plaquetária, secreção de insulina. Agindo como molécula de defesa contra bactérias intercelulares e células tumorais. E está envolvido na angiogênese, inflamação e remodelação de tecidos (FORSTERMANN; SESSA, 2012; HERCULANO et. 2011).

Na Figura 20 apresenta-se um esquema com as principais enzimas e respectivas vias metabólicas identificadas a partir da análise (proteoma) do látex de *H. sucuuba*.

Figura 20. Resumo de algumas das vias metabólicas e enzimas preditas pelo Blast2GO, no soro do látex de *H. sucuuba*.



FONTE: Elaborada pelo autor.

Verificou-se ainda a presença da enzima *alcohol dehidrogenase* (EC:1.1.1.1) que atua como uma oxidoredutase na via metabólica da glicólise, que consiste do processo de conversão de glicose em piruvato e trata-se de um caminho central que produz importantes metabólitos precursores e também foi identificada em látex de *Lactuca sativa* (CHO et al., 2009). A *alcohol*

dehidrogenase é uma enzima encontrada em animais, leveduras e plantas. Em plantas esta enzima atua na via de produção de etanol em resposta a condições de hipoxia e anoxia. Principal adaptação ao stress anaeróbico em plantas (KIMMERER; STRIGER, 1998). A desidrogenase alcoólica (ADH) é uma das enzimas da via de fermentação etanólica que é responsável pela redução do acetil aldeído, que é tóxico para os tecidos vegetais. Resultando na regeneração contínua de NAD no citoplasma (CHUNG; FERL, 1999). Assim, a indução de ADH pode aumentar a sobrevivência de plantas em condições inundadas (JOHNSON et al., 1994).

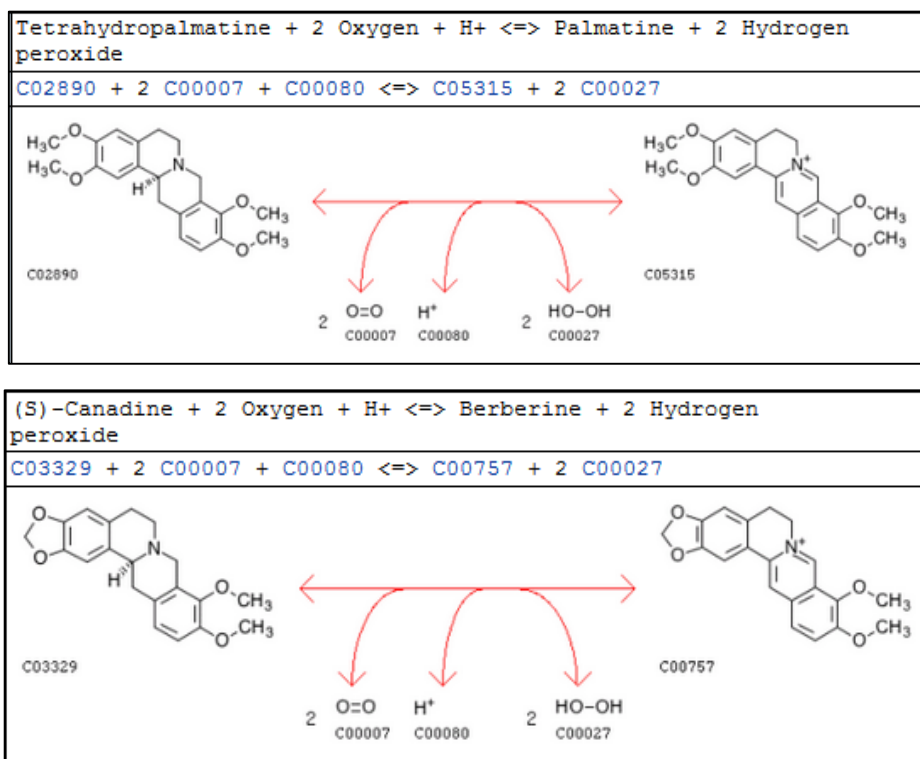
O *acetil-CoA*, produzido pela descarboxilação oxidativa do piruvato, é uma Co-enzima que tem uma forte contribuição no armazenamento de lipídeos e no metabolismo energético global. Catalisa a formação de *malonil-CoA*, um substrato essencial para a síntese de ácidos graxos (ABU-ELHEIGA et al., 2001; ABU-ELHEIGA et al., 2003). A produção de ácidos graxos ocorre nos plastídeos que é catalisada por duas enzimas, acetil-CoA Carboxilase (ACCase) e sintase de ácido graxo nas células de plantas, esta organela não existe em animais (TRONCOSO-PONCE et al., 2016; SASAKI et al., 1995; SASAKI et al., 2004). Outras vias que estão relacionadas ao *acetil-CoA* e as respectivas enzimas identificadas no látex, são as vias de metabolismo de glicerolfosfolipídio (enzimas *acyl-CoA:sn-glycerol-3-phosphate 1-O-acyltransferase; phosphatidylcholine:sterol O-acyltransferase*), metabolismo de glicerolipídio (*acyl-CoA:sn-glycerol-3-phosphat 1-O-acyltransferase; phospholipid:1,2-diacyl-sn-glycerol O-acyltransferase*) e biossíntese de tetraciclina (*acetyl-CoA:carbon-dioxide ligase (ADP-forming)*).

Algumas enzimas estão presentes no látex de *H. sucuuba* e participam de diferentes processos metabólicos, como metabolismo de alanina, aspartato e glutamato (enzima identificada nessa via foi a *2-Nomega-L-arginino succinate arginine-lyase (fumarate-forming)*), via da pentose fosfato (com a enzima *D-glucose-6- phosphate:NADP+ 1-oxidoreductase*), metabolismo de amido e açúcar (*trehalose-6-phosphate phosphohydrolase; glucose-1-phosphate adenylyltransferase*), e biossíntese de fenilalanina, tirosina e triptofano {*L-serine hydro-lyase [adding 1-C-(indol-3-yl) glycerol 3-phosphate, L-tryptophan and D-glyceraldehyde-3-phosphate-forming]*}.

Foram também identificadas duas enzimas que participam da via metabólica de biossíntese de alcaloides isoquinolinicos. A enzima (*S)-tetrahydroberberine:oxygen oxidoreductase* (EC: 1.3.3.8) classificada como uma oxidoredutase, atua em três momentos da via e catalisa a produção de compostos de interesse farmacológico como a Palmatine e

Berberine (Figura 21) e a enzima (*RS*)-*norcoclaurine 6-O-methyltransferase* (EC:2.2.1.128) que atua em duas reações, catalisando a produção de (S)-Coclaurine e (S)-6-O-Methylnorlaudanosoline.

Figura 21. Reações catalisadas pela enzima EC: 1.3.3.8.

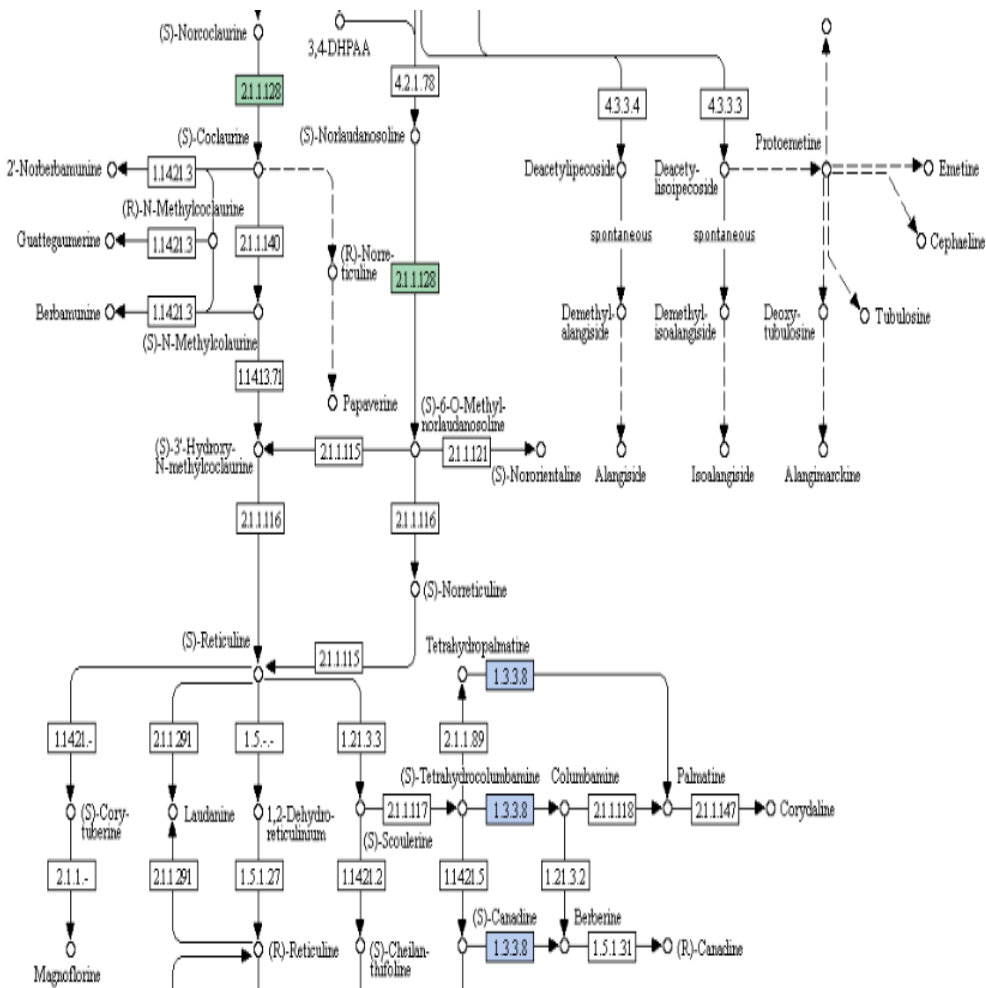


FONTE: KEGG, 2017

As enzimas estão ressaltadas no esquema da via dos alcalóides de isoquinolínicos apresentado na Figura 22.

As enzimas identificadas participam de reações que apresentam como produto, alcalóides com potencial atividade e interesse farmacológico como os agentes berberina e palmatina, que apresentam variadas ações farmacológicas e têm sido amplamente utilizados na medicina popular. A biossíntese de alcalóides de isoquinolínicos prossegue a via de descarboxilação de tirosina para produzir dopamina, que em conjunto com 4-hidroxifenilacetadeído, um aldeído derivado de tirosina, é convertido em reticulina, um precursor importante de vários alcalóides de benzilisoquinolina (KEGG,2017).

Figura 22. Via metabólica dos alcalóides isoquinolinicos identificada em *H. sucuuba*. Enzima destacada em verde é a (*RS*)-*norcoclaurine 6-O-methyltransferase* (EC:2.1.1.128) em azul (*S*-*tetrahydroberberine:oxygen oxidoreductase* (EC: 1.3.3.8), com seus respectivos números de EC.



FONTE: KEGG, 2017.

A berberina ($C_{20}H_{18}NO_4^+$) é um alcalóide isoquinolínico natural (BIRDSALL e KELLY, 1997) e têm sido utilizado para muitas aplicações farmacológicas, como antimicrobiana (KANEDA et al., 1991), anti-inflamatória (CKLESS et al., 1995) e antioxidante, com atividade de redução da formação de EROS (ROS, do inglês reactive oxygen species) em eventos metabólicos que ocorrem, principalmente, nas mitocôndrias, cloroplastos e peroxissomos (BHATTACHARJEE, 2010; KARUPPANAPANDIAN et al., 2011). As espécies reactivas de oxigénio (EROS) são produzidas em resposta aos diferentes tipos de estresses bióticos e abióticos (RACKOVÁ, 2004) e também na inibição da peroxidação lipídica (SHIRWAIKAR et al., 2006). No entanto, a presença de EROS em concentrações adequadas

pode ser importante na manutenção dos estados celulares normais, pois participam de processos que envolvem adesão celular, como a diferenciação, reparo e cicatrização (VALKO et al., 2007; SILVA e JASIULIONIS, 2014).

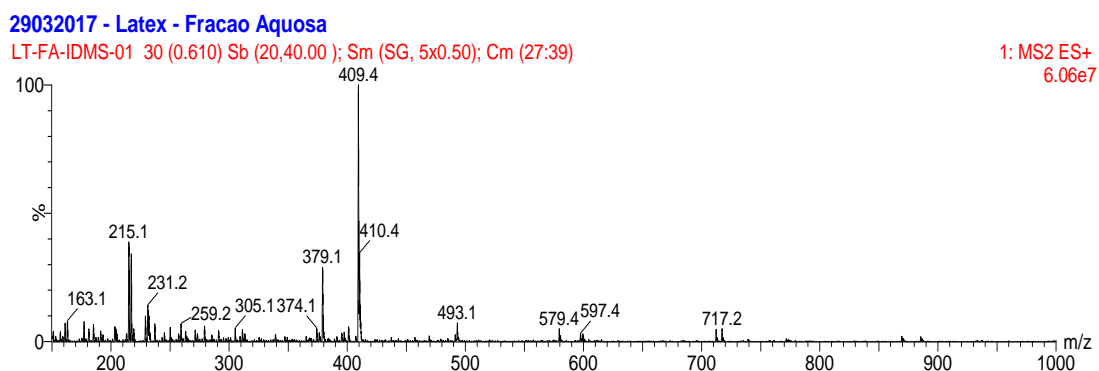
Os alcalóides berberina e palmatina são tóxicos para insetos e vertebrados e inibem a multiplicação de bactérias, fungos e vírus. Em consequência, estas atividades bioquímicas podem mediar a defesa química contra microorganismos, vírus e herbívoros nas plantas que produzem estes alcalóides (SEUNG et al., 2002).

Outras atividades farmacológicas da berberina incluem propriedades antimicrobianas; redução da glicose e do colesterol; antitumorais e imunomoduladoras. Estudos sugerem que a berberina pode ser benéfica para o tratamento da doença de Alzheimer (DA) limitando a patogênese de placas amilóides extracelulares e emaranhados neurofibrilares intracelulares. Evidências crescentes indicam que a berberina exerce um papel protetor na aterosclerose relacionada com as propriedades hipolipemiantes e hipoglicemiantes, implicando que a berberina tem o potencial de inibir estes fatores de risco para DA. A base farmacológica através da qual a berberina pode retardar o estresse oxidativo e a neuroinflamação para exibir seu papel protetor na DA, constituindo-se numa potencial abordagem terapêutica, foi explicada numa revisão recente publicada por Zhiyou et al. (2016).

7.11 Identificação de metabolitos secundário

No espectro de ESI-MS de íons totais da fração aquosa, modo positivo, foi possível identificar um íon m/z 409,4 [M+H-18]⁺, apresentado na Figura 23.

Figura 23. Espectro de ESI-MS de ions totais da fração aquosa (modo positivo).



Analizando o fracionamento deste ion, cujo espectro de ESI-MS/MS do íon m/z 409,4 está apresentado na Figura 24, observou-se que o referido ions apresentava o padrão de fragmentação do lupeol, Figura 26, uma vez que mostrou um fragmento característico da molécula lupeol de m/z 137.

Figura 24. Espectro de ESI-MS/MS do ion m/z 409,4 (modo positivo).

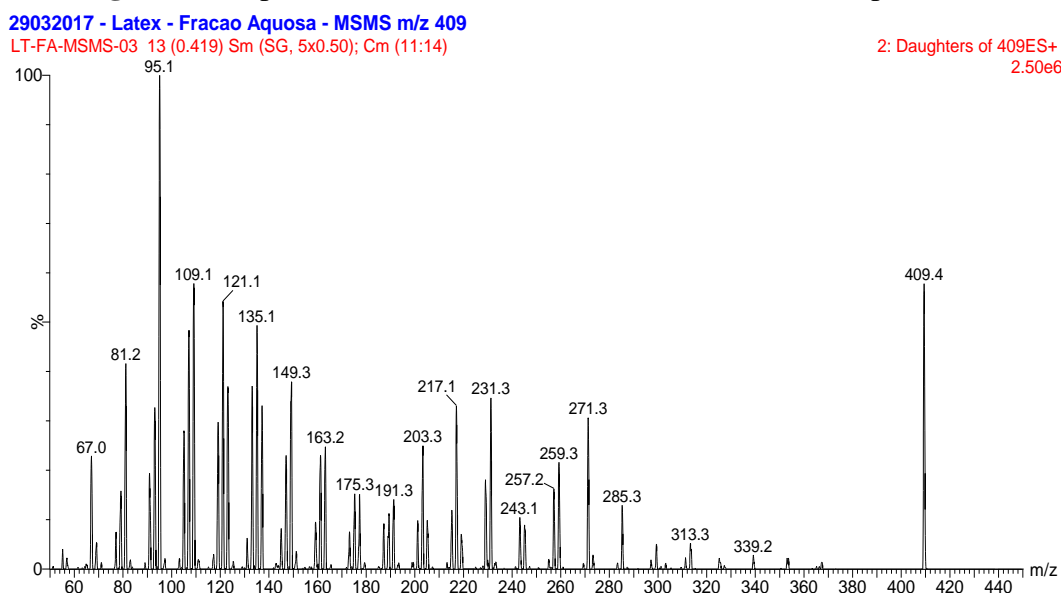
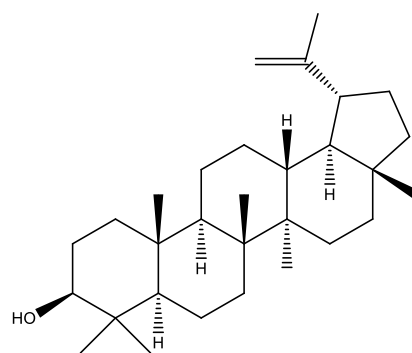


Figura 25. Estrutura química do lupeol.



FONTE: Mo et. al., 2013.

Nos espectros de ESI-MS de íons totais da fração acetato bem como do látex bruto (Figura 26 e 27) também mostram o mesmo íon m/z 409,4 Os espectros de ESI-MS/MS do íon

m/z 409,4 da fração acetato e do látex bruto apresentaram o mesmo perfil de fragmentação (Figura 28 e 29). Entre as proteínas identificadas na análise proteomica esta a enzima geranil pirofosfato sintase (EC: 2.5.1.29) que atua na biossíntese de lupeol, um triterpeno da classe dos terpenóides. A presença do terpenoide no soro detectado pela espectroscopia de massas ESI-MS/MS confirma a presença do lupeol no látex de *Himatanthus sucuuba* e corrobora com os dados descritos na literatura (SALEEM, 2009; MO et al; 2013).

O efeito anti-inflamatório do látex de *Himatanthus sucuuba* é provavelmente oriundo de lupeol cujo efeito foi verificado na inibição de edema e constrições abdominais (SALEEM, 2009; SINGH et al., 2017). Vários estudos relatam a atividade anti-inflamatória desse composto (GEETHA et al., 1999; DE MIRANDA et al., 2000; VASCONCELOS et al., 2008; NGUEMFO et al., 2009), o lupeol apresenta-se como anti-microbiano, anti-protozoário, anti-angiogénico (SIDDIQUE et al., 2011). Atividades farmacológicas benéficas incluindo os antioxidantes, anti-hiperglicémicos, anti-dislipídicos e anti-mutagénicos, anti-diabético, anti-asmático, anti-artrítica, cardioprotectora, hepatoprotectora, nefroprotectora, neuroprotectora também atribuídas a esse composto (TSAI et al., 2016).

O lupeol pode ser utilizado como um potente anti-oxidante contra a genotoxicidade induzida por pesticidas em trabalhadores agrícolas. Aumentando os níveis de enzimas anti-oxidantes, superóxido dismutase (SOD) e catalase e diminuição da geração de ROS (espécies reativas de oxigênio) e LPO (peroxidação de lipídeos) intracelular (SRIVASTAVA et al., 2016).

Figura 26. Espectro de ESI-MS de ions totais da fração acetato (modo positivo).

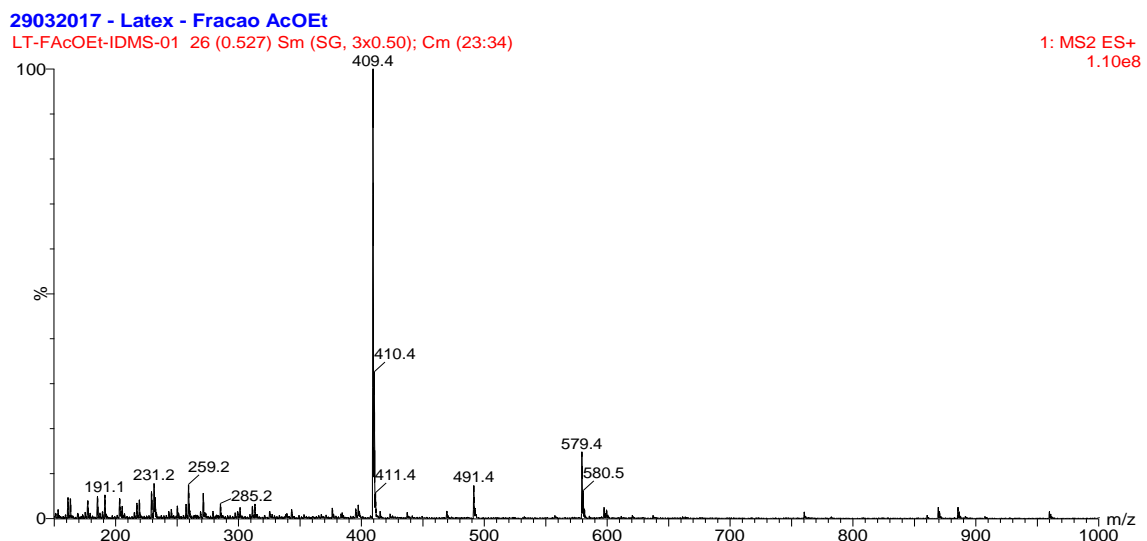


Figura 27. Espectro de ESI-MS de ions totais do látex bruto (modo positivo).

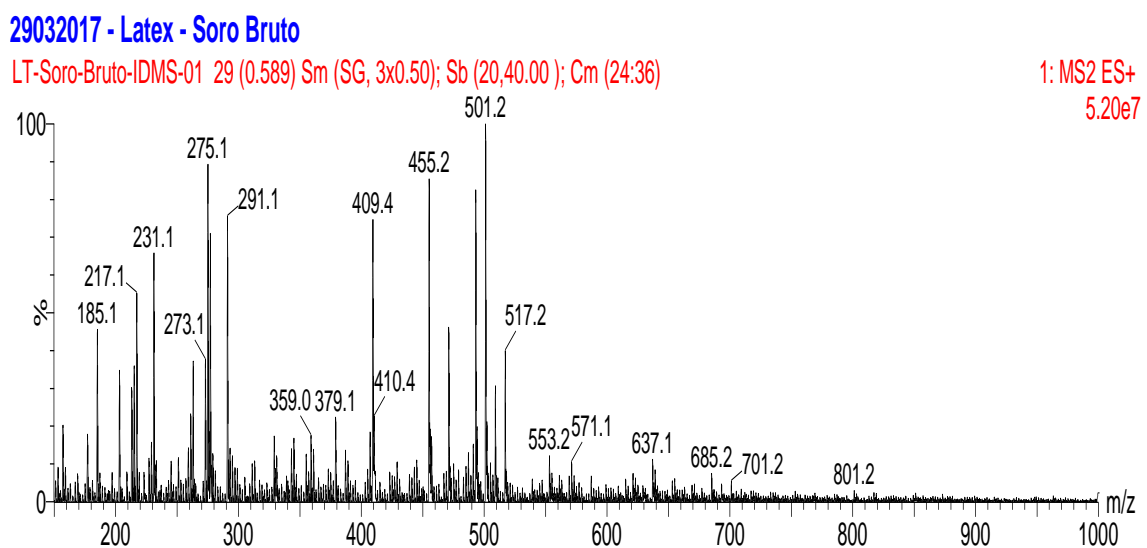


Figura 28. Espectro de ESI-MS/MS do ion m/z 409,4 (fração acetato; modo positivo).

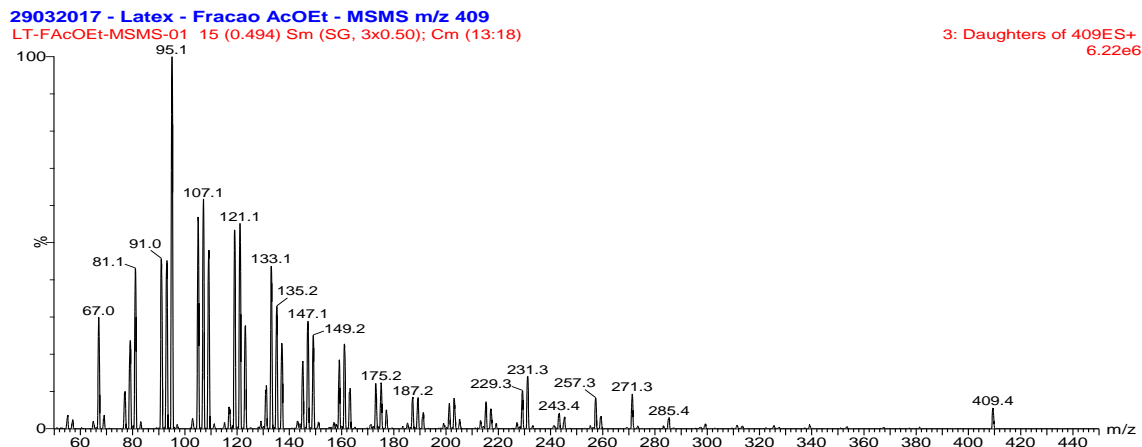
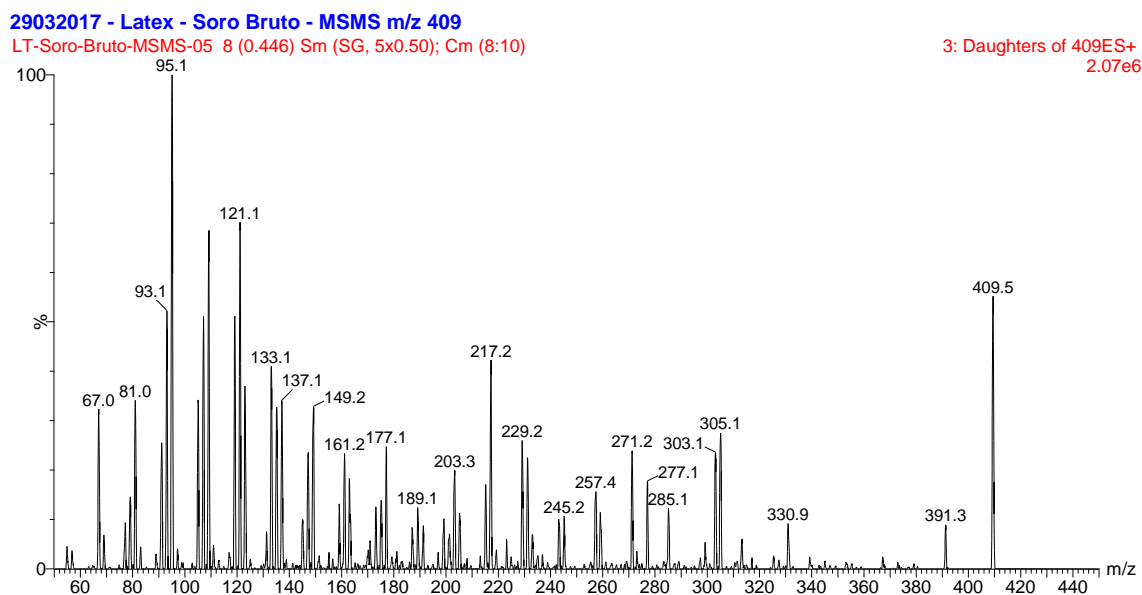


Figura 29. Espectro de ESI-MS/MS do ion m/z 409,4 (látex bruto; modo positivo).



CONCLUSÕES

- i) A utilização da técnica de espectrometria de massas resultou na identificação de 1471 proteínas, das quais 587 proteínas apresentaram score igual ou superior a 20.
- ii) Dentre essas 587 proteinas, foram encontradas 267 proteínas preditas o que equivale a 45 %, 158 hipotéticas (27 %), 128 anteriormente caracterizadas (22 %), 24 putativas (4 %) e 10 proteínas não definidas (2 %).
- iii) Das proteínas encontradas 40% apresentaram ponto isoelétrico menor que 6, 32,64 % apresentaram ponto isoelétrico maior que 8.
- iv) Entre essas proteínas caracterizadas determinou-se que mais de 70 % atuam em processos metabólicos e 50% em processos celulares variados, identificou-se que grande parte contribui de modo geral em processos metabólicas e celulares, com atividades catalíticas e de ligação. São encontradas em distintos locais subcelulares, exibindo atividades enzimáticas como transferases, hidrolases, oxirreduases e outras funções.
- v) As proteínas identificadas foram alocadas em 30 distintas vias metabólicas, e dentre essas, a via de biossíntese de alcalóides isoquinolinicos. As enzimas identificadas nessa via (*tetrahydroberberine oxidase; (S)-THB oxidase e (RS)-norcoclaurine 6-O-methyltransferase*) catalisam reações e produzem produtos de interesse farmacológico, como os alcalóides berberine e palmatine.
- vi) Este é o primeiro trabalho que relata a identificação e predição de proteínas presentes no látex de *H. sucuuba* e os resultados obtidos neste estudo forneceram informações importantes que possibilitam futuras pesquisas.

REFERÊNCIAS BIBLIOGRÁFICAS

- ABU-ELHEIGA L; MATZUK M.M; ABO-HASHEMA K.A; WAKIL S.J. Continuous Fatty Acid Oxidation and Reduced Fat Storage in Mice Lacking Acetyl-CoA Carboxylase 2 *Science*, n. 291, p. 2613–2616, 2001.
- ABU-ELHEIGA L; OH W; KORDARIP; WAKIL S. J. Acetyl-CoA carboxylase 2 mutant mice are protected against obesity and diabetes induced by high-fat-high-carbohydrate diets. Proceeding of the National Academy of Sciences of the United State of America, n.100, p. 10207-10212, 2003.
- ANDRADE, T.; G. CAETANO; D.MASSON; C. LANDIN; J. COUTINHO-NETO, M. FOSS; M. FAAD. Protein from *Hevea brasiliensis* latex rubber tree enhances wound healing in diabetic rats. **Endocrine Abstracts**, v. 29, p. 542, 2012.
- ALAM, G., MANJUL PRATAP SINGH, ANITA SINGH. Wound healing potential of some medicinal plants. **International Journal of Pharmaceutical Sciences Review and Research**, v. 9, n. 026, August 2011.
- ALTELAAR, A. F.; MUÑOZ, J.; HECK, A. J. Next-generation proteomics: towards an integrative view of proteome dynamics. **Nature Reviews Genetics, London**, v. 14, n. 1, p. 35-48, 2013.
- ARN, P. H. Phenylketonuria (PKU). In: Aminoff, M. J. e Daroff, R. B. **Encyclopedia of the Neurological Sciences (Second Edition)**. Oxford: Academic Press, p.887-889, 2014.
- BARRETO, ALAÍDE DE SÁ; ANA CLAUDIA F. AMARAL. ÁCIDO 15-DESMETILISOPLUMIERÍDEO, UM NOVO IRIDÓIDE ISOLADO DAS CASCAS DE *Plumeria rubra* E DO LÁTEX DE *Himatanthus sucuuba* **Quimica Nova**, v. 30, n. 5, p. 1133-1135, 2007.
- BHATTACHARJEE, S. Sites of generation and physicochemical basis of formation of reactive oxygen species in plant cell. In: GUPTA, S.D. Reactive oxygen species and antioxidants in higher plants. Enfi eld: **Science Publishers**, p.1-30, 2010.
- BIRDSALL, TC; KELLY GS. Berberine: Therapeutic potential of an alkaloid found in several medicinal plants. **Alternative Medicine Review**, n. 2, p. 94–103, 1997.
- BOLAY, E. Feigenund wurgefeigen. **Pharmazie in Unserer Zeit**, n. 4, p. 97–112, 1979.
- CHO, KYONG WON, XIONG-YAN CHEN, NAZIM MOHAMAD UDDIN, YEONGGIL RIM, UYEON MOON, JIN-HEE JUNG, CHUNLIN SHI, HYOSUBCHU, SUWHA KIM, SEON-WON KIM, ZEE-YONG PARK, JAE-YEAN KIM. Comprehensive proteome analysis of lettuce latex using multidimensional protein-identification technology. **Phytochemistry**, n.70, p. 570-578, 2009.

CHO, WON KONG; XIONG-YAN CHEN; EONGGIL RIM; HYOSUB CHU; JO Y; SUWHA KIM; ZEE-YONG; JAE-YEAN KIM. Extended latex proteome analysis deciphers additional roles of the lettuce laticifer. **Plant Biotechnology Reports**, n. 4, p. 311-319, 2010.

CHO, WONG KYONG; YEONHWA JO; HYOSUB CHU; SANG-HO PARK; KOOK-HYYUNG KIM. Integration of latex protein sequence data provides comprehensive functional overview of latex proteins. **Molecular Biology Reports**, v. 41, n. 3 p. 1469-1481, 2014.

CHUNG, H. J., AND R. J. FERL. Arabidopsis alcohol dehydrogenase expression in both shoots and roots is conditioned by root growth environment. **Plant Physiology**, n.121, p. 429–436, 1999.

CKLESS, K; SCHLOTTFELDT, JL; PASQUAL, M; MOYNA P; HENRIQUES JA; WAJNER M. Inhibition of in-vitro lymphocyte transformation by the isoquinoline alkaloid berberine. **Journal of Pharmacy and Pharmacology**, v. 47, n. 12, p.1029-31, 1995.

CONESA, A; GÖTZ S. Blast2GO: A comprehensive suite for functional analysis in plant genomics. **International Journal of Plant Genomics**, p. 1–12, 2008.

CORREA, M. P. Dicionário das plantas úteis do Brasil e das exóticas cultivadas no Rio de Janeiro: Imprensa Nacional, v.6, 1984.

CORNISH-BOWDEN, A. Current IUBMB recommendations on enzyme nomenclature and kinetics. **Perspectives in Science**, v. 1, p. 74-87, 2014.

CUESTRA, SERGIO MARTINEZ; SYED ASAD RAHMAN; NICOLAS FURNHAM AND JANET M. THORTON. Biophysical Perspective. **Biophysical Journal**. v.109, p. 1082-1086, 2015.

DA SILVA, CAMILA TAINAH; JASIULIONIS, MIRIAM GALVONAS. Relação entre estresse oxidativo, alterações epigenéticas e câncer. Ciencia e Cultura, v. 66, n.1, São Paulo, 2014.

DAI, LONGJUM; GUIUAN KANG; YU LI; ZHIYI NIE; CUIFANG DUAN; RIZHONG ZENG. In-depth proteome analysis of the rubber particle of *Hevea brasiliensis* (para rubber tree). **Plant Molecular Biology**, n. 82, p. 155-168, 2013.

DECKER, GABRIELE; GERHARD WANNER; MEINHARD H. ZENK; FRIEDRICH LOTTSPEICH. Characterization of proteins in latex of the opium poppy (*Papaver somniferum*) using two-dimensional gel electrophoresis and micro sequencing, n. 21, p. 3500-3516, **Electrophoresis**, 2000.

DE MIRANDA, A.L.P; SILVA, J.R.A; REZENDE, C.M.; PINTO, A.C.; PINHEIRO, M.L.B; CORDEIRO, M.C; TAMBORINI, E; PARRINI, J.S; Anti-inflammatory and analgesic activities of the látex containing triterpenes from *Himatanthus sucuuba*. **Planta Medica**, n. 66, p. 284-286, 2000.

DEWAN, S., SANGRAULA, H., & KUMAR, V. L. Preliminary studies on the analgesic activity of latex of *Calotropis procera*. **Journal of Ethnopharmacology**, n. 73, p.307–311, 2000.

DI STASI, L.C.; HIRUMA-LIMA, C.A. **Plantas medicinais na Amazônia e na Mata Atlântica**. 2. ed. São Paulo: UNESP, p. 604, 2002.

DOS SANTOS, A. A. **Exploração de uma biblioteca genômica de Passiflora edulis f. flaviacarpa por sequenciamento de BAC-ends**. Dissertação (Mestrado em Genética e Melhoramento de Plantas) - Escola Superior de Agricultura Luiz de Queiroz, Universidade de São Paulo, Piracicaba, 2013.

DUAN, C. F; NIE, Z. Y; ZENG, R. Z. Establishment of 2DE system and primary analyses on the membrane proteins of rubber particles in *Hevea brasiliensis* by MALDITOF. **Chinese Journal of Tropical Crops**, n. 27, p. 22–29, 2006.

FAHN, A. Plant anatomy 4^a ed. Oxford: **Pergamon Press**, 1990.

FERREIRA, J. L. PINTO; ANA C. F. AMARAL; RENATA B. ARAÚJO; JUNIOR R. CARAVALHO; CAROLYN E. B. PROENÇA; SANDRA A. P. M. FRAGA; JEFFERSON ROCHA A. SILVA. Pharmacognostical Comparation of Three Species of *Himatanthus*. **International Journal of Botany**, v. 5, n. 2, p. 171-175, 2009.

FENN, J. B.; MANN, M.; MENG, C. K.; WONG, S. F.; WHITEHOUSE, C. M. Electrospray ionization for mass spectrometry of large biomolecules. **Science, New York**, v. 246, n. 4926, p. 64-71, Oct 1989.

FERNANDES, M.Z.L.C.M; FERNANDES, R.M. SOUSA, M.C.B.B; LOPES, J.B. Determinação da toxicidade aguda da *Himatanthus sucuuba* (Spruce). Woodson (Apocynaceae) em camundongos. **Rev Bras Farm**, n. 81, p. 98-100, 2000.

FIGUEREDO, I. S. T.; OLIVEIRA, R. S. B.; FREITAS, L. B. N.; PINHEIRO, R. S. P.; ARAGÃO, K. S.; GONZAGA, M. L. C.; RICARDO, N. M. P. S.; BRITO, G.A.C.; RAMOS, M. V.; ALENCAR, N. M. Wound healing modulation by a biomembrane of laticifers proteins from *Calotropis procera* (AIT.). R. B. **Plant Med**, 78, 2012.

FORSTERMANN, ULRICH FO; SESSA, WILLIAM C. Basic science for the clinician Nitric oxide synthases: regulation and function. **European Heart Journal**, v. 33, p. 829–837, 2012.

FOLKMAN, J.; Y. SHING. Angiogenesis. **Journal of Biological Chemistry**, v.267, n.16, p.10931-10934, 1992.

FREITAS, C. T.; WALLACE T. da CRUZ; MARIA Z. SILVA; ILKA M. VASCONCELOS; FREDERICO B. M. MORENO; RENATO A. OLIVEIRA; ANA C. O. MONTEIRO-MOREIRA; LUCIANA M. R. ALENCAR; JEANLEX S. SOUSA; BRUNO A. M. ROCHA; MARCIO V. RAMOS. Proteomic analysis and purification of an unusual germin-like protein with proteolytic activity in the latex of *Thevetia peruviana*. **Plant**, 2016.

FREITAS, C. D. T.; LOPES, J. L. S.; BELTRAMINI, L. M.; OLIVEIRA, R. S. B.; OLIVEIRA, J. T. A. Osmotin from *Calotropis procera* latex: New insights into structure and antifungal properties. **Bochimica et Biophysica Acta (BBA)- Biomembranes**, v. 1808, n. 10, p. 2501-2507, 2011.

FREITAS, C. D. T.; OLIVEIRA, J. S.; MIRANDA, M. R. A.; MACEDO, N. M. R.; SALES, M. P.; VILLAS-BOAS L. A.; RAMOS, M. V. Enzymatic activities and protein profile of latex from *Calotropis procera*. **Plant Physiology and Biochemistry**, v. 45, p. 781-789, 2007.

GASKELL, S. J. Electrospray: Principles and Practice. **Journal of Mass Spectrometry, Chichester**, v. 32, n. 7, p. 677-688, Jul 1997.

GEBHARDT, R. In vitro screening of plant extracts and phytopharmaceuticals: Novel approaches for the elucidation of active compounds and their mechanisms. **Planta medica**, v. 66, n. 2, p. 99-105, 2000.

GEETHA, T; VARALAKSHMI P. Anticomplement activity of triterpenes from *Crataeva nurvala* stem bark in adjuvant arthritis in rats. **General Pharmacology**, v. 32, n. 4, p. 495–497, 1999.

GUERRA, MO; PETERS VM. Screening for reproductive toxicity in rats for a decoction of *Himatanthus sucuuba* stem bark. **Journal Ethnopharmacology**, n. 34, p. 195-199, 1991.

GUNTER, R., HANS, P.S., FRIEDRICH, D., PETER, L. Activation and inactivation of human factor X by proteases derived from *Ficus carica*. **Bristish Journal Haematology**, n. 119, p. 1042–1051, 2002.

HAGEL, JILLIAN M.; EDWARD C.; YEUNG; PETER J. FACCHINI. Got milk? The secret life of laticifers. **Trends in Plant Science**, v. 13, n. 12, p. 631–639, 2008.

HASHEM, SEYYED ABBAS; MADANI, SEYYED ABDOLLAH; FAZLI, MEHRAN ABEDIANKENARI, SAIED. *Ficus Carica* Latex; a Review with Focus on Cancer. **Annals of Advanced Sciences**, v. 1, n. 1, 2017.

HARTREE, E. F. Determination of protein: A modification of the lowry method that gives a linear photometric response. **Analytical Biochemistry**, v. 48, n. 2, p. 422-427, 1972.

HAVANAPAN, PHATTARA-ORN; APICHLAI BOURCHOOKARN; ALBERT KETTERMAN; CHARTCHAI KRITTANAI. Comparative proteome analysis of rubber latex serum from pathogenic fungi tolerant and susceptible rubber tree (*Hevea brasiliensis*). **Journal of Proteome**, n. 131, p. 82-92, 2016.

HEIN, M. Y. et al. Chapter 1 - Proteomic Analysis of Cellular Systems. In: Walhout, A. J. M., Vidal, M. Handbook of Systems Biology. San Diego: Academic Press, p. 3-25, 2013.

HERCULANO, RONDINELLI DONIZETTI; TZU, LEE CHEN; SILVA, CECILIA PEREIRA; BRUNELLO, CARLOS ALBERTO; QUEIROZ, ÁLVARO ANTÔNIO ALENCAR DE QUEIROZ; KINOSHITA, ANGELA; GRAEFF, CARLOS FREDERICO DE OLIVEIRA GRAEFF. Nitric Oxide Release Using Natural Rubber Latex as Matrix. **Materials Research**, v. 14, n. 3, p. 355-359, 2011.

HOU, JINGYU. New Approaches of Protein Function Prediction from Protein Interaction Networks. **Academic Press**, p. 124, 2017.

JOHNSON, J. R., B. G. COBB, AND M. C. DREW. 1994. Hypoxic induction of anoxia tolerance in roots of Adh1 null Zea mays. **Plant Physiology**, n. 105, p. 61–67, 1994.

KANEDA, Y; TORII M; TANAKA T; AIKAWA, M. In vitro effects of berberine sulphate on the growth and structure of Entamoeba histolytica, Giardia lamblia and Trichomonas vaginalis. **Annales Tropical Medicine and Parasitology**, 85, n. 4, p. 417-25, 1991.

KARUPPANAPANDIAN, T; JUN-CHEOL MOON; CHANGSOO KIM; KUMARIAH, MANOHARAN; WOOK, KIM. Reactive oxygen species in plants: their generation, signal transduction, and scavenging mechanisms. **Australian Journal of Crop Science**, v.5, n. 6, p.709-725, 2011.

KEKWICK, R. G. O. Látex and Laticifers. **Encyclopedia of Life Sciences**, p.1-6, 2001.

KINNULA, V.L; CRAPO, J. D; KO, RAIPIO. Generation and disposal of reactive oxygen metabolites in the lung. **Laboratory Investigation**, v.73, n.1, p.3-19, 1995.

KIMMERER. THOMAS W; MARY A. STRINGER. Alcohol Dehydrogenase and Ethanol in the Stems of Trees EVIDENCE FOR ANAEROBIC METABOLISM IN THE VASCULAR CAMBIUM. **Plant Physiology**, n. 87, p. 693-697, 1988.

KITAJIMA, SAKIHITO; KENJI MIURA; WATARU AOKI; KATSUYUKI T. AMATO; TOKI TAIRA; RYUTA MURAKAMI; SHUNSUKE ABURAYA. Transcriptome and proteome analyses provide insight into laticifers defense of *Euphorbia tirucalli* against pests. **Plant Physiology and Biochemistry**. n. 108, p. 434-446, 2016.

KUMAR, V. L.; BASU, N. Anti-inflammatory activity of the latex of *Calotropis procera*. **Journal of Ethnopharmacology**, v.44, p.123–125, 1994.

KUMAR VIJAY L.; B. GURUPRASAD; SYED MERAJ A. FATMI 1 & PRIYANKA CHAUDHARY; NYLANE MARIA NUNES ALENCAR; JOSÉ VITOR MOREIRA LIMA-FILHO; MÁRCIO VIANA RAMOS. In Vivo Efficacy of Latex from *Calotropis procera* in Ameliorating Fever—Biochemical Characteristics and Plausible Mechanism **Applied Biochemistry Biotechnology**, 2017.

LAEMMLI, U. K. Cleavage of structural proteins during the assembly of the head of bacteriophage T4. **Nature**, n.224, p. 680-685, 1970.

LARROSA, C. R. R.; M. R. DUART. Contribuição ao estudo anatômico do caule de *Himatanthus sucuuba* (Spruce ex Müll. Arg.) Woodson, Apocynaceae. **Revista Brasileira de Farmacognosia**, 15 (2), p. 110-114, 2005.

LEHNINGER, DAVID NELSON; MICHAEL M. COX. **Princípios de Bioquímica de Leninger**. 5^a edição, Ed. Sarvier, p. 183-185, 2011.

LEMOS, O.L.; FERREIRA, L. A.M.; CARDOSO, V. N.; CASSALI, G.D.; SALAS, C.E.; LOPES, M.T.P. Skin-healing activity and toxicological evaluation of a proteinase fraction *Carica candamarcensis*. **European Journal Dermatology**, v. 21, n. 5, p.722-730, 2011.

LI DEJUN, YAN JIE, DENG ZHI, CHEN CHUNLIU, HE PENG, WU MIN, CHEN SHOUCAI. Evaluation of Three Methods For Protein Extraction Suitable for 2-DE of *Hevea brasiliensis* C-serum. **Chinese Agricultural Science Bulletin**, v. 26, n. 16, p. 273-279, 2009.

LYNN, K. R.; CLEVETTE-RADFORD, N. A. Acid phosphatase from latices of Euphorbiaceae. **Phytochemistry**, v. 26, p. 655-657, 1987.

MAHLBERG, P. G. Laticifers: An historical perspective. **Botanical Review**, n. 59, p. 1-23, 1993.

MANN, M.; HENDRICKSON, R. C.; PANDEY, A. Analysis of proteins and proteomes by mass spectrometry. **Annual Review of Biochemistry**, Palo Alto, v. 70, n 1, p. 437-473, Jul 2001.

METCALF, C.R. Distribution of latex in the plant kingdom. **Economic Botany**, v. 21, n. 2, p. 115-127, 1967.

MELLO, V. J.; GOMES, M. T. R.; LEMOS, F. O.; DELFINO, J. L.; ANDRADE, S. P.; LOPES, M. T. P.; SALAS, C. E. The gastric ulcer protective and healing role of cisteine proteinases from *Carica candamarcensis*. **Phytomedicine**, n. 15, p. 237-244, 2008.

MENDONÇA, RICARDO JOSÉ; VANESSA BEATRIZ MAURICIO; LARISSA DE BERTOLLI TEIXXEIRA; JOÃO JOSÉ LACHAT AND JOAQUIM COUTINHO-NETO. Increase vascular permeability, angiogenesis and wound healing induced by the sérum of natural latex of the rubber tree *Hevea brasiliensis*. **Phytotherapy Research**, v. 24, p. 764-768, 2010.

MO, SHUNYAN; LINLIN DONG; W. JEFFREY HURST; RICHARD B. VAN BREEMEN. Quantitative analysis of phytosterols in edible oils using APCI liquid chromatography-tandem mass spectrometry. **Lipids**, v. 48, n. 9, p. 949–956, 2013.

MORCELLE, S.R.; CAFFINI, N.O.; PRIOLO, C.N. Proteolytic properties of *Funastrum clausum* latex. **Fitoterapia** v.75, p. 480-493, 2004.

MURUGAN, V; INANDAR JA. Organographic distribution , structure and ontogeny of laticifers in *Plumeria alba* Linn. **Proceeding: Plant Sciencis**, v. 97, p. 25-31, 1987.

NAWROT, ROBERT; ANDRZEJJ KALINOWSKI; ANNA GOZDZICKA-JOZEFIAK. Proteomic analysis of *Chelidonium majus* Milk sap using two-dimensional gel electrophoresis and tandem mass spectrometry. **Phytochemistry**, v. 68, n. 12, p 1612-1622, 2007.

NAWROT, ROBERT; RICO LIPPMANN; ANDREA MATROS; OSKAR MUSIDLAK; GRZEGORZ NOWICKI; HANS-PETER MOCK. Proteomic comparison of *Chelidonium majus* L. latex in different phases of plant development. **Plant Physiology and Biochemistry**, n. 112, p. 312-325, 2017.

NAWROT, ROBERT; JAKUB BARYLSKI; RICO LIPPMANN; LOTHAR ALTSCHMIED; HANS-PETER MOCK. Combination of transcriptomic and proteomic approaches helps to unravel the protein composition of *Chelidonium majus* L. milky sap. **Planta**, v. 244 n. 5, p.1055–1064, 2016.

NGUEMFO, E. L.; DIMO, T; DONGMO, A. B.; AZEBAZE, A. G.; ALAOUI, K.; ASONGALEM, A. E. Anti-oxidative and anti-inflammatory activities of some isolated constituents from the stem bark of *Allanblackia monticola Staner* L.C (Guttiferae). **Inflammopharmacology**, v. 17, n. 1, p. 37–41, 2009.

OSONIYI, O.; ONAJOBI, F. Coagulant and anticoagulant activities in *Jatropha curcas* latex. **Journal Ethnopharmacology**, v. 89, n. 1, p. 101-105, 2003.

PELENOVA BIOTECNLOGIA, 2017. Látex de seringueira. Disponível em: <<http://www.pelenova.com.br>>. Acesso em 14 de jan. 2017.

PICKARD, W. F. Laticifer and secretory ducts: two other tube systems in plants. **New Phytologist**, v. 177, nn. 4, p. 877-888, 2008.

PLUMEL, M.M. Le genre *Himatanthus* (Apocynaceae) révision taxonomique. **Bradea** 5: p. 1-118, 1991.

POMASTOWSKI, P.; BUSZEWSKI, B. Two-dimensional gel electrophoresis in the light of new developments. **Trends in Analytical Chemistry, Amsterdam**, v. 53, p. 167-177, Jan 2014.

POSCH, ANTON; ZHIPING, CHEN; COLIN WHEELER; MIKE J. DUNN; MONIKA RAULF-HEIMSOTH; XAVIER BAUR. Characterization and identification of latex allergens by two-dimensional electrophoresis and protein micro sequencing. **J. Allergy Clin Immunol**, v. 99, n. 3, p. 385-395, 1997.

RACKOVA, L.; MAJEKOVA, M.; KOST'ALOVA, D.; STEFEK, M. Antiradical and antioxidant activities of alkaloids isolated from *Mahonia aquifolium*. Structural aspects. **Bioorganic Medicinal Chemistry**, v.12, n. 17, p. 4709-4715, 2004.

RAJESH, R. A.; NATARUJU, C. D. R. GOWDA. B. M.; FREY, F. J.; FREY, B. S. V. Purification and characterization of a 34-KDa, heat stable glycoprotein from *Synadenium grantii* latex: action on human fibrinogen and fibrin clot. **Biochimie**, v. 88, n. 10, p. 1313-1322, 2006.

RAJESH, R.A.; C.D. RAGHAVENDRA GOWDA; A. NATARAJU; B.L. DHANANJAYA; K. KEMPARAJU; B.S. VISHWANATH. Protocoagulant activity of *Calotropis gigantean* latex associated with fibrin (ogen)olytic activity. **Toxicon**, v. 46, p. 84-92, 2005.

RAMJIAWAN, RAKESH R.; GRIFFIOEN, ARJAN W.; DUDA, DAN G. Anti-angiogenesis for cancer revisited: Is there a role for combinations with immunotherapy? **Angiogenesis**, v.20, n. 2, p.185–204, 2017.

RASKOVIC, BRANKICA; OLGA BOZOVIC; RADIVOJJE PRODANOVIC; VESNA NIKETIC and NATALIJA POLOVIC. Identification, purification and Characterization of a novel collagenolytic serine protease from fig (*Ficus carica* var. Brown Turkey) latex. **Journal of Bioscience and Bioengineering**, v. 118, n. 6, p. 622-627, 2014.

RODRIGUES SILAS P.; JOSE A AVENTURA; CLEMENTE AGUILAR; ERNESTO S. NAKAYASU; HYUNG WON CHOI; TIAGO J. P. SOBREIRA; LILIAN NOHARA; LUCIANA S. WERMELINGER; IGOR C. ALMEIDA; RUSSOLINA B. ZINGALI; PATRICIA M. B. FERNANDES. Label-free quantitative proteomics reveals differentially regulated proteins in latex of sticky diseased *Carica papaya* L. plants. **Journal of Proteomics**, n. 75, p. 3191-3198, 2012.

SALEEM, MOHAMMAD. Lupeol, A Novel Anti-inflammatory and Anti-cancer Dietary Triterpene. **Cancer Lett**, v. 28, n. 285(2), p. 109–115, 2009.

SASAKI, YUKIKO; KONISHI, TOMOKAZU; NAGANO, YUKIO. The Compartmentation of Acetyl-Coenzyme A Carboxylase in Plants. **Plant Physiology**, n. 108, p. 445-449, 1995.

SASAKI, YUKIKO; NAGANO, YUKIO. Plant acetyl-CoA carboxylase: structure, biosynthesis, regulation, and gene manipulation for plant breeding. **Bioscience Biotechnology Biochemistry**, v. 68, n. 6, p. 1175-84, 2004.

SETHURAJ, M. R. Natural Rubber, Biology, Cultivation and Technology. Elsevier Science. **Netherlands**, 1992.

SEUNG JUNE OH; JEONGYOON KANG; JEONG YUN JEONG; KYUNG HOON LEE; SUNG JOON KIM; YOUNG SHIN CHUNG; EUN KYUNG HONG; KWANG MYUNG KIM, Pharmacological Effects of Berberine and Palmatine on the Prostatic and Urethral Smooth Muscle of the Rabbit. Fundamental Science for Neurourology. **Journal of the Korean Continence Society**, v.6, n. 2, p. 62-71, 2002.

SIDDIQUE, HIFZUR RAHMAN; MOHAMMAD, SALEEM. Beneficial health effects of lupeol triterpene: A review of preclinical studies. **Life Sciences**, v. 88, n. 7–8, p. 285–293, Fevereiro, 2011.

SILVA, JRA; AMARAL, A. C. F; SIANI AC; REZENDE CM; FELCMAN J; PINTO AC. Contribution to the study of *Himanthanthus sucuuba*: latex macromolecules, microelements and carbohydrates. **Acta Amazonica**, n. 33, p. 105–10, 2003.

SINGH, PAYAL; DEEPIKA, ARORA; YOGESHWER, SHUKLA. Enhanced chemoprevention by the combined treatment of pterostilbene and lupeol in B[a]P-induced mouse skin tumorigenesis. **Food and Chemical Toxicology**, v. 99, p. 182-189, 2017.

SINGH, MAHESHWARI KUMARI; R. USHA; K. R. HITHA SHREE. O. BINDHU. Hemostatic potential of latex protease from *Tabernaemontana divaricata* (L.) R. Br. ex. Roem. and Schult. And *Artocarpus altilis* (Parkinson ex. F. A. Zorn) Forberg. **Journal Thrombosis and Thrombolysis**, v. 39, n. 1, p. 43-49, 2015.

SIRITAPETAWEE, JARUWAN; PUNCHAPAT SOJIKUL; SOMPONG KLAYNONGSRUANG. Biochemical characterization of a new glycosylated protease from *Euphorbia cf. lactea* latex. **Plant Physiology and Biochemistry**, n. 92, p. 30-38, 2015.

SIRITAPETAWEE, J; LIMPHIRAT, W.; KANTACHOT, C.; KONGMARK, C. The effects of metal ions in *Euphorbia cf. lactea* latex on the fibrinogenolytic activity of a plant protease. **Applied Biochemistry and Biotechnology**, v. 175, n.1, p. 232-242, 2015.

SIRITAPETAWEE, J; TALABNIN C; VANICHTANANKUL J; SONGSIRIRITTHIGUL C; THUMANU K; CHEN C. J; KOMANASIN N. Characterization o the binding of a glycosylated serine protease from *Euphorbia cf. lactea* latex to human fibrinogen. **Biotechnology Applied Biochemistry**. 2017.

SHIVAPRASAD, H. V.; M. RIAZ; R. VENKATESH KUMAR; K. K. DHARMAPPA; SHAISTA TARANNUM; J. M. SIDDESHA; R. RAESH; B. S. VISHWANATH. Cysteine proteases from the Asclepiadaceae plants latex exhibited thrombin and plasmin like activities. **Journal Thrombosis Thrombolysis**, n. 28, p. 304-308, 2009.

SHIRWAIKAR, A; ARAJENDRAN, K, PUNITHA IS. In vitro antioxidant studies on the benzyl tetra isoquinoline alkaloid berberine. **Biological and Pharmacetical Bulletin**, v. 29, n.9, p. 1906-1910, 2006.

SRIVASTAVA, AMIT KUMAR; SANJAY, MISHRA; WAHID ALI; YOGESHWER, SHUKLA. Protective effects of lupeol against mancozeb-induced genotoxicity in cultured human lymphocytes. **Phytomedicine**, v. 23, n. 7, p. 714-724, 2016.

SONKAR, KIRTI SHILA; MANENDRA PACHAURI; AMIT KUMAR; ANKITA SHURLA; MONIKA PATEL. Heme-peroxidase from medicinal plant *Artocarpus lakoocha*: Purification, characterization and wound healing studies. **Biocatalysis and Agricultural Biotechnology**, v. 4, p. 180-190, 2015.

SUFFREDINI IB, DALY DC. O Rio Negro como Cenário na Busca de Novos Medicamentos. **In Florestas do Rio Negro**, p. 257-281, 2004.

TANAKA, K.; WAKI, H.; IDO, Y.; AKITA, S.; YOSHIDA, Y.; YOSHIDA, T.; MATSUO, T. Protein and polymer analyses up to m/z 100 000 by laser ionization time-of-flight mass spectrometry. **Rapid Communications in Mass Spectrometry**, London, v. 2, n. 8, p. 151-153, Aug 1988.

THANKAMMA, L. Hevea latex as wound healer and pain killer. **Current Science**, v. 84, n. 8, p. 971–972, 2003.

THOMPSON, J.J.; Rays of Positive Electricity and their Application to Chemical Analysis. London: Longmans, **Green and Co. Ltd.**, 1913.

TRONCOSO-PONCE, MANUEL ADRIAN; KRISZTINA NIKOVICS; CHLOE MARCHIVE; LOIC LEPINIEC; SEBASTIEN BAUD. New insights on the organization and regulation of the fatty acid biosynthetic network in the model higher plant *Arabidopsis thaliana*. **Biochimie**, n. 120, p. 3–8, 2016.

TSAI, FS; LIN, LW; WU, CR. Lupeol and Its Role in Chronic Diseases. **Advances in Experimental Medicine Biology**, v. 929, p.145-175, 2016.

VALKO, M; LEIBFRITZ, D; MONCOL J; CRONIN, M. T; MAZUR M, TELSER J. Free radicals and antioxidants in normal physiological functions and human disease. **International Journal of Biochemistry & Cell Biology**, v.39, p.44-84, 2007.

VASCONCELOS, JF; TEIXEIRA MM; BARBOSA-FILHO JM; LÚCIO AS; ALMEIDA JR; DE QUEIROZ LP. The triterpenoid lupeol attenuates allergic airway inflammation in a murine model. **International Immunopharmacology**, n. 8, p. 1216–1221, 2008.

VILLEGRAS, I. F.; FERNANDEZ, I. D.; MALDONADO, R. TORRES, A. ZAVALETA, A. J. Evaluation of the wound healing activity of selected traditional medicinal plants from Perú. **Journal Etnopharmacol**, n. 55, p. 193-200, 1997.

WAHLER DANIELA; THOMAS COLGY; NATALIE A. KOWALSKI; ANNAER HARZEN; SANDRAY. WOTZKA; ANDREA HILLEBRAND; RAINER FISCHER; JOHANNES, JURGEN SCHMIDT; CHRISTIAN SCHULZE GRONOVER and DIRK PRÜFER. Proteomic analysis of latex from the rubber-producing plant *Taraxacum brevicorniculatum*. **Proteomic**, n. 12, p 901-905, 2012.

WANG, XUCHU; MINJING, SHI; XIULI, LU; RUIFENG ,MA; CHENGGONG, WU; ANPING GUO; MING PENG; WEIMIN TIAN A method for protein extraction from different subcellular fractions of laticifer latex in *Hevea brasiliensis* compatible with 2-DE and MS. **Proteome Science**, v. 8, n. 35, 2010.

YANG, SONG; MENG-MENG DING; FANG CHEN; YING XU. Proteomic analysis of latex from *Jatropha curcas* L. stems and comparison of two classic proteomic sample isolation methods: The phenol extraction and the TCA/acetone extraction. Electronic **Journal of Biotechnology**, n. 27, p. 14–24, 2017.

ZHIYOU CAI; CHUANLING WANG; WENMING YANG. Role of berberine in lzheimer's disease **Neuropsychiatr Dis Treat**, n. 12, p. 2509–2520, 2016.

ANEXOS

ANEXO 01

Sequencias FASTA obtidas a partir dos peptídeos das proteínas por MS/MS

>gi|743891207|ref|XP_011039282.1| PREDICTED: tetrahydrocannabinolic acid synthase-like [*Populus euphratica*]

MERSSFSLRLLLLILLVSLARSENSSSAHKMFLQCFSSHMQHSKSYS
EVILTKNSAYSSVLQSSFRNFR
FLNTSTLKPQFIITPFNEFEIQAAIVCAKKYDIQIRVRSGGHDYEGLSFLSYQEFL
VLIIDLAEFSISVDI
ENETAWVGAGASTGELYYRIAEKSEVHAFPAGSCPTVGVGGHFSGGGFTIFRK
YGLAADNVIDARIVDA
NGRILDRESMGEDLFWAIRGGGAASFVVFSWKVRLVSVPPVTVFNI
EKTLOQQATNLHWQNIGDKL
HEDLFLHATIAVATSSPHGNKTIQVSFASLFLGRAGELLPM
MQDSFPELGLMSENCSEMSWIQS
VLYFGG
FSPSDSDLVLLSRTAQFKGFFKGKSDYVKEPISETGLEGLYKRL
EEEASTLILTPYGGMSG
ISDSETP
FPHRSGNIFEIQYIITWDVEEETEKNLKWMRKLYAYMAPYV
SDSPRAAYLN
YRDLDLGRNNYGNTSF
AKA
SVWGLKYFKNNFKRLARVKTATDPSNFFRNEQSIPV
LQRKRN
LK

>AGL44335.1 FAD-dependent oxidoreductase [*Papaver somniferum*]

MNMIRSTTQSSSLILLYAFILL
SISLVTSS
SEYEDDYNFLQCLS
QHSDPSILTYTSKDSNFSSVL
FSTI
QSLRFYSPAIRKPRVIVTPLKESHVQAS
VICSKRHGFQIRVRSGGH
DYEGLSYV
SDVPFVV
VVDLSN
LRSI
KIDVENSTAW
VESGAITGELY
YRIA
EKSRNL
GFP
SVFC
PTVG
VGG
SFQGG
GYGN
MLRK
YGLAADNVIDAR
IVDAQGRVLDK
ESMGEDLFWAIR
RG
GG
MSFG
IVV
SWK
IRL
VY
VPT
NVT
VFT
INK
NLDQ
GAT
KL
VHR
WQEVA
SEL
PHE
LF
V
RV
S
IS
VV
N
TT
K
EG
Q
KT
I
L
AS
F
PS
LY
LG
NT
EN
LL
AV
MK
ER
F
PEL
G
LET
KD
CA
EM
TW
I
SQL
Y
ING
FP
V
NG
S
LD
I
LL
SR
N
Q
V
K
RY
A
K
I
K
SD
Y
V
KE
P
I
P
ET
G
LE
GL
W
K
K
I
L
E
E
K
S
V
A
RM
N
F
S
P
N
G
G
R
M
A
E
I
S
CE
I
P
F
P
H
R
Q
G
N
L
Y
S
I
Q
Y
V
V
G
W
E
G
A
G
S
E
A
E
P
H
I
R
W
M
R
E
L
H
E
Y
M
T
P
Y
V
S
I
S
P
R
E
A
Y
L
N
Y
R
D
I
D
V
G
Q
S
I
N
G
T
A
T
Y
L
E
G
M
V
W
G
S
K
Y
F
K
N
N
Y
E
R
L
V
Q
V
K
S
K
V
D
P
E
N
F
R
N
E
Q
S
I
P
P
L
V
E
Q
E

>gi|30315245|gb|AAP30841.1| nectarin 5, partial [*Nicotiana langsdorffii* x *Nicotiana sanderae*]

YEGLSYVSEDPFVL
IDLV
GHRN
ITIN
LDDK
TA
W
V
ET
G
S
T
I
G
E
L
Y
K
I
S
K
K
S
K
T
L
G
F
P
A
G
L
C
P
T
V
G
G
H
I
SGGG
TG
V
M
LR
KYGLAADNVIDAR
L
MD
A
N
G
R
I
L
D
R
KSMGEDLFWAIR
RG
GG
G
N
T
F
G
L
V
L
A
W
K
I
L
V
D
V
P
E
K
V
I
V
F
T
I
D
K
T
L
E
Q
N
A
T
K
L
V
H
K
W
Q
Y
V
S
S
K
L
H
Q
D
L
Y
I
R
I
F
I
H
D
E
Q
N
I
F
L
A
S
F
V
S
I
F
L
G
D
I
D
R
L
L
I
M
Q
E
N
F
P
E
L
G
L
V
R
E
N
C
I
E
M
S
W
I
E
S
T
L
Y
F
A
G
F
P
R
G
E
S
L
D
V
L
R
S
R
G
L
P
P
T
L
Y
S
E
A
K
A
D
Y
V
Q
K
P
I
S
V
Q
Q
L
E
G
I
W
D
F
F
N
A
G
E
A
K
F
E
Q
M
I
F
T
P
Y
G
G
R
M
D
E
I
S
E
Y
E
L
P
F
P
H
R
P
G
N
L
Y
E
I
Q
Y
L
M
F
W
D
E
E
G
V
E
E
A
E
R
H
M
R
W
M
R
R
L
Y
A
H
M
E
P
L
V
S
T
S
P
R
A
A
Y
I
N
Y
R
D
L
I
G
V
N
N
K
G
N
T
S
Y
A
Q
A
K
V
W
G
I
K
Y
F
K
N
N
F
D
R
L
V
Q
V
K
T
K
V
D
P
S
N
V
F
R
N
E
Q
S
I
P
P
L
V
E
Q
E

>gi|747046464|ref|XP_011099776.1| PREDICTED: tetrahydrocannabinolic acid synthase-like [*Sesamum indicum*]

MKTRTVVHMPSLVLSSCLVFLACTVFAHQAPHKFLHCVQSHNSESISQVIYSKNNSYLSNLFSIQNI
 RFISPSMPKPAFIVIPFTESQIQAQAVVLCASKASGLQVRVRCGGHDYEGLSYSSHVPFFVIIDLRLNLSIRID
 AKKRAVWVEGGALLGNLSYQIAKRSGNLAYPNGLCPTVGVGHHFSGGGYGTLLRKYGLAADNVLDARIIN
 ANGEILDRKSMGEDLFWAIRGGGAASFGVVTAWKIRLVKVPDIVTVFTVNRTLEQNATDLVHRWQYVADK
 FDRDLFVRLVTRVNSSHKEKTTVQAAFNSIFLGKIDRLLPLMQESFPELGLVQEDCKEKRWIEAVLYF
 SDLPDGSTLDDLTNRNPNPKTYYKAKSDFVQVPIPKHGLKGLWKFDEDEAADAQLIFAPYGGRMSEIPE
 SQIPFPHRAGNIYEIQHLAYWDNERNKQAERYINWLRLYEYLTPFVSKNPRAAYINYRDLDLGNNNDGN
 TSYKQASVWGTQYFKNNFKRLVEVKSKVDPNSFFRNEQSIPILST

>gi|848927876|ref|XP_012827618.1| PREDICTED: cannabidiolic acid synthase-like [*Erythranthe guttata*]

MKTPSISTLSFILFVIFSCSCASVSADGHEDFLECLSEEFHNYPSISNVTYTPINNSSSYSSILFSIQN
 LRFTSESTPKPLVIITPEHESQIPPIIHCAKDSEVQIRTRSGGHDYEGLSYVSPVPFIIDLINFSEITV
 DAVNKTAWVESGSTIGSLYYRIAEKSPVLGFPAGVCPTVGVGHHFSGGGYGNLLRKYGLAADNVIDARLI
 DVNGRILDRQSMGEDLFWAIRGGGASFGVILAWKVQLVDVPERVTVFTVQKTLTQNASRLIHRWQYVAS
 KFDEDLFIRIIIARANSSSQGGNNVTLNASFNSIFLGGVDRLLPMMQESFPELGLVREDCTEMSWIES
 ILYFDGFPIENREVLLRTQRSVRYFKAKSDYVQTPIPEFALEGIWRLFFEPADEAVVIFSPYGGRMDE
 VPESSIPFPHRAGNLYKIQHLYWEKEEDQNSGRYLSWIRRLYGYVAPYVSRFPRAAYINYRDLDIGMNR
 NEGRTSYAEANVWGMKYFKGNFERLVRVKTMDPRNFFRNEQSIPSLREEIDD

>gi|848927873|ref|XP_012827617.1| PREDICTED: tetrahydrocannabinolic acid synthase-like [*Erythranthe guttata*]

MGNFAVVVISILFILSISCLISDETKYQTFIQCISDHSSGQNKIQRIHTPNSPAYVSLLESAAQNPRWT
 NSTAQRPFLIAAPHRAEIRAVILCSKMFGHQIRVKSGGHDYEGLSFRSETPLSFIMVDLSNLNRTKIDL
 EEEIAWIQTGVKLGQLYYEIANKSSTLAFPGGLYPTVGSGGHISGGGLGLMRKYGIAADNVLDARVMDA
 NGVTLDRESMGEDLFWAIRGGGASFCVILAWKLKLVRVPEKLTVFTVRRKFEPENLHLLQKWQNTAHKV
 SKDLFIRILLQTAPKKDTSLEKLVAVGYNGLFLGPADEFVSYMETIFPEFDLKIEDCFSAPAGNYSCSDR
 PCIKECFQVPWIKSVLYFAGKKLDDPPEILLQQRVNKHSYSKGTSDFLKSIPDEGWKMIHKMFNTDDH
 QMMIMDPLGGKIDEIWEDEIPFPHRKGNLFNVQYLYWEVNTNESSKHIKWMRNLHKKMKPYVAQSPRT
 AYINYKDLDLGRNDENCSYSRAKIWGEKYFKGNFKRLARVKGKVDPDNFFRNEQSIPVLL

>gi|1009123039|ref|XP_015878332.1| PREDICTED: tetrahydrocannabinolic acid synthase-like [*Ziziphus jujuba*]

MFCSKSSLNFLFMVLLQSEISLAISTDSTLDKFITCAQVHSSVTIPISKTFNPKNSSYTSVLQNPBVNL
 RFIEPSVRKPEFIFTPLHDHVQAAVICSKQLGIQIRIRSGGHDYEGVSYSVFETRFIVVDIGNLRSII
 VDIEKSSAWVQAGATNGEVYYRIAEKSKIHYAPAGACTSLGIGGHITGGGYGSLHRKYGLAADNVIDARI
 VDANGRILDREAMGEDLFWAIRGGGGASFGIILWWKIKLVPVPETVTFTKTLEEGATKLLYRWQQVA
 DVKDEDLLIRVLISPSNVSSTRTISTTYDGFFLGNSDRLLQVIQESFPELGVTRKDCVELDWIGSVMYLS
 NNPSGTSVEFLLQRKSVFRDYFKAKSDFVRDPIPETALEGIWKLLEEDSPVVLSPYGGKMSKISESET
 PFPHRSGTIFIFEYMTVWTGEKGTEHKHGIRKLYGYLTPYVSKFPREAYVNRYDFDLGVNKNSNTSYI
 EASVWGKKYFKNNFDRLVKVKTDEVDPDNFFRHEQSIPPLPVWKN

>gi|1040819157|ref|XP_017239542.1| PREDICTED: tetrahydrocannabinolic acid synthase-like [*Daucus carota subsp. sativus*]

MATSSILCSFILLIVFSSFSLQTSASFQRTSGDSAQRFVQCLTRYAKNSESITQVVFTPANASYNPILQ
 LNLQNLRFNTSGTRKPLAIVTPVEDTQVQAVIYCARKNSMNVRGGGHDFEGVSYTADVPFVLLDMINY
 NRVNIDLKTSTAWVQSGISLGEGFYKISQTSVDLAFPAGLVSTVGLTGLLGGGGYGMKRKYALAADNTL
 DARIVDYNGKILDRAKSMGEDLFWAIRGGDPASFCVILELKQLQVPVKLVTYFAVQRTLEQNGSALFQKW
 QSTAVNVFPRLDVRVVDTITSNSSAREDKKTVRFIFQSLYLGKIDTLLPIMKEYFPELGLVREDCVET
 SWIKTAPMFSFPVGTDPKILLNKATPRNPVKIKSSFTTQPISLEGLNGIWDLWLQPVQTTLIQYTPF
 GGKMNEFAESALPFHRPGVLYMINIAVTLQNAEATLQWINDLFKYYTPYVTKNPRTSYVNRYRADLGT
 GSPTYQEASIWGRKYYKNNFDRLVKIKSVVDPQNFFNHKQSIPLLM

>gi|970039800|ref|XP_015081242.1| PREDICTED: tetrahydrocannabinolic acid synthase-like [*Solanum pennellii*]

MEKYFQFLPFLQKYQKTYTFSKITNIFYLLQYGQKNPRWLNSSSSHPIFIITPINESGIGAIIFCSQKFG
 IQIRVNSGGHDYEGLSFRFEKGERFVIVDLIKLDEIYTDKNEQTAWIQTGVTIGQFYYEIAKKGENLAFF
 GGLYPSVGSKKISGGGIGTLMRKFGLSADNVLDARVMNVNGEILDRESMGEDLFWAIRGGGSSFCVIL
 AWKVKLVRVPLKLTVFTVRKKLHGETINLLQRWQNVSHLSRDLFIRVLIQNMGIGSKKIVQVSFQGLFL
 GRMNELLPMLNQTFPEFGLVTKDCFQDPVVNCIAELPCIKKECFEV

>gi|460393282|ref|XP_004242239.1| PREDICTED: cannabidiolic acid synthase-like [*Solanum lycopersicum*]

MKISWFSFIFVLLVLSSASWSTLADNHEEFIQCLSHNNQTSSNIYTPNNSSFQSILQFSIQNLRFNTSET
 PKPLVIVTPVSESEVQRVILCAKKTGMHVRVRGAGHDYEGLSYVSEVPFVIVDLINLRTINVNDKSAW
 VEAGSTIGELYYRIAEKSKTLGFPAGVCPTVGVGHHFSGGGYGVMLRK**YGLAADNIVDARLIDANGRILD**
 RASMGEDLFWAIRGGGGNSFGLVLAWKVKLVDVPEIVTVFTLDKTLEQNATKLVHKWQYVAPRFHQDLFI
 RILVSRLNNSNQGDDNNQQTIVASFNSIFLGGIDRLLPIMQENFPELGLRRACIEMSWIESILYFAGFP
 TDGPLDVLLSRVQLSTRYFKAKSDYVYQPIPEGLDGIWRFFFEDAQSSQVILSPYGRMDEISPSAIP
 FPHRAGNLYKIQHLVYDDEEGERAERHISWIRRYSYMAPFVSKSPRAAYINYRDLDIGVNNIKGYTSY
 VQAKVWGIKYFKNNFDRLVHVTKVDPNSNFRNEQSIPSLTQWKNKGE

>A6P6V9.1 RecName: Full=Cannabidiolic acid synthase; AltName: Full=CBDA synthase; Flags: Precursor
 MKCSTFSFWFVCKIIFFFSFNIQTSIANPRENFLKCFSQYIPNNATNLKVYTQNNPLYMSVLNSTIH
 LRFTSDTPKPLVITPSHVSHIQGTILCSKKVGLQIRTRSGGHDAEGLSYISQVPFIVDLRNMRSIKI
 DVHSQTAWVEAGATLGEVYYWVNEKNENLSAACGYPCTVCAGGHFGGGYGPLMRNYGLAADNIIDAHLV
 NVHGKVLD**RKSMGEDLFWAIR**GGGAESFGIIVAWKIRLVAVPKSTMFSVKKIMEIHELVKLVNKWQNIAY
 KYDKDLMTHFITRNITDNQGKNTAIHTYFSSVFLGGVDSLVDLMNKSFP~~EGLIKTDCRQLSWIDTI~~
 IFYSGVVNYDTDNFNKEILLDRSAGQNGAFKIKLDYVKKPIPESVFVQILEKLYEEDIGAGMYALYPYGG
 IMDEISESAIPFPHRAGILYELWYICSWEKQEDNEKHLNWIRNIYNFMTPYVSKNPRLAYLNYRDLDIGI
 NDPKNPNNTQARIWGEKYFGKNFDRLVVKVTLVDPNNFRNEQSIPPLPRRH

>Q33DQ2.1 RecName: Full=Inactive tetrahydrocannabinolic acid synthase; Flags: Precursor
 MNCSAFSFWFVCKIIFFFSFNIQISIANPQENFLKCFSEYIPNNPANPKFIYTQHDQLYMSVLNSTIQN
 LRFTSDTPKPLVITPSNVSHIQASILCSKKVGLQIRTRSGGHDAEGLSYISQVPFAIVDLRNMHVTKV
 DIHSQTAWVEAGATLGEVYYWINEMNENFSFPGGYCPTVGVGHHFSGGGYGALMRNYGLAADNIIDAHLV
 NVDGKVLD**RKSMGEDLFWAIR**GGGENFGIIAAWKIKLVVVPSKATIFSVKKNMEIHGLVKLFNKWQNIAY
 YKYDKDLMTHFRTRNITDHGKNKTTVHGIFYSSIFLGGVDSLVDLMNKSFP~~EGLIKTDCKELSWIDT~~
 TIFYSGVVNYNTANFKKEILLDRSAGKKTAFSIKLDYVKKLIPETAMVKILEKLYEEVGVMYVLYPYG
 GIMDEISESAIPFPHRAGIMYELWYTATWEKQEDNEKHINWRSVYNFTPYVSQNPRLAYLNYRDLDLG
 KTNPESPNNYTQARIWGEKYFGKNFNRLVKVTKADPNNFFRNEQSIPPLPPHH

13>gi|729294682|ref|XP_010537313.1| PREDICTED: reticuline oxidase-like protein [*Tarenaya hassleriana*]

MAFDTMKGFIPIGFVVCLLVLASDASAVKHDVEGFLGCLPRQASPSSPISGAVYTPKNSSFDVFVSYTKN
 KRFLNPRFTKPVAIVTAQHVSHVPATVVCAKHGLQIRVRSGGHDYEGLSYTSSVPFVI~~LDMFNLRYIDV~~
 DLYSETAWVQAGATMGELYTKIADASKLRAFPAGVCPTLGAGGHISGGGYGNLIRKYGISVDHVV~~DALLV~~
 DVNGRVLNR**TNMGEDLFWAIR**GSGGASFGVILAWKIKLVTVPETVTVFRVNKTLEQGATDVLYKWQLVAS
 KLPEELFLRAMPEVSRGRDG~~NRTIVVLFIAQFLGP~~AENLLAIVNKNLPELGLKRQDCIEMSWLNSTVFWA
 DFPAGTPTTVLLDRPTSPGISFKSKSDYVKRPIPKEGM~~EKM~~WKSMLKFNSLWMQWN~~PYGGVMD~~RIPETST

14>gi|695072053|ref|XP_009383129.1| PREDICTED: reticuline oxidase-like
[*Musa acuminata* subsp. *malaccensis*]

MAESYRHVILLLSCCCCFFVFSFASYPVAPSGFDGVRKLVLCASAGVDNYTVPTADPLISDTSLYYLFLN
FSIQNLRFAPRPGIARPAIAIVLPGNRTHLRSTVLCCRAAGFGVRIRSGGHSYEGLSYSEDSGVAAPFVVV
DLMRLNRVRVDPESRTAWVESGATLG**ETYHAIAASSDSLAFSAGSCPTVGSGHIAAGGFGLLSRKYGLA**
ADNVVDAVLIDADGRVMDRE**SMGEDIFWAIRGGGGGWGAVYAWRIQLLPIPARVTGFIVNRPGSTRLVA**
ELVHKWQLVAPS LPDEFYLSAFVGAGLPELD RVAMSATFKGFYLGPKSEAVSIMARSFPELGLVDTDCHE
TSWIESVLFFSGLPNGSTVSDLKDRILRGKKSFKAKSDFVRIPIKSNLTRAFDILLSQEPKAYLIMDPYG
GAMARI RSDHIPFPHRSGNHYLIQYMIEWTSEEESSEQHLEWIRGYYNHMGDYVSKGPRAAYVNYLDLD
LGTNRWTVMGDLNDRTADARSWGEKYFLANYDRLVRAKTAVDPYDVFNNQAQSIPPNSSEQKDMISRHIA
TEVHIS

15>gi|1040881446|ref|XP_017250456.1| PREDICTED: cannabidiolic acid
synthase-like 1 [*Daucus carota* subsp. *sativus*]

MKAARAPTSLTHFSLVFLSSFHLLFSFSAAEHYPGQAFIQCLIFQSNDIANVVYSPNNASYEQIYEFSL
RNPRLNNSNRLQPQVIVTPVSESQVQAVVRCAQQNHLRIRTRSGGHDFEGLSYSSTYDIPFVLLDMINLR
NVSVNATARTATIGAGATLG**EVYYWIYRASGTLAFPAGVWSTVGATGLICGGGYGVLRKYGFAADNVLN**
VRIVDVYGNILDRE**SMGEDLFWALRGGGCSSFGVVLSELNLVEVPETVAIFNISRTLEQNATQMILPFQ**
TVarNLPEVDLRVLMS TTISNTSRPDNKTVRLSFTSTYLGPADELYKIIDKNLPEIGLLRSDIQDVSW
IQAIMQGSFFPLFDEAPTPEDLLDRTFLADIPFKGKSDFVREP ISEQGINGLWDKLLLEVGPGETTLVFTP
YGGVLDEYLESAIPFPNRNGTLYM VYMRVLWVGNTTQKLEWIRSLYGYLRPYVSRNPRRAYNYNDLDLG
MNNARGPINYITARRWGRSYFNNNFMR LVGVKTRVDPLNFFRHEQSIPPFSLAMVSDM

16>gi|20563190|gb|AAM27915.1|AF364866_1 carbohydrate oxidase [*Helianthus annuus*]

MNNRSRVFLLVLALSFCVSFGALSSIFDVTSTSEDFITCLQSNSNNVTISQLVFTPANTS YIPIWQAAA
DPIRFNKSYIPKPSVIVTPD ETOIQTALLCAKKHGYEFRI RDGGHDFEGNSYTANAPFVML DLVNMR AIE
EINVENRTALVQGGALLGELYYTISQKTDTLYFPAGIWAGVGVSGFLSGGGYGNLLRKYGLGADNVLDI R
FMDVNGNILD RKS**MGEDLFWALRGGGASSFGIVLQWKLNLV**PVPERVTLFSVSYTLEQGATDIFH KYQYV
LPKFDRD LIRVQLNTEYIGNTTQKTVRILFHGIYQGNIDTLLPLL NQSFPELNVTREVCQEVRMVQTTL
EFGGFNISTPTSVLANRSAIPKLSFKGKSDYVRTPIPRSGLRKLWRKM FENDNSQTLFMYTFGGKME EYS
DTAIPYPHRAGVLYQVF KRVDFDQPSDKTLISLRR LAWLRSFDKTLEPYVTSNP REAMNYNDLDLGFD
SAAYEEASEWGERYWKRENFKKLIRIKAKVDPENFFRHPQSIPVFSRPLSDM

17>gi|590614781|ref|XP_007023039.1| FAD-binding Berberine family protein
[*Theobroma cacao*]

MTCIVFKRFLFGTTHSSLNLKFSYKFLHLLAFGIQKTMGSLRPAAVSVLLSISLQGTSDSAQE
TFLQCLLDNSHPSYPISEAIFTPQNPSYSSVLQSSIRNLRFNETFTPKPFLILTAKHESHIQAAIVCARK
DNIQMKIRSGGHDYEGLSYVATVPFFVLDMFNLRSIDVDVANETAWVQTGATLGEVYYRISEKSKTHGFP
AGVCPTVGVGGHFGGGGYGNMMRKYGLSVDNIVDAYFIDVNGLHDKSMGEDIFWAIRGGAAASFGVVL
AYKIKLVRVPETVTVFRVEKTLEENATDIVDQWQHVADKLPEDLFVRLVLDVVNSSRNTGEKTVRAAFIS
LFLGDSERLLSIMNERFPALGLTQSDCIETSWVQSVLFWTNIPIETETAIIIDRTPSSLVFLKRKSDYVK
KPIPKAGLEWLWKRMIELQVPQLLFNPYGRMAEIPSTATPPFHAGNLWKIQYVTNWNEAGTEAADHYI
GLTRKLHGYMTRFVSKNPREAFLNYRDIDLGVNHNGRQSYMEGRVYGIKYFKGNFNRLVQIKTRVDPGNF
FRNEQSIPTLPYKGN

18>gi|1040922945|ref|XP_017223696.1| PREDICTED: flavin-dependent
oxidoreductase FOX2-like [*Daucus carota subsp. sativus*]

MKLPTSFLPLLLLSTFSFSSSATKTDDFLNCLAKSSDSTTISKLVYTPANSTFDAALTYSINNLRFAQA
STPKPLVIVTPPTTESQIQNVIYCTKKTGLEMRIRSGGHSFEGFSYVSSIQFIVLDLRNINKVTPDMSTAT
AWVDSGVTNGELYYYISKATSAYGFPGLWSNVVGIGILSGGGYGMRLRKYGLAGDQVIDARLIDANGRI
LTRKTMGENLFWAIRGGGGSFGVVWSRVNLVPVPIVTFRVFRTLEEDMTNIFYKWQSAPVLPKEL
DIRCNGQVILSNSTRSDKTMQMNFESLYLGPASEVLAIMGERLPELGLVREDLFEVSYIQAMVFFSQF
PIQAPPEIILDKTILPRPAFKGRSDFFKKPMPIEGLLGLWDYMFQLPDNQAFLQYTPYGGRMNEISATAL
PFPYRAGYLYMFNNFAVTCPTREKCAEETARMDWVRTVDKYLTPVTSNPRSAYVNYVNWMQNNPTGS
TSYAQASQWGKRYFGVNFDKLVMIKSLADPFNFFRHEQSIPVFLWSDM

>XP_006367558.1 PREDICTED: glucan endo-1,3-beta-glucosidase A-like [*Solanum tuberosum*]

MSFLSFVGASFLLVGLLIQMTGAQSIGVCYGKIANNLPSDQDVKNLYNSNGIKKMRIYYPDTNVFNALKG
SDIEIILDVPNQDLEALANPSSANGWVQDNIISNFPDVKFKYIAVGNEVDPVKFKYIAVGNEIDPDTNTG
QYTQYVGPAMENVYNALTSAGLQDQINVSTATYLGTTNTYPPSDSIFREEYKSFINPIIEFLARNNLPL
LANIYPYFGHIDNTNDVPLSYALFNDQGNTSAGYQNLFDALLDSMYFATEKLGGQNIEIIIVSESGWPSEG
HPAITLENAQTYTNLINHVKGVGTPKKPGRAIETYLFAMFDENQKDGSSEQHFGLFYPDQRACYQLN
FN

>ANN02876.1 UGT73AL1 [*Punica granatum*]

MANEGETNDTKSTTSKLHFFFPSKGHTIPMIDMAKLFSSRGVKSTLISTPHNEPSFLRSIERTQKLG
FDIGVVTVKLPLEKVGLEHCQILDSTNSPDMINKWMAIRMLDKOLEKLIKEHCPACVITDTFLPWTVD
VAAKFGIPRLAFHGTSFAMCALECTRLYKPHLNISSDSEPFVIPNFPGEITMTRAQLPDFIKEDTEFSK
LYIEMMESELRSYGVIMNSFKELEPVYTDHYRDVLGRRSWRGPVLLCNQDTEDKLQRGTRATIGEDSCL
KWLDSREAGSVVYICFGSRTDFSASQLHEIAEGLEASRQPFWVVKKDESVEEGKEEWLPQGYEERMQGK
GLIIRGWAPQVLILHHKAVSGFVTHCGWNSTLEGITAGVRMVTWPVAAEQFCNEKLITEVLRIGVPVGAK
QWMVKVGDSVESEKVEKAVKRIMIGDEAEEMRVRAIELSKIACKAVEEGSSHSDLTALLES

>EMT60941.1 Hyaluronan synthase 2 [Fusarium oxysporum f. sp. cubense race 4]

MSGKQATVEVSAGVESSSASSDSIKASRFDSASVFDTPVRKPLRINPFSAAINIIIAFGLIAALITYII
 GLRVLDILGITSVGLYGTVLITEYLQLTCAIFNRFIDIRIVKNVRKKTANAQAAGDCEKSASNPSADNLL
 NPDGDVSMAVVGYREDEQAWRQCLRSIQTQTLAPKCVVGVVVDGNDEPDLSMAQAFVDEFQDQKATLHLPI
 ILLSELHRRTYFDHVPADTRFLVKFWHYLVGRYRPGHEAALATAREVVQQVLEEEKWNISSLKAVCF
 AQPHGHKRTAMFTAFAMSLYAFRTRDAIFTTSDSTLVQSNGLDEMILLLRSPQIGGVTAADVKIWNRAES
 LLARMCAARYWFANIERACQSLWRCVGCLSGPMMSMYRASDILETILGPWNLQTFGGKETTFGDDRHLTNQ
 LLAHGLRTRYTHRTWCDSESPTSFVRWVAQQTRWSKSFFRESFWFPASFAYQSPWMLVEMTVQALYPFIL
 IATVLHFLFDTSDFPWRPIIWLVTMFGVALFK**SVLAVLISKDPWLLLFSAYGFIFYFFGLLPSKIYALIT**
 MNQTGWGTSARSSSERKRGQSFLQRSFHICHLVIWYTAVFVGIGFFVWRVFGNPLYILIGAVALIPSAFL
 YWQGSFSLGGLFRRNKVASETSTPIQVDDESMLPQKPEKALSISSKRSSNTLVKTTIVSVKDVTDEVEK
 PVNSASAA

>ADW11233.1 subtilisin-like protease 2 [Phaseolus vulgaris]

MNVGTLQWSTLQRRIPIVPIRPCVADSMKAPKASSTLISSPILTFVYSLVPDLSHPPSDAPRTYIVH
 VAQSQKPRFLTHHNWYTSILHLPSSHPATLLYTTRAAGFSVRITPSQLSHLRRHPAVLAVEPEPGPPH
 PPPPTHTPRFLGLAESFGLWPNSDYADDVIVGVLDGIWPELRSFSDDNLSPVPSTWKGSCEVSRDFPAS
 SCNRKIIIGAKAFYKGYEAYLDGPIDESAESKSPRDTEGHGHTSSTAAGGVVSNASLFHYAQGEARGMAT
 KARIAAYKICWKYGCDFSDILAAMDEAVADGVHVISL��VGSSGYAPQYFRDSIALGAFGAARHNVLVCS
 AGNSGPGPFTAVNIAPWILTGVASTID**REFPADVILGDGRVFGGVSLYYGESLPDFQLRLVYAKDCGNRY**
 CYLGSLEASKVQGKIVVCDRGGNARVEKGSAVKLAGAGGLGVIMANTAESGEELLADAHLAATMVGQIA
 GDEIKKYIRLSQYPTATIEFKGTVIGGSPSAPQVASFSSRGPNHTSEILKPDVIAPGVNILAGWTGRVG
 PTDLIDPDRVEFNIISGTSMSCPASGIAALLRKAYPEWSPAAIKSALMTTAYNDNSGGNIKDLGTGK
 ESNPFTHGAGHVDPNRALNPGLVYDSDINDYLAFLCSIGYDANQIAVFTREPAAANPCEGKVGRTRGRLAS
 PGDLNYPFSVELGRGSDLVKYKRVVTNVGSVVDavyTVKVNAPPGVDTVAPNTLVFSGENKTQAFEVA
 FSRVTPATSDSFGSIEWTGSHVVRSPIAVRWSGDSSSL

>ADM25048.1 Rpl-like protein, partial [Zea mays subsp. parviglumis]

AQKSPHRGKLESWLRRLKEAFYDAEDLIDHEYNVLKAKAKSGKGPLLREDESSSTATTVMKPFHSAMNR
 ARNLLPGNRRLISKMNELKAILTEAKQLRDLLGLPHGNTVEWPAAAPTSVPTTSLPTSKVFGDRDRDR
 IVKFPLGKTTAEASSTKYSGLAIVGLGGMGKSTLAQYVYNDKRIEECFDVRMWICISRKL DVHRHTREI
 IESAKKGECPVDNLDLTLQCKLRLDILQESQKFLLVLDVWFEKSHNETEWELFLAPLVSQSGSKVLVTS
 QSGTLPAAICCEQEHVIHENMDDETEFLALFKHHAFSGAEIKDQLLRTKLEDTAEEIAKRLGQCPLAAKV
 LGSRLCRKKDIAEWKAALKLGDSLDPFTSLLWSYEKLDPRLQRCFLYCSLLPKGHGYRPEELVHLWVAEG
 FVGSCNLSRRTLEEVGMDYFNDMVSVSFFQLVSQMYCDSYYVMHDILHDFAESLSREDCFRLEDDNVTEI
 PCTVRHLSVHVQSMQHKQIICKLYHLRTIICIDPLMDGPSDIFDGMLRNQRKLRVLSLSFYSSSKLPES
 IIGELKHLRYLNLIRTLVSELEPTSLCTLYHLQLLWLNHMVENLPDKLCNLRKLRLGAYVNDFAIEKPICQ
 ILNIGKLTSLQHIYVFSVQKKQGYELRQLKDLNELGGSLKVNLENVIGKDEAVESKLYLKSRKELAFE
 WSSENGMDAMDILEGLRPPPQLSKLRIKGYRSDTDYPGWLLERSYFENLESFELSNCNLLEGPPDTELLR
 NCSRLRINFVPLKELSNLPAGLTDLSIDWCPLLMFITNNELGQHDLRENIIIAKDELASKLTVWEVDS
 GK**KVRSILSK**DYSSLKQLMTLMMDDDISKHLQIIESGLEEREDKVWMKENIIKAWLFCHEQRIRFIYGR
 MEMSLVPLSGLYKLSLSSCIITDEALAICLSQLSLRTLELKYNMTLTTLPSEEAFQQMTKLKCFAISGC
 WCLKSLGGLHAAPSL SALDCWDCPSLELARGAELMPLNLASYLDIQCILAADSFTNYVPDLKQLTIINC
 RCSPSLSIGHLSLESQQLIGLPDLYFVEGLSSLHLKRLKLGDVANLTAKCFSQFRVMESLTVSSVLLN
 QMLMAEGFMVPPNLEFLYCKEPSILFEEPANLSSVKCLNFSLCETESLPRNLKSLSSLESLEIGFCPNIA

SLPDLPSSLERI

>AJD20222.1 norcoclaurine 6-O-methyltransferase [Sinopodophyllum hexandrum]
 MEAQKENISSQAKLWNFIYGFAESLVLKCAVELDFANIIHNHGKPMTLSELASQLPVMQPVNNTNSLYRVM
 RYLVHINIFTKTLDENDGETKYGLAAPAKFLVKWDNCMVGSILGITDKVFMEPWYYIKDELAPGTGTAF
 ELALGKDIWEYMGENPEKNKLNFNAAMACDTSMIMSALISECKDKFNGIRTLDVGGGTGTAAARNIARAFF
 NIKCTVYDLPHVIADSPVYPEINRVSGDMFKCIPNADAILMKCILHDWEDKECIEILKRCKEAVPVDGK
 VIIIDVVLGESEHPYTKVRLNSLDMMLNTEGKERTKEGWKKLFKAAGYRDYNITQISALQSIVIEAFPY

>AHZ63910.1 phototropin [Desmidium aptogonum]
 MGPPEGSSLVKGTTHDKVAGGGSVPTARRYSLGLSPEDDPRRSSNSQAGKVLGSKSELRDALTAFQQSFC
 MVDAKPDLPVLFASEGFYQLTGYSALETIGKNPRFLQGQETDRAEVAKLKQAIQAGESWCGRLLNYKKD
 GTPFWNLLTVTPVKDDGGKVVFIGMLVEVTKYTEGAKDKETRPNALPVSLIKYDARQKEEAESSASELL
 EEAQRHPLLDSMSGGKDKGEGGMDKLMQLPKVEEEGGGSAEKKPERRK**SFMSILSK**KDPKSTSQGAPQG
 GEAQSGAAVAEEEEDGDVDRKNRKGMIDLATTLERİQKNFVITDPRLPDNPIIFASDDFLELTEYSREEIIG
 RNCRFLQGPDTNPKTVQKIREAINNQEDITVQLLNYTKSGKPFWNLFHILQAVKDNGMLQYFIGVQLDAS
 QYLDPNIQGLEDRFAQEGERKIIVETANNIDGAVRELADPGADAKDLWSIHSPAVVKPHKRQDPAWQAIL
 DVVAKDGRGLKHFRPIKPLGAGDTGSVHLVELRTGRLFAMKAMDKEVMINRNKVHRACTERDILGRLD
 HPFLPTLYASFQTATHVCLITEFCSGGELYGVLERQKGKRFPENVAKVFAEVLLALEFLHTQGVVYRDL
 KPENVLLMESGHAMLSDFDLSFLSSSTPKLESLPPDAKKKKPKKKGPLSDAERAQWKAELNAVVPML
 VAEPSTSSNSFGTEEYIAPEIINGTGHAPVDWWAFGIFLHEMLYGKTPFRGRNRQRTFTNVLMKELTF
 PDTVPVSDEAKALIRLLLERDPEKRLGSKKGAAEIRAHPPFLIDDWALIRHKPPPTPSIPMKLITTEADS
 ARQSMVAEEELDWEHEARPSESLDYGY

>P54209.1 RecName: Full=Cation-transporting ATPase CA1
 MVSHASSGRPSSRTGMVYLGLMQDAYSSEVQEVAFYHVLDRLGLSDRDVQQARIKYGRNQMEAEQST
 PLWKLILKQFDDLLVKILLGAAIVDFIIAISEGESIQSGLIEPMVILLILVANATGVVTERNAEKAIHQ
 LKSYEADDATVLRNGQLQLIPSADIVPGDIVELAGVNVPADTRVSHIYTTSLKIDQSLLTGESQAVEKH
 TEVVHNEQAVYQDKLNMLFSGTLLVVAAGRARGIVVGTGSNTAIGKIRDAMGVEEDVVTPLKAKLDEFGALL
 SKVIAGICVLVWVNNIRFNPDALGGWFQGAIHYFKIAVALAVAAIPEGLPAVVTCLALGTRKMARHNA
 IVRTLPSVETLGCTTVCSDK**TGTLTTNQMSVIK**VAAVQSSSSQLAEFDVTGTTFSPEGMVLGPGGVVLR
 QPADTPCLAHAACQCALCNDSQVFVAQKTGTLQRIGESTEIALRVFAEKIGLSSIRPDRPISRSQFGTN
 NFWQEDVERLALLEFSRDRKMMMSVLVKGSRQHNIWSKGAFVLRKCSHVLANNGEAVPLTDNMRQAI
 LSDMQAFGSRQALRCLALAFKSVPTTTKLDYDESGLTFIGLLGMHDPPRPECRSALSTCHNAGIKVIM
 VTGDNKGTAEAVARQVGALSPSTALAGSDDEDNLGIYTGREFEEMGALGQAAATRNLVVLSRVEPMHKL
 RLVELLKAQGHVVAMTGDGVNDAPALLRADIGIAMGSGTAVAKHAADMVLGDDNFATIVFAAEGRVIFN
 NTKQFIRYMISSNIGEVVAIFLAALLGLPEVLTPVQLLWVNLTGDPATLGFNRADKDMARGPRRVD
 DPIVNGWLFLRYLIIGMYVGIVTVYGFIIWWYISFPEGGNMTWSQLTHFQACASQPGGAKDCEVFHSKHPT
 TISMsvlVVVEMFNALNNLSEDSSLRIPWDNKWLGVAIATSMALHFGILYTGASAMFGVTGLSFAEWT
 MVIKLSAPVILVDEIMKAWSRRQRHPASSRGGPVSLMEIQVPLTSSRDEAALKL

>XP_006658000.1 PREDICTED: serine/arginine-rich SC35-like splicing factor SCL33 [Oryza brachyantha]
 MGRGYSYSPSPPSYRRRASSPIPRGRYGGGRDLPTSLVRNLRRDCRPEDIIRPFGQFGLKDGYIP
 RDYYSGEPRGFVQYYDPDDAADAKYYMDQTIILGREIAVVFAEENRKPAEMRARDRISGRGRSYDQ
 RYSRSRPRYSPPPRGYSPPRGRSPYRSPYSRSPSPRYARRMRERSYSPVDSRSRSRSRSPIDEYGGS
 TRRERSLSVSG

>NP_191795.1 Carbohydrate-binding-like fold [Arabidopsis thaliana]
 MAASRKICHSLIVFLIAISTVYGVSAISIKCGGGFVEASSSLVRSRKGSKGKLDFSHITVELQTVGLVK
 DSTQCAPNGYYFIPVYDKGSFILKINGPDGWSWNPDKVTVVVDSSCENNDDINFHFTGFTLSGKVLGAV
 GGESCLIKNGGPADVNVELLSSDGSEDPVASVLTSSDGSYLFKNIIPGTYNIRASHPELQVEVRGSTEVE
 LGFANGMVDDIFFVLYDLKGSVVAQGNPILGVHIYLHSDDVSMVDCPQGSGDAAGERKSLCHAVSDAEG
 IFSFKSIPCGKYELVPHYKGENTVFDVSPPVMPVSVEHQHVTVPQKFQVTGFSIGGRVVDGNSVGVEGVK
 ILVDGSLRSVTDKEGYYKLDQPAKLVVTQPLLVNFRLLSERVKNMRFLKVTSNQYTIDAVKEHYKFDK
 LKKFMVLPNMASLPDINAVSYDICGVVRMFGSRHKAKVALTHGPTNVPKQMKTDETGAFCFEVPPGEYR
 LSALAATPKGASELLFLPAYVDVAVKSPLLNEFSQARVN VHGSVTCKECGPSVSVLVGAAGDRDKKT
 VVLTDESSQFLFSDILPGKYRVEVKSISPEAASDESWCWDRSSIDVNNGTEDIKGIEFVQKGYWINIIS
 THEVDARIAHPDGSPTSLKIKKGSQKICIESPGGHELQLSDSCMSFGNSNIKIDVSNPQPIHLKAEKYLL
 KGLINVESSSTIESELQENFIVDIQDKGNVINTIAAKLASDGSGVYEYYTWASLGEKISFVPQDSRGNV
 EKKMLFYPKEIHAVVSKDGCQASVSPFTGRLGLYIQGSVSPPLPGVNLIKIFAAKDSLISSLKGEIAIET
 STLSAGSFVAGPLYDDIPYATEASKPGYHIKRLGPYSFSCQKLGQISVRVNSKDNAETSIPPLLSLSGD
 HGYRNNSISGAGGLFVFDLSFPGNFYLRPLLKEYSFKPSTLAIELNGESSEAVFEATRVAYSAMGRVAL
 LSGQPQEVAIEARSDSKGYYEETTSNINGYRLRGLHPDTAYVIKVSKKIGSANQIERASPESVSLQI
 GYEDINGLDFLVFEQPETTILTCHVEGQNEDLNSNLLVEIKSAIDSKSIENVFPLPLSNFFQVKGLPKG
 KHLVQLKSSRPLISHKVESEIIIEVDFETNAQIHIIGPLRYSIVADHQSQEVTPAAILPLVIGVSAIALFLS
 IPRLKDIYQATVGISSPGFTTSAKREPRKAVARKKTF

>Q9SU86.1 RecName: Full=Cytidine deaminase 6
 MKFVYTPSEAAEEGVRGPSDLPKLIDKAMSLARAPVSTFKVGAVGLTSSGEVFLGVNVEFPNLPLHHTIH
 AEQFLVTNLALNSMKKLTHIAVSVTGTIFGAPCGHCRQFYQEMRNAPEIEILIKRPKDGIDEFMSLKSLS
 PERFGPDSILPEDASLLLEQRDNSLVLSDPEEICSDPEDCSHTKCRALAAANKSYAPYSKCPGVALICG
 GEVYKGWYIESVAYNPSLGPVEALVDFVARGGKEFNEITEVVLVEMKDVKVSQEATARTFLDKIAPKC
 DFKVLHCYKTNKN

>AHB32114.1 serine hydroxymethyltransferase [Camellia sinensis]
 MGSIQQPIWTKGSTFSLKGSGFNGFPHQVKLNLVKRCRSSQLEGNLVTGKSPSSVSIPATKIGGNGSCFI
 DHGLSEADPEVRTIIDKEKQRQLRSLELIASENFTSRAVMEAVGSCLTNKYSEGLPGKRYYGGNEYIDEL
 ETLCQERALAAFHLDGKKWGVNVQPLSGSPANFEVYTALLNPHDRIMGLDLPHGHHLSHGFMTPKRRVSG
 TSIYFESMPYRLDESTGIVDYDMLEKTATLFRPKLIIAGASAYPRDFDYPRMRKIADAVGAFLMMDMAHI
 SGLVAASVVAADPFYCDVTTTHKSLRGPRGGMIFFKRETvhGVDLESAINNAVFPGLQGGPHNHTIGG
 LAVCLNHAQSPEFRAYQNEVVSNCRALASRLIELGYKLVSGGSDNHLVLVDRPLGLD GARVEKVLDIAS
 ITLNKNSVPGDKSALVPGGIRIGSPAMTRGFKEKEFIVTADFIHEGVQISLEAKRSVPGSKLQDFMKFV
 GSPDFPLMHRVSDLRRVEELSTQFPMMPGL

>EPS58436.1 geranyl pyrophosphate synthase [Genlisea aurea]
MHTGTLPLLEAAHPYESSQRVSGRRVLFSWVSNNVSNVGQQPQFQSNLSVEDHLDPSLVADELSLLGN
RLRSMVVAEVPKLASAAEYFFKMGVEGKFRPTVILLMATALDSSIGRQDALVGDFSAELRARQQCIAEI
TEMIHVASLLHDDVLDADTRRGIGSLNFVMGNKLAVALAGDFLLSACVALASLKNTTEVVSLLAKVVEHL
VTGETMQMTSTADKRCMSMEYYMEKTFYKTASLISNSCKAIALLAGQTAEVSTLAYEGKNLGLAYQLIDD
VLDFTGTSASLGKGSLSDIRHGIITAPILFAMEEFPQLRVVDRGFENSNDVDALEYLGKSHGIERTRE
LAVKHASLASAAISSLPKNDDEDVMRSRRALVELTTRVITRTK

>CDY68509.1 BnaC04g54120D [Brassica napus]
MGNDDDLIVLAAGVEDGEIAAASNIEVRQSTVADGGDVGGVTGGGRGGFDGNSRVWTMRDLMTK
YPEYRGYANGLSNFAWAQAVQNKPLOSEGLKEYETREGGGDKIVIEDSDEKEEGELEEGEIDLDSLSTR
DDEMETESLVVLTSVADELEDDDRVKEERELETKVKLIRDVLESTLVQAQIAFEGVCSRLLGALESLREL
VSDNDDFPKRDTLMQLSFASLTQTSVFTSMNNMSKELNKDTMSRLVSLVNDHCSRFLSSNQRIEIEAMN
QNLRRSAISLSAGASSEENVNRMTQTSNGDLFPACKNLSTEGRGAFYARSRLPLLDLHMDHDADSLPSP
TRETPSLPVNGRHMMARPGFPFGKEGQTSEVAKVHHPYESEALKAVSNYQKKFGVNSLFKTDLPSPTP
SGEPNDGNGGTGGEVSSSVASKKPGTLMTYQDVPLPSTFSSRMPVVSSTVPPHPLSIYGMSTPAGAT
QTVLASDQTVKPSAKSRDPRLRLAKPDGAASVTISPRVVPSAELVNQRKQKATSELFIDGPTWKRKKSDN
DAQKATNIGGWLEDTESSGHPKLESKPRLIEAGVTSMKTSVMPNAVTVPKVTTATSTEALSSLFKDFA
ENPTMIMNIKMGQKQTVPEKAPQKPMRRAAQLPGSSSVPPVAPPVSI PASNALPANFPQPGAPKDE
SGSIRMKPRDPRRII LGSTLQRTDSVAEKQSKLNDSSLKGKTEVLETSQLVPRQSISLNGTSNMRVSG
EPVRGKTPDFTKNLKVADMSVLSQQVGNPLATTHAADLKDQEEASVSAASVAAAGPTRSMNSWG
DVEHLFEKYDDKQRVAIQKERTRLEEQKKMFGSKKLSLVLDDHTLLNSAKFHEVETAHEAMLRKKEEQ
DRDKPYRHLFRFPHGMWTKLPGIWNFLEKASKLYELHYTMGNKLYATEMAKLLDPEGVLFNGRVISK
GDDGDPLDGERVPKSVDLEGVMGMESSVVIIDDSVRVPHNMKNLIVVERYTYFPCSRRQFGLLGPSLL
EVDFDERPEEGTLASTLAVIERIHKNFFSHTSLDEADVRNILASEQRKILAGRIVFSRIFPVGEANPQL
HPLWQTAEQFGAVCTTQADEHITHVVTNSLGTDKVNWALSRGKFVVFPGW

>KMZ74127.1 Zinc finger CCH domain-containing protein 4 [Zostera marina]
MSSRAQSLEPTCPICGDRQSMGTNEATRDPQSSSLSSPGNASVPPLSQGTSSDARSSFPARHTLPVFALRA
RIVDKIRENRVTLVIGDTGCGKSSQVPQFLLEEDIQPILCQPRRFAVVAIARMVAEARNCEVGEVGYH
IGHSNVSSSSKIIFKTAGVLLQMRDRGLAALKYKVIIILDEVHERVESDLVLACVKQFMMKNGLRVV
LMSATADISRYKDYFKDLGRSERVEVLAIPYVPQQVIFQRKVLYLEQISELVDLDKETTDKCITNCKDLG
DAGLKNEVHTLIHKLILHIHNNESDIEKSILVFLPTYLLERQWILLKEHLSVFKVHILHRSIDTESALS
AMQIWKSHRKVILATNIAESSVTIPGVAFVIDSCRSLQVFWDQNRNIDTPKLVWVSKSQAEQRKGRTGRT
CDGHIYRLVPGQFYSSFDDHEFPAILRLSLRQHVLMVCCADSKAINDPKVLLQKLMDPPYPVVVNAINQ
LLNIKALNKHPTHKGSYEPTFYGRLLDSLPLTFDPVLLKFGDIGLLHEGIIISILMDIOPFPPIIOPFG
KLYLHEQYVANFFEDDKTIGKKENILMGNLSSYYFWQCIFKDCLRMDRLKQLLNGAEPKSSLSLIHELEK
EWCYLHNLVPTTLNNISDIYEDALCAIHRFRPMFIQMADSLPSYYDPYDFKHTCLIQSESHSIDSVNENP
ESTDRSKCTSPLPFVTSNDFQVSYISEEFVKLIKEIRGHNTDEKYEDRKRIGHTSGCAAATKICKYFIRGL
CNKNDQCIFSHSFQAKKPPCKFFFQLQGCRYGNSCIFSHDNQLQNSSFVNALCSPEDSNERQTYDIFLH
LLPAASEGCILILNDKHLQITSILAKYIDPHKLIVSIPDQPSEVSSSLIGLTKVSDTSMPWSLNTETKG
EDCTPWAQVRSILWFSDFDVDEAEKHHNLLKKFFQCLAIKFLAGILPPHSVIITMNNLRFSQIEVEKLAR
ECFFFLTQSFLFDASTFGKISHDVCNAVPMQASSTISYIFEIHLPPAHTMEVKDYYSSNNNHIGLMYNT
EWQF

>KZV49446.1 14-3-3-like protein D-like [Dorcoceras hygrometricum]
MFELPVDSLADVSEMPKDKIFDAKSIVSMTEEPVILSGLKSQMKIHRYLLCDIMAKSISVKAGSFNALT
EKFSLMTAVVCRVKMNWGRVLFGILKKMVTSGTKQAKGFAIQISLLLNPVNLELGELSEFPSSKILTE
TVHRYIAVIDKSGAQDADAAPKVTAKPKRTTAVPADPVPVKRKRRTKKKDSSSKYNLELMAVAQEAVPI
QMIEGSTAPAVDDTDQPAAVDAFPADRPAAEIESVERVDEQLAAEPAVHVPAKEPAVEVSRVNVDPE
VIRQVLDQLDFVTEDPVVAKVDRATLSEQFNESQSGISSRLHKIEQGLRDSLREHAEVFKNLFQGARQEG
RTIDDVQTLCFNEFCKNILAQNASNFTGLADRKEVQEVAKVDIIASRVNEVRKNEETKEALSHOLLE
FQSQAQENQNILHAQLSELVNYINRGSAKKGESSRGPPQPNVQNLESGQSISILEETAERIREADRRQ
AEMERERERQRRIIRRLSGSSKRQGY

>XP_010095888.1 Translation factor GUF1-like protein [Morus notabilis]
MAANYMTSSSSSQALLLSTCHHHHSRTTLSSSFLSISKALQFSHSSSYLSYSSRSFSISCQ
AAASGTAVSDLVAAQVGRDRLLKVPISNIKNFCIIAHIDHGKSTLADKLLQMTGTVQKREMKDQFLDN
DLERERGITIKLQAARMRYVFKNEPYCILNLIDTPGHVDFSYESRSLVACEGALLVVDASQGVEAQTLAN
VYLAENNLEIIPVLNKIDLPGAEPRVIREIEEIVGLDCSNAIRCSAKEGIGISEILDAIVERIPPPQD
TADKPLRALIFDSYYDPYRGVIVYFRVVDGKIKKGDRYFMASDKDYFADEIGVLSPSQLQVDELYAGEV
GYLSASIRS VADARVGDTITHYVRR AEDSLPGYEEATPMVFCGLFPVDADQFPELRALEKLQLNDAALK
FEPETSSAMGF FRCGFL LHMEIVQERLEREYNLSITTAPS VVYRVNCVNGDTVECSNPSLLPEPGK
RTSIEEPFVKIEMLMPKDYIGPLMELAQDRRGDFKEMKFITENRASITYELPLAEMVGDFFDQLKSRSKG
YASMEYT FVGYKESDLIKLDI QINGDRVEPLATIVHKDKACIGAKVIASEALSAIRKV DVLAKCYGGDIR
KKKLLRKQAEGKKRMKAIGKVDVPQEAFMAVLKLEKEVL

>AAM73733.1 ADP-glucose pyrophosphorylase large subunit, partial
[Metroxylon sagu]
MGVYVFKRDVLLKLLRWYPKSNDGSEILPSAVKERNVQAYLFNDYWEDIGTIKSFFDANLALTDQLPK
FQFYDPRTPFFTSPRFLPPTKIKKCRILDAAISHGCFLRECSVQHSIVGVRSLDYGADLKDTMMMGADS
YETAEIASLLAEGKVP IGVGQNTKISNCI

>XP_007514075.1 DNA repair and recombination protein RAD26 [Bathycoccus
prasinus]
MRNEEGDTDALSNIVLGPLSVVARDERHVQRDVLRDAIVDDDDRGGGGEEEKT KMETMVLR SERAVEKL
ERSLFEIDREIEAVEAATKDLGVEEAKKKEEKTPILRDVKLRQVAAKRVALREKRSKVEKE LDAALEVS
EVERRAFEREKKKKDASDADAKKTGGVPPEEQR RRPKV VVQDDFDFDAELDAVQKTTTNNLLGGGSNG
ETERERLIRIGAMTPFDRLGFDKARTDEAGKKLKEKA ALLQS AKS K LKTIDLKDAPKQMEKMH SRAIGE
AISRRVKPTKNGDSA AKKKLALKRKQWKEQSEQQQNKKNGASARKR RSSFQAYSSDEEELGDAEDG
DDVIEAEEDVEFEGGLSVDGDRFAKLLPHQKTA VKWLWE LHCQRAGGIIGDEM GLGKTVQVA AFLGAL SK
SNLYQASVVVCPATMLRQWRRELKIWAPELKPVVLHDSAITQDALKVANGRNK NAMKNAIRNATRDPKGL
VITTYECLRG MREDLLTVR WGYAVLDEGHKIRNPEADITVVSKRLTVHRIIMTGAPVQNR SELWSLID
FVYPGKLGTLPVQFAQFAVPIQIGGYVN ASDQATTAYRC AVALKDLISPYLLR RLKQDLDINLPDKTEQ
VLFCPMTENQRDAYKGFLSSREVEDI IDGRREALGGIDVLRKIVNH PDLLERN S RAGD ANYGDPVRSGKL
QVALKILSMWKSQGHRC LVFSQTQ QMLDILEQAVANE GTYRRMDGTT PVAH RGM LVDSF NDAG NVG EEG
VAAEDMQEPVFVFLTTKVGG LGINLTGANRV LLFD P DWN PSTD A QARERA WRIG QT KAVTI YR LITTGT
IEEKVYHRQIYKEFLT GKV LKDPKQRRFFKARDMMDLFAY DDPEEKQ RGGGVAG SAAM GGA ANETA ELF
AEVEGEI LAADCK DEE ES LIT VEG DES LEE GET T TAN NGT IVEG VQR VETN RL NVNN KDD NGK GDAA IL
KSLFDGE G EGLHSAM CHDKI LS AADSDRRAKIAFADRIARQAA EAVKRSG RGE MN HSN TRVQG QQQQQQH
INATT STTIRT IAT NN INT GRFG SNNAG S RRL FS RI Q QR REED AA II ATN QN ANAN QD EEAR FA Q TLL
KDI IQFL KSR GGEAPTGLVVDAFADK VTAERRVIFRNLL KQ CARLE RNPTT NDGNKG FSAW VLKSEY DT

>Q9FK76.1 RecName: Full=Subtilisin-like protease SBT5.6; AltName: Full=Subtilase subfamily 5 member 6; Short=AtSBT5.6; Flags: Precursor MKKLTSLFPLLFLIPLLASCAEEKQVYIVYFGEHKGDCAFHEIEHHHSYLQSVKESEEDARASLLYSYK HSINGFAAEELTPDQASKLEKLAEVVSVFKSHPRKYEAHTTRSWEFVGLEEEETDSVPRRKNDADDRFRV GRNFLKKAKHGDGIIVGVLDSGVWPESKSFDKGMPVPKSWKGICQTVAFNNSHCNRKIIGARYVKG YERYYGAFNATANKDFLSPRDPDGHSHTASTAVGRRVLGASALGGFAKGSASGGAPLRLAIYKACWAK PNAEKVEGNICLEEDMLAIDDAIADGVHVISISIGTTEPFPFTQDGIAFMALHAVKRNIIVVAASAGNSG PKPGTLSNLAPWIITVGASTLDRAFGVGLVLNGYTIKTDSITAFKMDKFAPLVYASNVVPGIALNETS QCLPNSLKPELVSGKVVLCLRGAGSRIGKGMEVKRAGGAGMILGNTIAANGNEVPSDSHFVPTAGVTPTVV DKILEYIKTDKNPKAFIKPGKTVKYQAAPSMTGFSSRGPNVVDPNILKPDITAPGLYILAAGSGADSPS KMSVDQRVAGYNIYSGTSMSCPHVAGAIALLKAIHPKWSSAIR SALMTTAWMTNDKKPIQDTTGLPAN PFALGSGHFRPTKAADPGLVYDASYRAYLLYGCSVNITNIDPTFKCPSKIPPGYNHNYPPIAVPNLKKTV TVKRTVTNVGTGNSTSTYLFSDKPPSGISVKAIPNILSFNRIGQKQRFKIVIKPLKNQVMNATEKGQYQF GWFSWTDKVHVVRSPIAVSLA

>Q9FNA9.1 RecName: Full=Phospholipid:diacylglycerol acyltransferase 1; Short=AtPDAT

MPLIHRKKPTEKPSTPPSEEVHDEDSQKKPHESSKSHKKNSGGKWSCIDS CCWFFIGCVCVTTWWFLLF LYNAMPASFPQYVTERITGPLPDPPGVKLKKEGLKAKHPVVFIPGIVTGGLEWEGKQCADGLFRKRLWG GTFGEVYKRPLCWVEHMSLDNETGLDPAGIRVRAVSGLVAADYFAPGYFVWAVLIANLAHIGYEKNMYM AAYDWRLSFQNTEVRDQTLSRMKSIELMVSTNGGKK AVIVPHSMGVLYFLHFMWKWEAPAPLGGGGGPW CAAKYIKAVMNIGGPFLGVPKAVAGLFSAEAKDVAVARAIAPGFLDTDIFRLQTLQHVMRMTRWDSTMS MLPKGDDTIWGLDWSPEKGHCCGKKQKNNETCGEAGENGVSKKSPVNYGRMISFGKEVAEAAPSEINN IDFRGAVKGQSIPNHTCRDVWTEYHDMGIAGIKAIAEYKVTAGEAIDLLHYVAPKMMARGAAHFSYGIN DDLDLDTKYQDPKYWSNPLETKLPNAPEMEIYSLYGVGIPTERAYVYKLNQSPDSCIPEQIFTSAHEEDED SCLKAGVYNVDGDETVPVLSAGYMCATAWRGKTRFNPSGIKTYIREYNHSPPANLLEGRGTQSGAHVDIM GNFALIEDIMRVAAGGNGSDIGHDQVHSGIFEWSERIDLKL

>XP_001416343.1 MC family transporter: uncoupling protein [Ostreococcus lucimarinus CCE9901]

MASGAVTHPIDLVKVRMQLRGEVDKAAAASSRASTRAPGMVSTFAHVLREGALGLYKGLTASLMRQAS FIGTKFGAYDALKAALRSEGDEKLPFWKMTMCGIGAGAIGAAVGNPADLAMVRMQADGRLPVELRRNYRN GADALMRVAREEGVGALWRGCAPTVNRAMIVTASQMAVYDQAKHYIVEHTSLNDGLAQTGASFGAGVVA ALTSNPIDLAKSRLMSMKADEHGKMPYSGTLDCAIKTVRREGFVAFYKGLVPTTARQVPLNMVR FVSVEW MKRLLLEPL

>YP_009266863.1 maturase K (chloroplast) [Primula sinensis]

MEEFKRYLELDRSQQHYFLYPLIFQEYIYALAHNHSLTRSSILLEKAGYDNNFSLLTAKRLITHLITQM DRQNHLFLTNDSNQNPFGLGHNTTLYSQIILEGFVVVVEIPFSIRVISSLEGKEIVKSHTNRSIHSIFPF LEDKFSLNYVLDLILPHSIHLEILVQTLRYWVKDASSLHLLRAFLHKYHNHNWNNLITIKSSFSFSKR NKRFLFFFLYHFVYESIFAFLRNQSSHLSKFYRSLLDRIYFYEKRDHFVEVFTKYFQAVLCSFKDSF MHYVRYQGKALLASKGTFLLINKWNYYLNVFWQCYFDMWSQPGRIHINKLSNHSLDLLGYLSSVGLNSSM VRNQMLENSFLIASASKFDTTVPIIPLIGSLSKAKFCNLLGHPISKPVWADLSDSDIIDRFGRIYRNIF HYYSGSSKKMSLYRIKYIIRLSCARTLARKHKSTVRAFLKRIGSEFLEEFFMEEELIFSLTFPKAYSTSG GLDRKRIWYLDIFCINDLANHS

>XP_013444647.1 trehalose-6-phosphate phosphatase [Medicago truncatula]
 MKSLLPASLNGDNNEESILSSYNSWLENHPSALENFKEKVMNIAREKKIVVFLDYDGTLSQIVDDPDKAYM
 TDAMRAAVREVASYFPTAIISGRSRNKVYDFVKLKNIYYAGSHGMDISTLGSSKYHDKNHQTKGVDEKG
 NEVVLYHPAEEFLPTIQEIIKILKDNIRVINGSTIEDNTFCFTVHYRRVKNREDVEVLKEIVESIMKDYP
 DFLISGGKEIMEIRPNVNWNKGDALMYFLDTLGYNTFDDVLPPIYIGDDRTDEDAFK**ILKQIGGGFPIVVS**
SIAKETNASYSLRDPADVKTFLTHLAKWKKNLHKTKQR

>XP_007010319.1 Pectinesterase inhibitor-like protein [Theobroma cacao]
 MASLSRSLLVALSFAIFFINPSFAKPRPNVTDAEIITICSKTPAPSFCCLKVLSNETLHANQTSLHGLAK
 ISIELALASADETQVEISPLIKQAENYTVREGYTLCSQNYQEAVASLK**DAKRLLSKHDYRGVRVQALAAL**
 EEAEACEHDLRIPAFNPSPLHDKNEEFKHYCNIWAITNRLVDYY

>KVI07455.1 Aspartate/glutamate/uridylate kinase [Cynara cardunculus var.
 scolymus]
 MASSTNVESPPIGEGSNNVNNSETPATAAAVNSPATTAAAVNSPTTPAAVNSPGTAEDVTKTSEITPNGR
 RSKK**QKLDsstGGDHRR**EREWSDTAIAIILDSYTEKFMALNRSNLRGKDWEVVAELVAESGDKQPRKSI
 EQCKNKIDNLKKRYKLETQRMEINGSASSWWFKMDIVFGSLMPKSGAGTGATSDDKSVGASSPHRL
 RRSARLAPTSAPVRSNFKTTNIKWKRUVFKVSGTAGSGQSIDPKLCRLQKKWQQRPGMVWSMMATVM
 NSVLLQSALEKLGIQTRVQSAFLMPEIAEPYNRLRAMRHLDKGRVVIIFVNADAVIKGTNVNGICDKHKVP
 LDQISFRDAVSRCGSMMDLMAIQFCEENSIPVVIIFNMLERGNVAKALTGGQVGTLDQ

>XP_005851718.1 expressed protein [Chlorella variabilis]
 MAMANGLLANDVLLWKAIGAAVWAACIAVAASGALGLMLSATLFSPARLVGGSFSLSAWLSATLVLAQ
 APAFAGAAAALRACEPRPAHLHRLHWPRCAPASMLIGKLAARLGSVADAASSTAAFFATHALSAALFLSV
 FAAAMGNAMGGARSTLQYSLWLATAYLLHWVHCSQDVLAFPSVQRHRYFRMKQRLPRAAVQAAQLAAA
 SCAVTTSSLRSNVLGEASPGASGAPLTIGGGTAALLAGALCTFCWLMSSAALEVVFTTERLPPDDYSDRDV
 LRAMVACLAGKRGGLMQGLALHDASLLAGDVGRAALRRADMFADESGDRWKPVAVACIAELDAVSAAVGA
 ALQQQKPGAGGAAAGMPSAATQSHKWNGGLGSSKQQLDALLAVRCGYPRAAQAAQALAGFACASLKEDRFGV
 LQLQPGLGDVLLCLLGALGATQQLMRVTASLVPRQLSLGPWRNGDAAAWAGCYSSPSVDAAYALQDT
 LTVALYRTSTTFGAGLGKVLA
 DCTGKPAYGSASEAAALLQQFQRGQA

>XP_007013072.1 Alpha/beta-Hydrolases superfamily protein [Theobroma cacao]
 MGDLQTSEGNETPLSVYHGVSNNICHPLDFLVFPSTMDDIFTRLLAWTAYMNRRFINFVENLVLQDVYR
 CSEDSVAITSGQNPRSSSQSICKSAREGCSSSTSCTENSYSACIGKRSSELREELLANTDSRNTITYHS
 KRGAPFIFQGLMFPLFGIRLAWSLALASWRCALYHLRSTQAQVYSIKSRMORTLRGSSDDIGWLQRNPGM
 APVENGTARFLELLQAIRNGEHTLPNSFVYLLVPGLLSNHGPLYFVATKRF SKMGLACHIAKIPSEASV
 AQNAWEKLRYIELYWGSGKRVMLLGHSGKGGVDSAALSITYWSELEGKVAGLALVQSPYGGTPLASDILR
 EGQIADKETRR**VMELLICKMIKGD**IRALEDLTYEKRKEFIMKHKLPEGVPLISFHSEARVAPGFLATMTH
 IAHAELPWLPKFGSAEFDHSVGRGLHQVPIVIPISAAMAACALHLLRYGEKSDGLVTCRDAEVPGSVV
 VRPDQKLDHAWMVYSSWKKNPNEPDACEMCEALLTLLVELGERKQEEMEKFGSSS

>XP_003607656.2 long-chain-alcohol oxidase FAO2-like protein [Medicago truncatula]

MRRECHPLLSGMRENKRKYKHGFSVAEMESLTSICEVMFPSLPMDALTKEDESSKDVQSFFNISASKYPI
 PDEVAEMFEKRAVIEAVILIRVILWLLATRLGTLLICGLLCLSKKWPFIINNFSSLSDKREKIVQRGLKH
 KFLTPFRLAFVYIKILCLFVFFSWDENGDNPAWKAIGYEVSTADEKMINDTKRPLEKGIIIEIMHEHT
 TLQQSLSNKGLNVTLDSKNNILKIKCDAVVVGSGCGGGVAASVLSKAGYKVVVLEKGNYFVPKDYSLEG
 PSMDQQYENGGILASIDSRLILAGSTVGGSAVNWSACIKTPEKVLKEWSEKHKLSDLDSIEYLSAMET
 VCERIGVNENCTQEGFQNQVLRKGQCQNLGLKDYVPRNSPGNHYCGSCGYGCPKGEKQGTQATWLVDAD
 KGAVIITGCKAERFLFENNYRNANTRKNKKCLGVIAKTLNSGVTMQLQFEAKVTISAGGALLTPPLMISS
 GLTKKNKNIGRNLHLHPVLMTWGYFPESKSDFKGKANEGBIITSVHRVPSSNDDSIDTRAIETPLLGP
 SSFSALYPWESGLDYKQRMLNYPRTAHFITIIRDKAGGQVTERRISYKLNSIDKENMRAGIQQALRILI
 AAGAVEVGTHRSGGQRIKCNCNTSEKEIEFIDSVYPMEGALWPGENWNLYTSAHQMGSCRMGVNEKEGA
 VDENGESWEAEGLFVCDASVLPATAVGVNPMITIQSTAF CISNRIVDFLRKRQEP

>KVH88216.1 Protein kinase, ATP binding site-containing protein [Cynara cardunculus var. scolymus]

MPQLRSGVRRGRPSKRPIAAERTEPGVVEAVRKTDKRGRKVNNKTGQVNRVEQKNGRGRKKAVQEPPVV
 SDEDSEEKNAVRTTPEEEEKERKPELAASAAEIKDKEKEEEEAGEKKMDDNDSVAPSGDKGLGAEDEGST
 APLPERVQVGGSPSYKIEKKLGKGGFGQVYVGRINAPVPHERTGSGAVEVALKFEHRSSKGNCYGPPYE
 WQVYNVLGGSHGVPRVHYKGRQGDYYIMVMDMLGPSLWDVWNNSHTMSIEMVACIAIEAISILEKMHSR
 GYVHGDVKPENFLLGSPGTSD**E**KKLFLVDLGLATRWRDSASGLHVEYDQRPDVFRGTVRYASVHAHLGRT
 GSRRDDLESLAYT**E**LFLLRGRLPWQGFQGENKGFLVCKKMATSPTLCCFCAPFRHFVEHVNLFDE
 EPNYAKYISLFDGIVGPNPDIRPINTDGAQKLMYQVGHKRGRLMMEEEDYEQPKKKVRMGMATQWISVY
 NARRPMKQRYHYNVADARLPQHIEKGNEGLFESCVASCNSNLWALIMDAGTGFTSQVYQLSPMFLHKEWI
 MEQWEKNYYISAIAGANGSSLVMSKGTQYIQQSYKVSESFPFKWINKKWREGFHVTAMATAGSRWAIV
 MSRGEIHRWDAGYRITSTAATWDQAAFVLRKVGKESVHCFCVLSNCFMSSRSSSFSFLDC

>KHN46581.1 Glutathione S-transferase F13 [Glycine soja]

MAFKLYGLPMSTNTTRAMICLHEKEVDFELVPVNFAAEHKQPPFLSKNPFGLIP**E**LLEDGDLTLFESRAI
 TAYVAEKFKETGADLIRHKDAKEAALVKVWTEVESHYEPAVSPIIYEYFVAPFQGKEPDKSVIDTNVEK
 LKKVLDVYEAKLSSTKYLADLSNVSETHYLMQTPCASTVNERPHVKAWWEDISSRPAFTKVVG
 GMTFGQNQEE

>CAC04434.2 psbA protein, partial (chloroplast) [Artemisia rupestris]

NFPLDLAAIEAPSTNV

>KYP64423.1 KDEL motif-containing protein 1 [Cajanus cajan]

MTLTCPKDYYPTRFEQYQDSSTESTCPEYFKWI**E**DLKPWKRTGITREMVERGQNVSHFRLVI**E**QKAYA
 EKYAYSYQTRDVFTIWGILQLLRLYPGNIPDLELLFETGDRTVVEKQNFQESPPPPIFHCGQKNAYDIV
 FPDWSFWGWAELAIRPWEALLQSIEEGNKKIKWKDRLPYAFWKGNTMVSYKRYDLTKCNASDQHHSYAH
 YPLSWDKEIERGFEKNTKLEHQCVCVHRYKIYVEGVAWSVSEKYI**E**ACDSMTLFIEPIFYDFFTRSLVPRKHY
 WPISNTNQSMCNDIKYAVDWGNANPDKA**E**IGKAGTSFIEENLKMKFVYDYMFHLLNEYARLLRF**E**PTIP
 AGAVEICSENFA**E**PLNGI**E**WREYMVESMVKSPSDTPPCTMASPYGENEGEEK

>CDX86356.1 BnaA06g30730D [Brassica napus]
MEGNSWKPQQGGDSLASNANDWRSQLAPDMRKVILAIVEKLK**IYYPTR**HPNIAIKNTAFSFEGKIYA
AAKDKDDYMRTIKGNIMNFDRKLQSSNVSGSSVNGTNTPAPAAQALNQGQSTPTSQQWLHQNNNNIQSN
LNILDSFKSSSRFSKTDPWKGTSSSAATEFQLLPESNGSTALERGSTTFIHAAAAKSEQKRQEREQLIS
HLMNDKDTQQNHLTPQQNNGEKQAAFRASSSQNNIASFQERPLQNNSIQQRLYSHKVGQSQTMIQQQYQ
PQHTMQQAQNRLQQPLDDTQRFQASGSLLQTQQNQPYQLQRTSPANTFSIDYTNTFFFLASQDSTGQTV
NASGGDWQEETYQKIKALKEKYILVVGALYQKLSNKLREIDAHPQQKIQHGHMEKLRASKATLKLVLVF
LNVSRNAITESHREKFNIYEELLRFVKHNQTVTRPMQQQQQQQQVHLPPSQTHTQTAQSQSGHQVFH
VPQSSALSNLTTSHAMPHSQTRPKMPEPKEETNIMTLPPASNPQPSMFQQKQFHLSMQQRQQQQPQKNH
QQLQMPKNEMDVRMSQRVNNKAGLRQQNISPQRHLAKPLASPQLVDQQILPTTFNKGTSQSGGSPF
VAPSSNLGDPENPISVESPSSHDXQLQPAQEHPPEPNAERPIDRLIKAFQSSSPESLAQSIINEMSSVIS
LTDRLAGCVQSIGGSRARVPQDLSERTRLRLQRGETNPTNKRKRSITTQPIDITSETERYKQFSSLESE
VDSTASSGSKANKIEAGALLQEIMEVNRRLVETMVSICSEDVGPSEVTGTIVMCSYAPVALCDTFQAL
YKSGHVSQIQPLRLVPENYPHSPILIEHIPFDSSVNKHEDLSARTRSRFGLSMKEFSEPMISLTEIAQAW
DACARATMAEYAERHGGTFSSKHGHWEVPLRAS

>AFW89768.1 acyltransferase [Zea mays]
MGMAMVLTDGEVGALIKVSAAVVWVAMSYARLAAAR**L**RPGALRLLALLPVVALLCAIPFAFSTSTFRGTSG
FFLAFLGSFKLLL**GAGIGPLDPSLRLSHFVC**SATLPVKLRRQSKEKSQAPARGPARILLSGAVIPGVIY
AYQFKSSMGRYQLLALYSVHIYFSLDLLATVHTVIHDLLGMEMEPQVDRPYLASSLRDFWGRRNLMVP
SILRPSVFRPVRARLGNAAGVHATFLVSLGMHELMFYIIMRSAPSGEVTAFFLLHGACAAAEGWWASHAG
WWRPPRPAAVPLTLAFVAGTGFWLFLPAMVKGLDEMVLRECQGMVVLMEQAARRLAGATDLVSTM

>AAA81879.1 geranylgeranyl pyrophosphate synthase-related protein
[Arabidopsis thaliana]
MLFSGSAIPLSSFCSLPEKPHLPMKLSAAC**SSSSSAPGSLNFDLRTYWT**TLITEINQKLDEAIPVKH
PAGIYEAMRYSVLPQGPKRAPPVMCVAACELFGGDRLLAAFPTACALEMVHAASLIHDDLPCMDDDPVRG
KPSNHTVYSGMAILAGDALFPLAFQHIVSHTPPDLVPRATILRLITEIARTVGSTGMAAGQYVDLEGGP
FPLSFVQEKKFGAMGECSAVCGGLGGATEDELQSLRRYGRAVGMLYQVVDDITEDKKSYDGGAEKGMM
EMAELKEKAKKELQVFDNKYGGGDTLVPLYTFVDYAAHRHFLLPL

>KVH97338.1 Alpha-N-acetylglucosaminidase [Cynara cardunculus var.
scolymus]
MFNSKLSFLLLLLPLSSSSSPEAIQGLVERLDTQRPSPLQESA**K**ALLRRLLPTHLSSEFKILSK
DACGGYSCFWITNYENSSNKA**E**ITVQGTTAVEI**A**ASGLHWYLYWCGAHVSWDKTGGIQIASIPPTGNLP
LVKKDGIMI**Q**RPVQWNYYQNVVTSNSYVWWDWERWEKEIDWMALQGINLPLAFTGQETIWQKVFMDFNIS
AQDLNNFFGGPAFLAWARMGNLHAWGGPLSQNWLDQQLALQKQILSRMIELGMTPVLPFSGNVPAALRE
IFPSANITRLGDWNTVDGNPRWCCTYLLDPSDPLFIQIGEAFIKRQIKEYGDVTDIYNCDTFNENSPPTS
DPAYISSLGSAYVKAMSKADKD**A**WLMQGWL**F**YSDSSFWKPPQM**K**ALLHSVPFGKMIVLDLFADVKPVWE
SSSQFYGTPYVWCMLHNFGGNIEMYGVLDALASGPIDARISENSTMVGVGMCMEGIEHNPVYELPEMA
FRKDKVRVEEWRVYSRRRGKSV**K**QADAWEILHR**S**IYNCSDGIADHNTDYIVKFPDWPSLNTYSTFS
KQNRTPSFITTHRNRRFILTETQSTLPQPHLWYSTRDAINALKLFIDAGQDLAGSLTYRTQITMWYDTTK
TNSQLHDYANKFWGLLVDYYLPRASMYFNRLSES~~LN~~TRFKIVEWRTEWISYSNKWQQDTKLYLVKA
QGDALAI~~ST~~SLFQKYFG

>XP_011401811.1 Serine palmitoyltransferase 2 [Auxenochlorella protothecoides]

MGTGTLAPSLKQALFAYTSFTLLYIFGQFRDFFRKRWSKASIKGYAPIRQDYEDFYTRRMYYRIHDCFNR
 PITGPPSSWMDVLERTPVNRQEPLTTGKIKRCLNLGSYNLYGFASSDPYCTPRVLDLTSQHGWSLCNSR
 ADAGTTPVHEELERELASFLGKEAALTCGMGFATNSAFLPVLATPGTLVLSDALNHSSIVAGVRAAKGTV
 RVFDHNDPEHLERLLRTALVEGQPRIHRPWRKVIIVVEGIYSMEGEVVLAGFVAVAKKYKAYIWDEAH
 SIGAMGATGRGVCEHGVSSADIDVLMGTFSKSGACGGYVAANKDVIDYFKAQCPAHLYATAMTPPAVQ
 MVLSALRLITGADGSDRGAHKLSQLRTNANYFRSGLLRLGFNVLDWDSPVMPVMIFQPAKLSATSREML
 RLGVAVVEVGFPATPLLT_{SRMVCISASHTQ}DLYALQLFDYVAERCDIRYGGDTARALANTGPKIQAV

>BAB10815.1 disease resistance protein-like [Arabidopsis thaliana]

MASSSSSSRNWSYHVFPSFSGEDVRNTFLSHFLKELDRKLIISFKDNEIERSQSILDPELKHGIRNSRIA
 VVVFSKYASSSWCLNELLEIVKCKKEFGQLVIPIFYNLDPSHVRKQTGDFGKIFEKTCRNKTVDKIRW
 KEALTDVANILGYHIVTWDNEASMIEEIANDILGKMNISSPNSDFEDLVGIEDHITKMSSLHLESEEVRM
 VGIWGPGSIGKTTIARALFSRLSCQFQSSVFIDKVFISKSMEVSGANLVDYNMKLHLQRAFLAEIFDKK
 DIKIHVGAMEKMKVHRKALIVIDLDQDVLDALADQTQWFGSGSRIIVVTEENKHFLRANRIDHIYKVCL
 PSNALALEMFCRSAFKKNSSPDDFLESVALRAGNPLGLNVLSNLRGINKGYWIDMLPRLQGLDGK
 IGKTLRVSYDGLNNRKDEAIFRHACIFNGEKVSDIKLLLANSNLDVNIGLKNLVDRLSLICERFNTLEMH
 SLLQELGKEIVRTQSNQPGEREFLVDLKDICDVLEHNTGKKVLGITLDIDETDELHIHESSFKGMHNLL
 FLKIYTKKLDQKKVWRWLPERFDYLPSRLRLLRFDRYPSKCLPSNFHPENLVKLQMQQSKLEKLWDGVH
 SLAGLRNMDLRLGSRLNKEIPDLSMATNLETLKLSSCSSLVELPSSIQYLNKLNDLMSYCDHLETIPSGV
 NLK_{SLDRLNLSGCSR}LKSFLDIPTNISWLDIGQTADIPSNLRLQNLDELILCERVQLRTPLMTMLSPTLT
 RLTFSNNPSFVEPSSIQONLYQLEHLEIMNCRNLVTLPYGINLDSLISLDLHSCKLTFPDISTNISDL
 NLSYTAIEEVPLSIEKLSLLCYLDMNGCSNLLCVSPNISKLKHLERADFSDCVELTEASWNGSSEMVKL
 LPADNFSTVKLFNFINCFKLDILTALIQNQTFMQLILTGEEVPSYFTHRTSGDSISLPHISVCQSFFSFRG
 CTVIDVDSFSTISVSFDIEVCCRFIDREGNHFIDSTDFPGYFITTKLGGHVVFDYCYFPFNEEFTFLDGQ
 FNYDHVDIQFRLTNDSLSQLKLKGCGILLSEDVPSLDNRPCSPNILPGVCEDSALERRSFRKMRMITEVA
 STVVRSDDEEARNGDIRESREYGKALFLSAKDFVSGNDTEE

>OAY71028.1 26S proteasome non-ATPase regulatory subunit 9 [Ananas comosus]

MVGANVKAETSLMERRAAMEADMNAIIDALSRRPGPGISGNLQLDSQGFPRPDIDIPTRVRAQRHRLAELR
 NDHKDITDKIDK_{NLQVLHSLRLGK}NEPAIPGDAGASASHGVSSQYSPMEEDPIVRIPFAIIDIEIVDDSPA
 AEDGLQLGDEIVKFGSVEIGDGLQAKLVSEAQSNGRTVPLIIIRHGSVMNLNVIPRQWRGRGLLGCHFR
 IL

>KZV29384.1 methyl-CpG-binding protein 2-like [Dorcoceras hygrometricum]

MDLTSGQEGKDTLGRDYRKGWTIQETMVLIEAKKMDDEERRMRSCTDQRAKQAE_{LRWKWVEDY}CWRNG
 CFRSQNCNDKWDNLMRDFKKVREYERRVVDAGVRGEGGADKSYWKIEKNERRENGLPSHMLIQIYEALV
 DVVEKKDQTMVASALAAAPASGGAASSNVDVPPNTGSGKSSLMALGQPSILPLVQQQAPIMLLPLPPP
 EPPIFPPFSQPLPTVDSEDTSECSES_{PAKRRK}KEGGGGAE_{TSGGPL}GEIGNAISKSASIMAKAIQSREE
 ADGRRHREVVGLHERRLQIEESKAEIKR_{QGMSNLVDAINKLADS}IQALAANNKNQESFK

>AHG59274.1 ribosomal protein S7 (mitochondrion) [Dicranum scoparium]

MNLFVKLSNFSFVLGSSL_{DWFHQSKL}SEKAGMKKNENWPFGKNLFFFSESFFARRLLHCRYLCYALPGH
 APSRPK_{DRGANTYNS}SDNLGYIR_{GLHS}KQKOLIKKLVHICMINGKKTRSRAIVYKTFHCLAQHGDILRL
 VNAIENVKPVCEVKV_{RISGTTQLVPSI}IATNRQETLAIRWMLEAAKRRMNKKSMSLDQCLADEILDAS

RKMGIAKKRDDLHKLAQANRSFSHYRWW

>XP_010099608.1 BTB/POZ domain-containing protein NPY2 [Morus notabilis]
 MKFMKLGSKPDSQTDGKNVRYVASELASDITVIVGDVKFYLHKFPLLSKSAHLQKLVSTATDEHSDGVY
 ISDIPGGPEAFEICVKFCYGMTVTNAHNVVVRCAAEYLGMHETIEKGNIYKIDVFLSSIFRSWKDS
 IIVLETTNSLTSMPKELKLVGRVCESIATKACVDVSKVDWSYSYRKLPREENGNNDPNWNGVVKRSVPK
 DWWVEDLCELEIDLYKIVLATIKSKAIVSNEVIGEALKAYAYRRLPGFSKGMIQCGDMVKHQTTDAIVW
 LLPAEKGSVSCSFLRLLKAANLVGSCDVKEELVKRIGQQLEEAASVNDILIRAAEEETMMYDVNVVQR
 IVEVFLRQDLNTEIESLEDDDQLQKMRPGILSDASKLMVAKLIDGYLAEIAKDPNPLSKFVDLAEVSGI
 SRPAHDGIYRAIDMYLKEHPGISKRICKLMDCRKLSVDACMHAVQNERLPLRVVVQVLFFEQVRAA
 ATSGSSTPDLPKSIKDLNNASHGSSRSATTNTEDWDADAVATAEELRALRGELASRLSNGVGGSERNGGD
 GAKSGVDKAAISKMRGLLKSKKIFTKLWSSKGQGENSGSDSESLSLGSINPEAKSTPSRNRRHSVS

>KZV45624.1 F-box protein [Dorcoceras hygrometricum]
 MPFEEILKVVFPPLLEGKDLVSCMLVCRQWREAAQDDFWKCLCARRWPSICKSSPPTLTYHKLFKNFYR
 RRPIRKILPPRLSFDLEFYIDIWTGERLILSEVI PGVLHKGMGTLPNGICDMLRFHLEGPEYKMTFSV
 QPRFNIPFDQTVSVSVLVGRDHKKVACVINKSIFDYIDRTAHRALAFDYIDFSPAHPFVSGIRAWFSLL
 FMDHGDEGIVDVFGIELDFCDVADSEDQVLWLDDMLDWK

>AHZ60327.1 PsbA, partial (plastid) [Eugenia bacopari]
 FVMXERNNAHFPLDLAAVEAPSTNG

>ADK47981.1 L-ascorbate oxidase-like protein [Cynodon dactylon]
 MTRGAAAALLALALVAVARAEDPYHFFEWKVTYGTKNIMGTPQKVILINDMFPGPTINCTSNNNIVINV
 FNMLDQPLLFTWHGIQQRKNSWQDGMPGTMCPIKPGTNFTYHWQPKDQIGSFFYFPSIAMQRSAGGYGLI
 SVHSRDLIPVLFDAPADDFPVLDWYTAKLHDAGKGIGRPAGLIINGKNDKDAASAPMYNFEA
 GKTYRFRVCNVGIKASLNVRVPGHNLKLVEMEGSHTVQNMYDSL DVHVVGQCLSFLVTADQKPADYFLVVS
 TRFIKEVSTITALIRYKGSSTPPSPKLPEGPSGWAWSINQWRSFRWNLTASAARPNPQGSYHYGQINITR
 TIKLSTSRGKVDGKERYALNGVSHVDAETPLKLAEYFNATDGVFQYNLISDVPPKAGTPIKLAPNVLSAE
 FRTFIEVVFNPEKSIDSFHIDGYAFFTAGMGPWTSPQRKTYNLLDTVSRTI QVYPRSWTAVMLTFD
 NAGMWNVRSNLWERQYLGEQMYISVISPARSLRDEYNMPETSLRCGVVGLPMPPSYLPA

>BAF98603.1 CM0545.270.nc [Lotus japonicus]
 MEHTEAGTVQAVLFQEEAVETIKGTQKMEPSEAGTVQMSDNVVLRKLLRGPRYYDPPADCGWETCYNCGE
 EGHATVKCAAKELKPCYLCGSLMHQAKRCKKEIQCYVCKSFGLCCANTTGSTPIEISCYKCGQTGHT
 GLARCSHVQGKNFFTENAGVMKEEVRKRGHTLSNTESPTFQKENGYMGR SAPHDGMGYMEKKPLTEE
 RAITTQQPSKHRGGCREDQAMLFITGSQHLGIGESEKLOQQVVAFQNSGL

>GAQ80887.1 mitochondrial ribosomal protein L13 precursor [Klebsormidium flaccidum]
 MSNHLKNVATVGLWRVLVDAKGEVLGRLASQVSMILMGKDKPTYTPHWDEGDVVVVKNARHVELGKKVK
 EKVYKWTGYVGGLKERTVEEKFEPTEVLRKAVERMLPKNRLDDMRKLRIFPDEEHTYEGLELWKF
 EMPPRNKRELPRLEARLLRKQQAEQEQLHNGASVEPS

>GAQ79155.1 Peptidase M15B and M15C [Klebsormidium flaccidum]
 MATTTASPASRSLQRLFCKSSPSQAPS KLLQTTPLKSNLFIDLLSPRSLLPRGGILKWLHSSKLLRNRSR
 QFSTQDICFSGYQRAFQQLRCTRPTVRTAAFSADRSNPLPDAGAYRKSTAQRPSEEDSLKREIDGERTGA
 EWRRDSVERSAGPVLPDTREFLSFERNVKVAIDPESIQQAVRIRPEDRLRKQKQKAAQPPWVAAWVLAG
 LALCAFWSWRVAKLGGDIHEPPIATVEELDSRPQKGLWAEQLKKAQAEDGFREQLLGHFRTEEAPKDDLVK
 LLRGTVKLRSAAAYSFFAMQQAAWKEGVQLLPISGFRSIEDQKDVFVFGIKAERNQSAKERAKVSAPPY
 SEHHTGYALDIGDAKAANTDLEFTFDQTSafeWLQRNGAKHFEMSFPRDNPYGVAYEPWHWRYVGNVHS
 LQMFHGHERVNSFPASDATA RT

>XP_003619298.1 eukaryotic translation initiation factor 3c [Medicago truncatula]
 MDNNDWGRQLQESFDKINKQLEKIRR VSEKIPKLYIRT LVVPKDFMAVSFRDKDVKKMIPKLKNNNKQYED
 LINK SLMILSMLIHR SHGKLFNKKFKWL VAVRGRKKTERFEQVDHILPTNQNWLKTPAQELQILFSVVSA
 QFDVNSSLIGGHMPINVWKCVHNMLVILDILVQYPNINVDDSEEPYESETKKGADYNFFKSLQCIDPHT
 CEYIERLQDEPMFGDFEGSLKVALMRVELIYYKPQEYVADMTTLVEPEPLNIFLLESVYLISVMLLEVFN
 IAANVHDVKRKIISKNFSRLLEISDKKHSTVLPKMLRIMS WLSQCFLSMETSTRLDKTKEEALIRTYLIT
 FSSSYESECGSVMNYEH HARWDQPSGCIVFRNVEPSMVQALAFELTEKLSILAKSSERATEAWLGSVGWI
 ALPLLQMVGVKTCRGSL LILIINILFLSLFFSNLLCTPFTICLF

>BAD61475.1 cis,cis-muconate cycloisomerase -like [Oryza sativa Japonica Group]
 MDSAISTSSSFSPRLSQNHGSIMSGSTRAQVLPVGRQQQQPPAGGATRLRAVSPSPSPPTPPAPQPAETF
 GFDALKEAFSDVVAEARPLNVPLAAPFTIASSRLDAVSNAVRVELRSGAVGWGEAPVLP SVTAEDQP
 GALAAATRACGALAGAPAAPLGA VLQDV ASALPGHDFASAR AGVEMALIDA IANSIR IPLWRLFGGASDS
 VTTDITIPIVTPNEAAQLA AKYRGQGFQTLKLKV GKNLNSDIEVLKAI RLAHPDCSFILDANE GTANQA
 IEALDRLNEMGVTPVLF EQPVH RDDWEGL RDVSIVAKEKYR VAVA ADESCRSLL D A QKIMDG NLAHVINI
 KLA KLG ILGA LEVIDA ARKARIAL MIGGMVETRIAMGFAGHLAAGL GCF SFV DLT PLLL SEDPVFGGYE
 VSGPVYKFTNARGHGGFLHLDNNGLK

>XP_002313657.2 TRNA ISOPENTENYLTRANSFERASE family protein [Populus trichocarpa]
 MGPTGSGKSKLAIDLAAHF PVEIINADSMQVYRG LDVLTNKVPISDQEGVPHLLGTLPNVEFTAKDFR
 DSAIPLINEILSRNCLPVVVG GTNYYIQALVSPFLLDDTTNDLDESLLNHPSGDEQTDHATDSGRESFNH
 SYDYLRELD PVAANRLHPNNHRKINQYI LYARSGILPSKLYQGKAAENWGCM DN YRFHCCFICVDADIP
 VLDYR VEQRV DMSI DAGLLGEVCEVYN YNADYTRGLRQAIGVREFDNFLRVYMSDEKGHD SMSGSLF LQSK
 NEDVKLLKD NMREI LHSSDDNQLKILLAE AIDKV KANTRRLVRVQKRR LTRLQTFFGWN IHYVDATEFIS
 CKTDELWAGQV VSSAVNVIR AFLTEERSAVPDLETHVGGGMKSVERNLWTQYICKACGNRVL RGAHEWEQ
 HKQGRGHRKRISRLRKSQGH SYSLV E QEVIS NSS

>KMZ57095.1 glucose-6-phosphate dehydrogenase [Zostera marina]
 MAFSASRCLFSISPGFSTS LSSPSSSSSSSLFCNLYSGSVQTRG ISLDQRRRCQWSTFVCKQMEAVK
 PSSGAKEVVL DKESSLMGRSVNGALPTTSSLSSKDNGENLGLIGEDK EITVTITVVGASGDLAKK IFPA
 LFALYYEDCFPKHFTI FGYARS NMTDAELRIMVGKLT CRIDKSENCDQKMKEFLSRCFYHSGQYDSEDN
 FSKLDEKLKEHEAGRISNR LFYLSIPP NIFIDVV KCASTSAS STSGWTRVIVEKPFGRDLESSSALT KGF
 KQYLDEDQIFRIDH YLGKELVENLSVLRFSNLVFEPLWSRQYIRNVQLI FSEDFGTEGRGGYFDSYGIIR
 DIMQNHLQILALFAMETPVSLDAEDIRNEKVVKVLRSMRPLEIENVVGQYK GHVKGGVSYPAYTDDNTV
 PKGSLTPTFAAAALFIDNARWDGPFLMKAGKALHSKRAEIRVQFRHVPGNLYKNTFSVDIDRATNELVI

RVQPDEAIYLKINNKVPGLGMRLDRSKLNLYAAKYSKEIPDAYERLLLDAIEGERRLFIRSDELDAAWK
LFTPLLEDRKIHPPELYPYGSRGPGVAGHYLAAKYNVRWGDINAENYKT

>AAF74625.1 integrase, partial [Oryza rhizomatis]
KGCR**DCQQFRAI**HAPASVMHPIIKPWPFRGWGIDMIGQINPPSSKGHKYILVATDYFTKWVEAVPKKV
DSKDAIQFVKEHIIYRFGLPQTITTDQGSIFASDEFVRFADSPASF

>XP_007031938.1 Ribonuclease H protein [Theobroma cacao]
MHHLPRVQSDHRPLLVLDDHQNGQSPSVCHFQSawlTHEDFGNFVQQRLLARLGGVEKALEHRVARRK
NKLKIIRLKEQGNWCDDQSTLQLQAVAFFQKLYTKDNGTLSSYSIRGTFLTSDKDKLRLTQLVESKEV
YDALFEMKPLTPGLDGLPTLFFQSOWAIVGQSLVKNVSNIMEGGDFGDNICSSLIVLIHKVFNPETISQ
FRPIIILLPVAFKRDWLSDKTLADITCRVANPALDKVVREFLPNGHWYDKLSYCLPNEVVLQVVQTM
PPTVIIAQDMPYWGESASGQFTVASVYDYLRLQSSPAKARPSGIWQGAWKQGSQRVRTFLFQCLHGRLL
TNRERLHRQLTTSCLPQCRCMEDETVTHTVLRDCMVATSLWVKIIIPQHEQNDFTFPLREWLVSNLQKQQL
ILGNPWSVVFGLACWCLWKWRNGVVFYAAFNPTRKRISMATATIATSADFVGQVERRKKEEVLIB
WRTPQVGWVCLNTDEAYKRSIEEASTGGVIRNAEGDWQAEFLAKLGKCSAYRAELWGVHLGLRLAWDSGF
KKVQVQVDNKMVPAVSTNKLIPGANTDLIRAIKDVLQKEWEVSFMHTYCEGNMVTDYLASYAFVLEKSY
IVLEQAPTGARKLLMYDMLGVCLPRMIPIQ

>XP_007031938.1 Ribonuclease H protein [Theobroma cacao]
MHHLPRVQSDHRPLLVLDDHQNGQSPSVCHFQSawlTHEDFGNFVQQRLLARLGGVEKALEHRVARRK
NKLKIIRLKEQGNWCDDQSTLQLQAVAFFQKLYTKDNGTLSSYSIRGTFLTSDKDKLRLTQLVESKEV
YDALFEMKPLTPGLDGLPTLFFQSOWAIVGQSLVKNVSNIMEGGDFGDNICSSLIVLIHKVFNPETISQ
FRPIIILLPVAFKRDWLSDKTLADITCRVANPALDKVVREFLPNGHWYDKLSYCLPNEVVLQVVQTM
PPTVIIAQDMPYWGESASGQFTVASVYDYLRLQSSPAKARPSGIWQGAWKQGSQRVRTFLFQCLHGRLL
TNRERLHRQLTTSCLPQCRCMEDETVTHTVLRDCMVATSLWVKIIIPQHEQNDFTFPLREWLVSNLQKQQL
ILGNPWSVVFGLACWCLWKWRNGVVFYAAFNPTRKR**I**SMATATIATSADFVGQVERRKKEEVLIB
WRTPQVGWVCLNTDEAYKRSIEEASTGGVIRNAEGDWQAEFLAKLGKCSAYRAELWGVHLGLRLAWDSGF
KKVQVQVDNKMVPAVSTNKLIPGANTDLIRAIKDVLQKEWEVSFMHTYCEGNMVTDYLASYAFVLEKSY
IVLEQAPTGARKLLMYDMLGVCLPRMIPIQ

>XP_007022697.1 Chaperonin 20-like protein [Theobroma cacao]
MPFRFPCLVVKQGGGIVSAFPKASSLSTDRLFLCQPPFLRVHLLSQTPLVPLSSPLSAGRLPLSQRW
VFPFLSTAFTRGSAPLSQPLSPVFPSSLAVHSRVAVKLTVASSFEVVRSMVVAEAEKTARGLLLTEAS
KEKPSIGSVIAVGPGTLDEEGNKPPLSVAPR**H**TILYSKYAGNDFKGSDGTNYIALRASDVMAVLS

>XP_002886459.1 F23N19.7 [Arabidopsis lyrata subsp. lyrata]
MAKSCYFRPALLLLLLLVRAESRGQFEPKILLPTEK**TKPTADQDEDGIGTR**WAFLVAGSSGYGNYRHQA
DVCHAYQILRKGGIKEENIVVLMYDDIANHPLNPRPGTIINHPDGDDVYAGVPKVLHNNSDSDSRDICY
GKLNLMCGPLIGIAPRFFIATSYFPFLIVCSDYTSNVTAANFYAVLLGDQKAVGGSGKVIASKPNDHI
FVYYADHGGPGVLGMPNTPHIYATDFIETLKKKHASGTYKEMVIYVEACESGSIFEGIMPKDLNIYVTTA
SNAQEESYYGTCPGMNPSPPSEYITCLGDLYSVAWMEDSETHNLKETIKQQYQTVMRSTSNTYSGGS
HVMYEYNNNSIKSEKLYFYQGFDPATVNPLPLKLPVNSQVGVNQRDALLFLWHMYRASEDGSRKDDTL
KELTETTRHRKHLDASVELIGTILFGPAMNVLNSVREPGLPLVDDWECLKSMVRAFETHCGSLTQYGMKH
MRAFANVCNNGVSKELEMEEASAACGGYNEARYTLHPSVLGYSA

>AGJ83756.1 heat stress transcription factor A-4a-like protein [Caragana korshinskii]

MDEAQGSSSLPPFLAKTYEMVDDPSSDPIVSWSVTNKSFIVWPPEFARVLLPRFFKHNNFSSFIRQLNTYGFRKVDPEQWEFANDDFIRGKPHLMKNIHRRKPVHSLSQNLQSQVPLSESERQSLNDEVEKLKQDKERLLMELKRYQQEWQTYEIQIHCSKDRLEKLEQKQQKMVSSVSQVLQKPVIALNLLPLTETMDRKRLPRS GYFNNEANTEAAETSQMFPRENAEGTSVLSSMERLDQLESSMVFWETVAHEVGDKYVHIHSNMDLDES TSCADSLSISCVQLDVEVRPKSPGIDMNSEPAAVVPEPIASKEQPVGITTAATGVNDVFWEQFLTEDPS ALEAQEVQSERKDYNNGKKNEGPNPSDLGRFWWNRRNANNLPEQMGHVSQAECT

>XP_010096695.1 3-ketoacyl-CoA synthase 21 [Morus notabilis]

MELLMAISLFLVISY AFLHLTKSLLQHQCCYMLAYECYKPLEETKLSTDACAKIVLRNKNISVDELRF LLNAMVSSGIGDES YGPKNVLEGREESPTLTD AISEMDEVIFTLDSLFAKTGVS PAQIDILVVNVSLFS PAPSLTSRIVNRYKMREN VMSYNLSGMGCSASIIGIDL VQHLFKTHENS YAI VVSTESFGLHWYCGKEKS MMLSNCI FRSGGCSMLFTNKNELKKAI K LKCLVRTHLGADDEAYECCIQLEDEKGHEGFR LTKLTKA AAKALRLNLRVLVPKILPVREILRYWIVNLIRNTNNKGDPQLTSSGANLDFKTGAEHFCIHPGGRAVID GVGMSLGLSEYDLEPSRMALH RFGNTSAGGFWYVLGYMEA KKRLKK GDRILMM SF GAGFK CN NCLWEVMRDLDDEDGASSVRQHF GGRVLV RFGVHGGKEEAQERR

>AAQ09385.1 photosystem II cp47 protein, partial (chloroplast) [Euptelea polyandra]

VVLNDPGRLLSVHIMHTALVXGWAGSMALYELAVFDPSDPVLXPMWRQGMFVIPFMTRLGITNSWGGWSITGGTITNPGIWSYEVAGAHIVFSGLCFLAAIWHWVYWDLEIFCDERTGKPSLDLPKIFGIHLFLSGVAC FGFGAFHVTGLYGP GIWVSDPYGLTGKVQSVNPAWGVEGFDPVPGGIASHHIAAGTLGILA GLF HLSVR PPQR LYKGLRMGNIETV LSSSIAAVFFAAFV VAGTMWYGSATTPIELFGPTRYQWDQGYFQQE IYRRVGA GLAENL SLS EAWSKIPEKLA FYDYIGNNPAK GGLFR AGSMDNGD GIAVGWL RHP IF XDNER RELF VRRMP TFFETFPVVLVDGDGIVRADVPFRRAESKYSVEQVGTVEFYGGELNGVS YSDPATVKKYARRAQLGEIF ELD RATLKSDGVFRSSPRGWFTFGHASFALLFFF GHIWHGARTLFRDVFXGIDPDIDAQVEFGAFQKLGD PTTRRQVV

>NP_564042.1 Aminotransferase-like, plant mobile domain family protein [Arabidopsis thaliana]

MPVLYEQDKHVSSAILTQGQERGVLRQCERTSLLHHWKLTKQIALVEKAGFGWFR LVGSISLNNSLISALVERWRRETNTFH FPCGEMTITLDEVSLILGLAVDGKPVGVKEKDEDPSQVCLRLGKLPKGELSGNRVTAKWLKESFAECPKGATMKEIEYHTRAYLIYIVGSTIFATT DPKSISV DYLILFEDFEKAGEYAWGAAALAFLYRQIGNASQRSQSIIGGCLTLLQCWSYFHLNIDRPKRTTRQFPLALLWKG RQ QRSRSKNDLFKYRKALDDLDPSNVSWCPFEGDLDIVPQSFKDNL LGRSR TKLIGPKVVEWF PDRCMKQFGLCQVIPGEVPPRKNEKNHDEDLLED MNTADEEWMR RRENIVENG GNGDESEYMQW FNSITVPKLHRDTSLEADIMNVQAA ILQFDEVASTLSLEDLHPEERAIEEAVMSMSNALRVGDWYEASTTNKRKRREEQQQTDWSE

>ABA91431.1 GRAS family transcription factor containing protein, expressed [Oryza sativa Japonica Group]

MMHGLWVQDG VVDHLAQLVPLLHECASHVTEGSFEKADFSFKKIRMLTIADGPLQRLSTIIVDSL AHRL LSSTQGLPGALIDPSDYFEKSTLRAARHNFFKLN PYLSTGFVTINWAIMEAMEDEKVDLQV VHIVDLSCS AAHPWQWPKLLDDFHGRPGGAPELYLTVLHDDNDFLADMQSILSKKAESLGVS FHFISVIGRLETLD FSN LRSTFQIKFGVAVAISCALQM H RLLVDDNLSSTSIAQLQKMANFTQPKQMASSVCSPASTLN YLQTPSP RTPKLLARLLSAIRALKPNIMLIMEQDADHNTLLFRDRFNEVLYAALFDCFHA VAAANPGRTDERLRV DRMILREEIKN ILVCEGVHRHERHERLDQWAMHMEESGFHNVQLSFSAIREAYVWQLKVQADNLR LCCTD

RGMFQDDMLSSATSSPASSVYSPSPSPNSGSWVQELSHDQQSVRLIGLLYQCAAEVSGSFDRANLCLEH
 ITQLASLDAPHALQRLAAVFADALARKLILNLGSLRALLSANSADAHLVPVARHMFVLPFLKLAYL
 TTNHAILEAMEGERFVHVVDIFSGPAANPVQWIALFHAFGRGRREGPPHLRITAVHDSKEFLANMAAVLSKE
 AEAFDIAFQFNAVEAKLDEMDFDALRHDLGVRSGEALAVSVLQLHRLLAVIDGRRHAAAGCLTPVQIIA
 RSSPRSFGEELLERELNTRIQLSPDASVVSLSPHSPAATAAHPTTSTPKLGSFLSAVRSLSPKIMVMTE
 QEANHNGGAFQERFDEALNYYASLFDCLQRSAAAAERARVERVLLGEEIRGVVACEGAERVERHERARQ
 WAARMEAAGMERVGLSYSGAMEARKLLQSCGWAGPYEVHDAGGHGFFCWHKRPLYAVTAWRPAASRRG
 HTRS

>KYP38396.1 OTU domain-containing protein 6B [Cajanus cajan]
 MLGVLCATRPKPWLSSLVHASLPRLAAASLSLSSLSSASPPRRHHSTACKLLAHAGGAASIWHAIRPR
 GAHGFRILAVHDPKGEGSWNVAWDARPARWLHRSDSAWLLFGVCACLAPPACADADAFSPDETGPRLP
 LDGK**VEDEVSADYRITGVPADGRCLFR**IAHGACLRNGEKAPDENRQRELADELRAKVVDELLKRREETE
 WFIEGDFDTYVKRIQQPYVWGGEPELLMASHVLKTPISVFMRTGSLDLVNIAKYGEERYRNQKEISIDVL
 FHGYGHYDILETL

>EMS67907.1 ABC transporter I family member 1 [Triticum urartu]
 MALNLPISLK**SPPSAGAGSRAAGVGEEQEMRKELELLTKPRKGEFSFLVKGLPGSTGLSKKGFQINA**VP
 FHEAILWNGHDVTSPGVFQQYKLQLNWSMSLKDAVKEKLTVELNVQWFELLEGKHGRSAPAIEMGLGRIM
 NDKARMLSMGQRKRLQLARLLAIDRPIWLLDEPSVALDSEGVKLLEYIIAEHRKKGGIVIVATHLPIEIE
 DSMNLRLPQRELYELEHSADQMRLQ

>XP_013446519.1 multidrug resistance protein ABC transporter family protein
 [Medicago truncatula]
 MAILDVLLGTINVTFYVILIWVLFDLSLRQSTRNNLQHFKHTPTIFSYTIVFFNAVISLLNIAFVFYDYT
 TRGIIGFNYVSFGLTWVLATMVSFYSMKKTRENKRFPTVLLWWFFVTFVHIIISLSLKLVKNSKSINLW
 ILLLEKNTVETVSLPMLLVMCFNAFPNCVREQSEIEERLLQKEFESSTFEDEEEAFAKAGVWSKLTFRWL
 NPIFEMGRIQKLEHVNVPSVPPSETAASASSMLEESIRKQKLECGSLSKAIVDSVWKSLLNAVLAGVNT
 IAAYIGPLLISNFVNFLSNNDSNIKYGLILAFIFFLAKTVESLSQRQWYFGAQRIGIQVRAALMALVY
 SKSLMIKCGGPTHGKIINLINVDVERIGDFCWYHVGVWLLPVQIILALVILYINLGCTPSIAALAVTILV
 MVCNTPLANMQEGLHSKIMEAKDSRIKMTSETMKNIRILKLHSWESTFLQKLLQLRDTEKKWLHKYLYLC
 SAVATLFWASPTLVSVFTFGACILVKTELTAATVLSALATFRILQEPIYNLPELISMITQTKVSVDRIQE
 FIKEEDQNQFMNRHASKTSTIAIEIKPGYEAWEANDQFLKKPTIHIAEKLMIKKQQKVAVCPVGSGKSS
 LLCSMLGEISLVSAGAATKVGTRSYVPQSPWIQSGTIRENILFGKQMNKFYENVVDGCALLQDINLWSD
 GDLTMVEERGINLSSGQKQRIQLARAVYNDSDIYFLDDPFSAVDAHTGSHMFKECLMKLLYDKTVVYATH
 QLEFLEAADLILVMKDGFIVESGRYRDLIACPHSEFVQQMAAHEETVCQIPCRKDDSVCCRPCQKNPTEI
 AEEENIQEIMLDWKRTREEEAMTGRVKWSVYSTFVTLAYRGALVPIILLCQILFQVMQMGSNYWMSWATEK
 KGRVDNVQLMGVFALLSGGSSIFILGRTVLMATSVETAQRLFHGMIAVSFRAPVSFFDTTPSSRILSRS
 STDQSTVDTDIPYRLAGLVFALIQLLSIIVLMSQAQWVILLFFVVLALSVWYQAYYITTARELARMVGI
 RKAPILHHFSESIAGAATIRCFKQEKIFLTKVMVLIDDYSRVAFHNYATMEWLSVRINFLFNLFYFVLV
 ILVTLPRSAINPSLAGLVATYGLNLNVLQAWVIWNLNCVENKMISVERILQFSNIPSEAPLIQDCRPEP
 EWPKEGKIEFLNLHIQYDPSGPMVLKGVTFCVPGQKK**IAVVGRTGSGKSTLVQALFRVVEPLEGCILIDG**
 VNISKIGLQDLRSKLGIIIPQDPTLFLGTVRTNLDPLEQHTDQLWEVLRKCHLAEIVQQDPRLLDAPVAE
 NGENWSVGQRQLVCLARLLLKKRKILVLDEATASIDTATDNLIQKTIREEETSGCTVITVAHRIPTVIDND
 LVLVLNEGTIAEYDQPSQLLQANSSSFSKLVSEFLRSSQSNCKKR

>AFW60210.1 benzoxazinless1 [Zea mays]
MAFAPKTSSSSSLSSALQAAQSPPLLRRMSSTATPERRYDAAVVTTTARAAAAAVTVPAAPPQAPA
PAPVPPKQAAAPAERR**SRPVSDTMAALMAKGKTAFIPYITAGDPDLATTAEALRLLDGCGADVIELGVPC**
SDPYIDGPIIQASVARALASGTTMDAVLEMLREVTPELCPVVLLSYYKPIMSRSLAEMKEAGVHGLIVP
DLPYVAAHSLWSEAKNNNLEIVLITTPAIPEDRMKEITKASEGFVYLVSVNGVTGPRANVNPRVESLIQE
VKKVTNKPVAVGFGISKPEHVQ

>AMD61995.1 acetyl-CoA carboxylase carboxyltransferase beta subunit
(chloroplast) [Tetraploodon fuegianus]
MSLMNWFEDKRRFGLIGASIEKATKGYILNERKRLKVNTTNGWTRRDNCENILYVKFLQNKSCIEEC
GYHLQISSTERIELLVDRGTWQPMDEDMVARDVLKFSDEDSYKSRVIFYQKR**TGLTDIAQTGIAKLNKNL**
IALGVMDQFMGGSMGSVVGKTRLIEYATEKSMPLIIVCSSGGARMQEGTLSLMQMAKISSVLQIHQA
KKKLLYIAILTYPTTGGVTASFGMLGDI_{II}IAEPKAYIAFAGKRVIEQTLRQKIPYGFQVAESLFDHGLLD
LIVPRNLLKGVLGKIFELYGLAAYKERNNYFF

>XP_005645574.1 glycoside hydrolase [Coccomyxa subellipsoidea C-169]
MLVALVPCLFILAAANQVAPAPAPSNSDPTKDCDCNPQAVAVSGVCKPFRLPTWSCMVDPKNSLPEYPRP
QLMRPDYLSNGVWEWERADSWQSGPVPVNRTLEGSIVVPYPLEGDLSGVLDHNKTGVFRMWFYRRSFQVA
KDHALGHNTNVLLHFGAIDWEAEVWVNGERLGQHQGGYDKFYDITEALKGNNGTHELIVRVYDPTETA
HIPTGKQRHYVPDRDIFYKGSSGIWQTVWLEPVPAAYVTRLDMPDIDSSLNVTVLGSKAAEGLTVQID
MYIPQNGTAVVSAQGIVGRPLSVTIPNQRLWAGVADPFLYDVRVRILQTPSTSSFGRKAMPVVNLVSAYH
DEVMSYIGLRKWSDLKAGDIRELRVYLNKPFVFFGPLDQGYHPDGIYTAATDEALAWDLEAIKALGMNM
VRKHICKVESDRWYYHADRLGLMVWQDAVSMFWEKPYTEGEQFRTAGVKAQFELEMRRMIEEHVSSPSVGI
YTFVNEGWGQFDTQR**MVQLGKSLDPSRLWDAASGWIDPQDR**TAFGDFNNKGWPWMYHYKGYVGDLRDDHNY
PDAKASGATSTRANVAGEYGGGLFTTGHTWVDSRDKDRFIGGLHHVRLVKSSGLSGAVYTEITDVED
EVNGLYTYDRQVFKMPDLEAVQKEIKDLLSTDVN

>GAQ77714.1 Cyclic nucleotide-binding domain containing protein
[Klebsormidium flaccidum]
MSAFWRKFRTAVRFLNKAKGPAEKSADQASERELVACQVAILQKSPEARTDEDLAVIDDILKSVKFTAEL
PLRVRLIEICKNCTYKQGAAGQELFKQGDGSKEFFIILSGIVTC SAINTSTGQASVVARLTIHQSFGERGL
QSKNATRQETVTLESRCDFLVISRDNFDVINQHLQSNESRKVDFLRNVGVFAHLPQSSLQMIATAMAAR
TCPKNSVIKRQGGDSTEIYFLVTGTCRVIRDVTFSSRESIQLSSLSLVRDAIDSASDAAAGR RRGDAAA
PDTILGLPLAPTSAGTFALPASLAVPLTRTEGQRSSAEAAGSEDQEEGSTPSTA
REAEAEEDDKEGAL
IGVDKRADDPIASETVESRKSRSFQLPSSTPPERGRSGTSSQSRRKSSDPVGRTPDSAPSTGRERTDF
PARAYAGAGENVSPKRTSSGPPSFRAPPEPFFPAGINPSHGERIYPWERSQKWPKTPRSR**SASPPHVTE**
SPRARRARASADPYSSKRLTVQMLRAMPKRKEKSRRLFLEGQLNPPAYFGEAGLLRNEARWTTIVAAT
NVELYVMNKLDQVRVGRDI_{II}KQMEQRIPEYPTDDAIRKQFLRNVLWSNYKAALVSEVTAHRSGNGKPTS
AVPLPSANFRQPDGQTVRLPRLERKTNASAPNVKLLKGAVMPIPTLD

>XP_013900990.1 outer membrane adhesin like protein [Monoraphidium
neglectum]
MQMHQHASLAVLLVLAAMVSSTGAAPVSLVVTNDQDTGPGSLRDALSTVQPAATTIITFSSSLAGSTID
LTASGSLVLPALVGNASLTVQAPAVAGSPVLIVQPLVAGGNPETALGSKTATSATNPNVVVEINFOFAE
MTFAVYDGELR**FTDCEFSSQGSLQALVTKSALIVAGDRSKLT**LTRVRMTGFRFITGNPPGPAANGAAI
RADPSISAAYPLRPTGVVATDLRVisCEASNGAIFVQDTPFTCTRFLSNVGTNGGGLYATGTGAAVAL
TDCQFSANIAQTAGGGMHVINGPTVVVRRVFIGNQATFTGGGLHYSSSTSEAVLIYESSFVGNALVSSA

AARGGGAYIASGNSLPTPPYATIQIHSTTFYNNELSGNPNGEGSGLYLQLLQGPPANASIISCLWRDG
 FNAYPVYYTPSFSIAMAAMPFYNNNDWSGAAGVVGFGNMDANPLLPVSTFWIPFPSSPVIDAGANPN
 GDTADVRGLARVVGAAADIGAAENQAPVAVDGAUTVNQGTVVTAQAPGVLAGAYDPGDAPIRAVLVSGP
 TNGFLTLSSDGSFQYTPSVNYVGPDTIAFRASEGPRLSAVHQFIITLVRVNHAPVAGNVAYSVKQDFTLN
 QPAPGLLASSSDPDPGDRLSVAAVIPANGALVPQADGSFRYTPNHFSGSDSFQVMDGAGATSTAQG
 TITVVSNQPPIATNLNTGKESTALVVDSAAGVLSTASDPDGDVPLSALLAPGGSPTHGALTLSANGSFT
 YSPTPGYSGPDKFTVVDTRNGTVTRQANINVANLPPVATDLSYTAKQSVRLSVNASVGLLSTASDPD
 GDLPLVASVAVAGSGPAHGTLNQPDGSFTYAPTPGYSGADAFNFTVTDHRNGTVSRQATITVDANLPPVA
 TDLSYTAKQSTNL SVNAGVLSTASDPDSLPLVASVVGSGPAHGTTLQPDGSFTYTPSPGYSGADA
 FNFTVTDHRNGTVSHQANITIVANLPPVATDLSYTAKQSVL SVNAGVLLSTASDPDGLPLVASVVAR
 SGPAHGTLNQADGSFMYAPTPGYSGADAFNFTVTDHRNGSVSRQATITVVVNLPVASDLSFTAKQSVT
 LSVDASAGLLSTASDPDGLPLVASVAVAGSGPAHGTTLQPDGSFTYAPTLGYSGADAFNFTVTDHRNGS
 VSRHATITVGEMLNAKRWTLSNMYVCLYT

>XP_013452787.1 pentatricopeptide (PPR) repeat protein [Medicago truncatula]

MSSLVHMYLKCNRIDDAQKLFDMC DRDVIVWSAMIAGYSRLGNVDRAKEVFCEMRKEGVEPNLVSWNGM
 IAGFGNVGLYDEAVRLFHEMVSEGFLPDGSTVSCVLPGVGNLEDVLMGKQVHGYVIKLGLESDKYVVSAL
 LDHYGRGCGAPEMSRVFDEIDQTEIGSINAFLTGLSRNGLVDTALDVFKFKAGELELNVVTWTSIIASC
 VQNKGKDEALELFRDMQADGVEPNAVTIPS LIPACGNISALTHGKEIHCFSLRKGIFDDVYVGSALIDMY
 ANCGRIRLSQNCFDEMPFRNLVSWNSIMSGYAMHGKAKETIEMHMMQLQSGQKPDSITFTSVL SACTQNG
 LTEEGWHYFNSMSKEYDVPKPMEHYACMVTLLSRVGKLEEAYSIKEMPFE PDACVGALLSSCRVHHNL
 SLGEIAAEKLFVLEPDNPGNYILLSNIYASKGMWDEENVRDMMKS KGLQKNPGCSWIEIGHRVHTLVSG
 DKSHPQMKEILEKSEKLSIEIKE SGCLPMTKSVLQDVEEQDKEQILCGHSEKLA VVGLINTSPGQPLQV
 IKNLRICDDCHAVIKVISRLEGREIFVRDTNRFFHKEGVCSADFCIYYMPTVIPGGDLVKVRRTFCI
 ISNSTNVAEVFGRKFAMTTSLITCKPSVHLSTETDYKEVGAESSEGGKEDIDNY

>XP_005647413.1 argininosuccinate lyase [Cocomyxa subellipsoidea C-169]
 MASAQAVQEAAITGEKKLWGGRFTGATDPLMEKFNESLPFDKRMWREDIRGSQAYAKALARAGVLTAEE
 AEQIVEGLGKVELEWEAGTFKIVSGDEDIHTANERRLT E LIGSVGGKLHTGRSRNDQVATDTRLWLYGAL
 QDTRGYLADLIKTAIDRAELDVDVIMPGFTHLQPAQAVRW SHWLGHAAAQRDDMLRDLMPRVATLPL
 GSGALAGNPFGVDRQFIARELGFIGGVCPNSMDAVSDRDYVLD TLYFVAVHMAHLSRWAEDLIIYSSGLF
 KFVQCSDAYATGSSLMPQKKNPD ALELIRGKAGRCQGNLAGLLAVMKGAPTTYNKDFQEAWQLMFDSVDT
 ANDCIRIATGVLSTIRINPDRMLAGLSPDMIATDIAEYLVRKGPFRETHISGA AVKMAEDR GTTLFDL
 TVADLKTIHPLFEDDVLEVWDYNRSAEMRDTEGGASKRSVLEQAQKLKRYLGAEGL

>XP_003624729.1 peroxidase family protein [Medicago truncatula]

MKQISIIIFFFILPLAFADLELGFYASSCRKAESIVKQVVQKRFN RDKSITAALLRMFHDCFVRGCDAS
 LLIDSTKNNISEKDTGANDSVRGYDLIDDVKEAIEAACPSTVSCADIVALATRDAVALSGGPKYN IPTGR
 RDGLIANRDDVLPGPNIPIGALSQFFAAKGITTEEMVTLLGAHTVGVAHCGFFASRLSSVRGKPDPTMD
 PALDTKLVKLCKNSDGAFLDQNTSFTVDNEFYKQILLKRGIMQIDQQLALDKSTSTFVSNFASNGDKF
 VKSFATAMIKMGKVGVLVGNEGEIRKNCRVFNKR N

>AKF41605.1 ribosomal protein L9, partial [Sonneratia caseolaris]

PEGVSIKVNAKVIEVEGPRGKLTRNFKHNLDFQLIKDEDTGKRKLKIEAWFGSRKTSAAIRTALSHVGN
 LITGVTKGYRYXMRFVYAHFPINASITNGNNSIEIRNFLGEKVRVKVDMLEGVSXPSEKVKDELIVDGN
 DIELVSRSCALINQKCHVKNKDIRK

>KHN05237.1 Cadmium/zinc-transporting ATPase 3 [Glycine soja]
 MSSLTSMTPQKAVIAETGERVDVNDVKINTILAVKAGDAIPLDGIVVEGKCEVDEKMLTGESLPVIKELD
 SVLWAGTINCKNYCVGKRHMVARMSKHVEASSRKSQTQRFDNFAQSTIFLQVTVGLISAGIAVVPAAL
 KVHDIKPWFHLVIVVLLIACPCALILSTPIAIFCALTKAAISGLLKGGDYIETLSGIKTVAFDKTGTIT
 RGEFTVTDFSVVDDISIKTLLYWVSSIQSKSSHPMAAALVEYGMSNSIKPKNVENFENLPGEGLGTI
 DGKDICIGNRRIVFSLVDTCRAGALEAIEEPKLLGVRSVMLTGDRSQDAIASPSEKAVIIENFK**KDGLIA**
MIGDGINDAPALVKKALSLSGEVTKINVTLQPKTNKLTVPKSVNVQDGGRRPLFRPDQFVTLTSMDRFL
 NEMEREKPIGFTVEQLRIATDNYSLLGGSGGAVYKGSFSDGTSIAVKVLRGSSSEKRIIEQFMAEVATIG
 KVHHFNLVRLHGFCFESHFRGLVYEMANDTLEKYLFCKSMFLSFEKRHEIAVGTPRGIAYLHEECQQRI
 IYYDIKPGNILLDNFCPKVADFLAKLCNRDNAHITLTRGLPGFAAPELWMPNFPVTHKYDVYSGMLL
 FEIIIGRRRNHNINLPESQVWPFPMWVWKRFDAEQVRDLITACGIEDQNCEIAERFVVALSCVQYRLESRP
 IMSVVVKMLGGFIEVPKPMNPFPHLVDWSSPTHLVQASQINADKSICFDSSVMLTKSVHVITTPILTKYE
 IYLKKFQ

>ADE87856.1 maturase K (chloroplast) [Gavilea littoralis]
 MYINGRITKIFRLLKKDTFRQQNFLYPLLQESXYSLAHDSFNSFIFYEPVEILGSDKSSLVLVKRLIT
 RMYHQKSLIYSVNYSNQNGFWGHKNSFSSQILSEGFGIILEIPFSSRLVSSFEKKRPKYQNLRSIHSIF
 PFLEEKFSHLNSVSDLIIPHPIHLEILVQILKCWIKDVPSLHLLRLIFYEYHNLKNFITSNKFIHVFLKR
 KKRFFWFLHNSYVYCEYLFLFLRKQSSYLRSTSFGVFLERTHFYKIEYLLGVYFNSFQRILWFLKDPL
 INYVRYQGKAILASKGTLILMKWKYHLVNFQFYFHFWSPYRIHIKQLPNSSFSFLGYFLSVQKNTLV
 VRNQMLENSFLINTLTKKLDTIAPVISLIGSLSKAQFCTISGHPISKPIWTDSLSDILDRCFCRICRNL
 RYHSGSSKKQVLYRIKYILRLSCARTLARKHKSTVRTFMRLGSGFLEEFFMEEEQALSFIFLQKRA**LA**
F
PLXELHRERIWYLDIIRMNDLVAHS

>XP_005650585.1 NADH-ubiquinone oxidoreductase [Coccomyxa subellipsoidea C-169]
 MLVGRSAAARELQKSLLRSFSAQASPPPPTPPSEKTTYGLRDEDRIFTNLYRQGDPIKGAMARGDW
 YRTKDLVEK**GSDWIVGEMKK**SLRGAGFPGSLKWSFMPKVSDGRPSYLVNADESEP GTCKDREIMR
 HDPHKLIEGCLIAVGMRARAGYIYIRGEYYNERLALERALSEAYAKFLGKNACGSGYDFDLNVAYGAG
 AYICGEETALIESLEGKQGKPRLKPPFPANVGLYGCPTVTNVETVAVAPТИLRRGPEWFASFGRKNNAG
 TKLFCISGHVNTPCTVEEELSIPLRELIERHAGGVGGWDNLLAIIPGGSSVPCLPKRICDDVLMDFDAL
 KEAQSGLGTAAVIVMDKSTDIDAIARLSYFYKHESCQCTPCREGAPWLYDIMTRMKGDARLEEIDML
 WEVTQIEGHTICALGAAAWPVQGLIRHFRPEMEERIGRFCEQIAA

>EMT04584.1 Medium-chain-fatty-acid--CoA ligase [Aegilops tauschii]
 MKKRLANGTIK**CDS PGVDRLLGPLDDVLR**ILGFLPTPLAVRATQLSRRWRLWPAHFALNLSVQDCKN
 RGVGVRFPDLCARALARFPIFSIPSISLEFCTRQIGVGKAKAWYAEAMERAAGSVSVTVLGAFPLALP
 RFTQAEALSLLTHRIDELEPAAGDDPLIQACSITTEHLELDLVPDEMTLDNWLGPEERGSPACEDLMR
 HVPPLPRVTVLSLKVRWGIGGDVGPCLASLLSRVPSVATIHVGPAPECLTVLGAVVPRGECRWGRCVDE
 RSSGGQLGSLREIVVHGLRGTDGECSLVEVLLGTVPPSIERISLRCSKLGPNPANSCLTPLGFLELAA
 TAYRDCPSVIYHDTVYTWSQTFRRCLRLASALASIGIAHRDVSVLLPNVPAMYEMQFGVPMMSGAI
 NTRLDARTVSLLHHSGSKLVLVDPASLQLLEDALRLLPEHSAPRVVADDPHEKEELL
 PAPATALTYER
 LLEKGDPDFAWVRPANEWEPMILNYTSGTTSAPKGVLHCHRGIFLITLDSLVDWGMPARPTYLWT
 LPMFH
 VIGWSFPWGMAVVGGSNVCLRRVDAADVYAAISRHGVTLCAGAPVVLNMLANA
 PEAVRKTLPGNVEILTG
 GAPPAAALHRTEAIGFKVRHGYGLCETAGLATSCVWNAGWDKLPATERARFKARQGVRTPATA
 EVDVVD
 EKSGRSMRRDGSTVGEVIRGGGGDPDGWFYTG DVGVMHPDGYLEIRD
 RSKDVIISGGENISSVEVESV

LGELTEAELVAWSRERIPRYMVPKTVVFRDELPKTSTGKIQKYVLRNIAKEMGPTSRGVSSKM
 >EMT29259.1 Peroxidase 70 [Aegilops tauschii]
 MASDLSGVAQWRLGVRWVTMDSCRRTTLSGVVVASMAERPSKVDASVSDLRMDRWKEVTAIAACACATC
 AAVANAQLSENYGGSCPAALLTIRTPVATAVLLDR_{RM}GASILLRLYFHDCFVQASPQDPLLFPWSSFNI
 GCDASVLLDDTPSFTGEKGAGPNAGSLRGFEVIDRIKILLELICPGTVSCADILAVAHAHDVVHLGGPSW
 TVLLGRRDATTASASLANSIDLPGPNSNLNDLLAAFSKKGLSSTDVALSGGHTIGRAQCQNYRNRIYADT
 DIDGTFAASLRGDCPQGGGNDGNLAPLDASSPDYFDNSYFSGLLSHRGLLHSDQALYDGGSTDGLVRSYA
 SNNDQFGSDFAAAMVKLGNLGVLTGAYGEIRVNCRAVN

>EMT10537.1 DNA (cytosine-5)-methyltransferase DRM2 [Aegilops tauschii]
 MADRDSDSDNVKFWDWE_DGEAE_PSAPA_RN_SDAPGP_TLDSNGQANEEAP_STALIEEYVAMGFPKEIV
 VKGMKEIGNTQRHS_DADALLELITYQALGADD_AVGN_CSTSGCAPQGV_EEEEDDDDFENWDGDDDDVG
 GRGTNCDDPGDED_FLQEMSQ_KDKKINS_LVDMGFPEDEANIAITRCGV_DADLCVLVDSISASLVAGDFNSR
 NISDHQVM_DRCFDSFGGRKKARLMEE_SKKR_MQYAQGSGSSFAGSHDEP_TRP_DPMVGFNLPSDR_KPSMT
 RMLPEQAVGPF_FYFQNVARAPRGAWTTISKFYDIQPEFVDSKYFCAASRESGYIHNLP_IENREALLPF
 PLKTVF_DAFPHYKKWWPSWDP_RRQLNCLQASVATAK_LDQI_QRTL_ASGNPSVQKHVVDECKTWDLVWVG
 KNKVAQLEPDEMESLLGFPRDHTRGV_VKTERYK_SLANSFQVDTVAYHLSVL_RDMFPNGVNVL_SL_TGIGG
 GEVALHRLGIRMRTVVSVEEGETNRRI_FEGWWDQTQTGKL_VQIANLK_SLTNERIASLVGR_GCFDLV_IGG
 SQGQTYFWKNTSCLMSLSSCMIFKVWENKPIRLPGYQVSQVCKVQNLGSDFVIGILHGEEDERERKKRD
 K_KESRRSGRDGRGSDEEEERRRK_HDRGKD_KERDSKERRSKEKEKSKRKDKDAPSLKQDIKEISKDD
 YFAKNNEFATWLKEEK_GKYFSDLSSESARDIFLK_FV_KQWNKGKLPSQYYVGITTGPRSAHNWN_IKKA

>XP_001421601.1 TRP-containing protein [Ostreococcus lucimarinus CCE9901]
 MSLPELLDFCVCKPGDTISEQQ_LADAGVKRAVIHGDAALDTKNALAVTSLCKVRLKW_FD_EECWKQD
 EFVVYDGTVPSGVELAIMNLHEGESVAFNARGEALTD_FEPLPKADISQVFRSGQAEVLDV_KLERKDK_FD
 MSASDKIAFGEKMNEIGKKLFANGRLARA_AE_VWKR_AEVFAVLEPEDEDVN_PNGMKNNEACHEVARKVYL
 NMALV_MYKLENFTECELYCCDVLDTRVDEPTYSQIKSKALFRRGCARL_LRKV_SLGSRITADTAEADFFL
 ASELDSSIDVAAHF_DACTELREQ_LLASGVEIPSDDVETPN_VDEMNH_YPTDIEHALRQIRRENLHDGLAF
 EHPQKRAAILEERMRVYRRLMD_ETPWSALRGTMFDADSEELQKTATTAREVDT

>KHG27763.1 Ubiquitin carboxyl-terminal hydrolase 13 -like protein [Gossypium arboreum]
 MTLMTPPPLDQEDDEM_LVPHNDFVDPQPLEVAKEAASKVDAQAVDDPPSGRFTWTIENFSRLNTKKLYS
 DIFFVGGYKWRILIFPKGNVNDHLSMYLDVADSATLPY_GWSRYAQFSLAVCNQIH_NKYTIRKDTQHQFN_V
 RESDWGFTSFMP_LGELYDPSRGFLVNDTCVVEAD_VAVRKVADYWSHDSKKETGYVGLKNQGATCYMNSLL
 QTLYHIPYFRKAVYHMPTTENDMPTGS_IPLALQSLFYKLQYS_DTSVATKELTKSFGWDTYDSFMQHDVQE
 LNRVLCEKLEDKMKGT_VVEGT_IQQLFEGHHMNYIECINV_DYKSTRKESFYDLQLDVKGCKDVYASFDKYY
 EVECLEGDNR_YHAEQFGLQDARKGVL_IDFPPV_LQLQLKR_FEYDFMRDTMV_KINDRYEFPLQLDLDREDG
 KYLSPAADRSVRNLYTLHSVLVHSGGVHGGHYYAYIRPTLSDQWFKFDDERVT_KEDV_KRALEEQYG_GEEE
 LPQTNP_GFNNTPFKFTKYSNA_MLVYIRES_DKDKIICNVDEKDIAEHLRIRLKKEQEEKEQKRKEKA_EAH
 LYTVIKVARNEDLVEQ_IGRDIYFDLVDHEK_VRSFRIQKQMPFNV_VKEE_VAK_EFG_IPVQYQRFWLW_AKR_QN
 HTYRPNRP_LTYQEEAQSVGQLREVS_NKANNAELKL_FLEVELGP_DLQP_VPP_PKE_KAKEDILLFFF_LYDPF_KE
 ELRYIGRMFVKGAGK_PTE_ILA_RINKMAG_GGP_DE_EI_ELYEEIKFEP_NVMCEHIDKKLTFR_TSQLEDG_DI_IC
 LQKYSEVASEQC_RYD_VPSFLES_KLHNYDDVVERVAH_HLG_LDDPSKIRL_TSHNCYSQQPKPQ_PPI_KYRG_VE
 H_LS_DMLI_HYNQ_TSD_ILYYEVL_DIP_LPELQ_GL_KT_LKVAFHATKDEV_VI_HIRLPK_QSTVG_DV_LDD_LK_T_K
 ELSH_PGAELRLLEV_FYHK_IYK_IFPL_EK_IEN_IDQY_WT_LR_AE_EI_PEE_EK_ELG_HDR_LI_HVYHFM_KDAT_QN
 Q_QVQNFGE_PFFLVI_HETET_LA_EV_KV_RV_QK_RL_QV_PDEF_AWK_FA_LSL_GR_PEYLQ_DS_DV_VSTR_FQ_RRD_V

GAWDQYLGLEHSDNAPKRSYAANQNRHTFEKPVKIYN

>EMT18915.1 Disease resistance protein RGA2 [Aegilops tauschii]

MEPLLSAIVGDLVSRALSMVTQRYLQSKGAEKEKLQRLRAVILLRIDATVEEAEGRHITNQAMILQQQLQMLR
 RGMYRGYYTLDTFRYRAHDEAYGEASTRRSLALSRFSPSSSRFFSVCAPSRLVLDAGSCSNLDKM
 LSSLERMIQDMQE FVMFLAS YPRISRQPYSAYLFHDQVMFGRQMEKETILSFLLCREAARNGSLGVLP I
 GPARVGKSTLVEHVCHDERVRRRFSLIVFFSGNDLNGGNLATLKGSVVIKHQNLA S PRGDSLAVIELAG
 DMDEETWRLGLYTSAAHNLTPGSKIILTSRSEKIASLGT AQS LVLKF LS QEA YWYFFKTAAGSTD PGEHP
 NLAALGMEIVVHMNRSFVAANTVASLLRTNLDTRFWRRVLRCRDFASKHLSMFG E HPTNLLQKDQPVYM
 WTMAKTSNVVVVMRD IYHEPSPQISEVPRITAQDVLSGRVTSEGAFQAVAWRSRIPPCYTYLVSFVVSRTD
 EHVVLA CSM DLQLYLHKPSTE LDITGLVELLTSQIDRTIFICKAGWQRKPVDQHYRR **AGAFYK** ISKRLCR
 FQQLLHCTVYM

>KHG08814.1 FAST kinase domain-containing 3 [Gossypium arboreum]

MEFLLNPFTQTYLKPLIFMPKQVHNLSVVKLRGGLEFPRRNFA SVGKNSISTGNSVNDDEM EDWELEF
 VGEIDPFSYQAPKKRKQEKSRVLNDEEGMDWCLKARKMALKSIESRGLAHKVEDLIK KKKKKKKR LAKK
 DKISKEVEEIEEGFD FEQD IDNEG FDNQIDD NVS RLRTVSSMG DGMF LEKKE **EKAMEELVQKLAQISGPS**
 DRRKEVNLNKDI IQS QTAA EILEIT SEMIM AVGKG LSPSPLS PLNIA TALHRI AKSMEKV SMPSTR LLAF
 TRQREMSMLIGIAMT ALPECSAQGVSNVA WALS KIGG DMLF LSEM DRVAEVALAKVTEF NSQ NVAN IAGA
 FATMRHSAPDLFEG LAKRAAAI IHSFHEQELA QMLWAF ASLYEPAD TLQAI DT VFNN ANQIKC CLS HET
 VKD DEETGVENS RDI KFGGIPDPPVLTLSRYQLGNI A WSYAVFGQ LDRMFFSHVWKTLSFEEQR IS EQY
 RG DVMFASQVHLVNQCLKLEYSHLQLSIDGELESKIVRAGKTKRFNQTTSSFQKEVGRLLVSTGLDWVR
 EHPTDCYTIDAVLVDQKVALEIDGPTHFSRNTGTPLGHTVLKSRHIAASGWRFV SLSYQEWEEEHEGEVEQ
 LEYLRKILEDH LG

>XP_011397355.1 Nitric oxide synthase-interacting protein-like protein [Auxenochlorella protothecoides]

MGKHSKNAGVMGAESLTYHERKALGFGTVSERLGKDSIGNYYDCRLTLRPAVDPVCTPDGFLFSREAILE
 NLLAQKKANKRKLA AWA KQAERQRKA EKAAIEA AAVLAFDRQN HAGASAGAARLTASIAA EAD ALL
 ADKRVASGAVNIRAHGERMAEM **R** AFWLPSKTPEAAANLEAPDGVTCPASGKPLRLDLTSVALTPLPDG
 AAQE FMDP VS RD PFTNATRLMVIKPTGDV VSEETW RTCL IPEGSYRGVPLGPEDAI ELQ RGGTGFAEHD K
 QAQAKK FFHLGPGS GLSDRRGQHGGPVSKFGLRIAN

>XP_003621296.1 inactive poly [ADP-ribose] polymerase RCD1 [Medicago truncatula]

MEENPSKALDGVS LNKKRKRDSQGVSR **RTGVLAPTSVVVKQMTLARD** DICKPDDSCP DISKSLVSYI NYK
 KSGIPKRLMFYKNGKWDY PEDVVDLVKKDFKIKKAIVEVELNGQEVVLDLHMNHVDMKTCLQQPIGW I
 DEEGNYFFPKVFVGSTE EPNNIRERE GEERLN KKEPHEIKL HISNEINGADESKLRKYSRESDNATKNVK
 AEGHAMTTKIGIQNVAIDINQEPDIDL NDYSES LYGKLDVN STQKMF LKG MSSLG ISES DIVGIYRSSGR
 SMQMRLQLFEKQADI IKGIRGVANIRYAWLACSKEEISTMM EYELSHYELSPSKCIYGP GVHLAAITHPF
 VCSLSCDEDGNGIKHMFLCRVIMGNMELLRPSSKQLR PSDCEYDNGVDDIQC PKCYVVWNMNMNTHIYPE
 FVVSFKSPLGFEENICSNESKKQGYRHSILD TVKATGV PANIR RTPGSASVPFSVLLSSLRN MVPSNIMF
 LLDAQYALLMSNKISRGDCVLKLRLIVANNVLKSAVYNVQSKR PPIYGSNGS NVNQE

>KYP65899.1 TMV resistance protein N [Cajanus cajan]
MDDEELRKGEEITQALLKAIQESRIAIIIFSPNYASSTFCLQELEDIMDCLNHDKLWVWPVFYKVDPDSV
RYQKGSYAEALAKHESRISDKVKVNRWSILQAAANLSGWHFKDGCECEIIGKIIQEVSKRINRNTLHVT
HYPVGLESRVQKVKSLLDSENDEVHMGGIYGIGGIGKTLACAVYNFIAHQFEGLCFLADIGKKIMEHE
LVQLQEKLSDIVGKKDTKLGNIKQGIPPIKSRLSKKVLLILDDVDKLKQLEVLAGGLEWFGPSSRII
TSRNKHLLRVHGVERTYEMEGLNQEEALELFWSWNAFKRKRVNPGYLDISKRVLQHSNGLPLSLEIIGSDL
YGKTELEWKSALDTYERIPHEDIQQILRVSYDGLKEFEKEIFLDIACFFKGYRLNDVISILHSGRGSAPN
YAIQVLVDKCLIKIDLDCVKMHDLIEDMGREIVRLESPSKPGERSRLWFFKDILRVFKQSKGSDKTEIIM
LHLPKVKEVQWDGTALEKMENLKILVVENAHFSRGPSVLPKSLRVLWTAYPESSLNPANFDPKKLVILD
PMPSYFTFADQVIMKFKSLMEMNLSGCELLKKMPDMMSGAPNLKKLDLQCCRNLVEIHSDGLLNRLEWLNL
HNCTSLSFPEILGKMEKMRFLDSLSDGIRGLPFSIGNLVGLKYLYLDGCKWLLELPSSIFTLQLKRLEA
KYCERLALVQNQEGQGQEIMSSSANMSYINFECYYHTDQFLCPVLPWMRNVTILSLNYSNITILPSSI
SVCLSLKALYLNGCKRLREIRGLPPNFKILSAFNCLSLSESNEMLLNEVSYLCFEYCLIKVNA

>XP_010105627.1 DNA polymerase delta subunit 3 [Morus notabilis]
MAQIETLGILODIESLVDRLQVVSYWKLSRNYLLSSNSAKRLLQEFVKEHNGNGFEVYALSGWLKGDSP
SYHIRLVTGKLEEAKQEFDGSCSVQVYSQACIPKDPAVLWNVEFVQAEELFKQPSTIDNCLRDNRFC
ISNSFIKRNVEGTPSSVSAAQFQSGVGVGVLSKSGLTSQKIAAPQSLQQKGEKYSSKVGFPSPNLVKDVKS
ENTGLQDPVNQAPTNEKEVPSMAANKKKVQNGKGSSGTEGSLANFWSRASAKTKASCPAETSSGASAEAQ
ICAREAVNVEGASSDDDQDKNFKRASNGETRKRRVVLYFSDDDEYENAVSLSSPEAGPDPKGKESINS
LVPEKSNAKLDKREDDKSEVKEKVTIDKGSTKLMKDASAIINDKITGTSPKEKALCSVQENDVNKRDKL
TKTTPESPKRRKVLKTQIDERGREVTEVIWEGEDTEAKKATNGTEEKADSNTRKKIESNTSTNNINRPPA
AKKSPAVGNTAPSNTGKAGNKKGNKDSKQGNILSFFKRV

>NP_001105219.1 indole-3-glycerol phosphate lyase, chloroplastic precursor [Zea mays]
MAFAPKTSSSSSLSSALQAAQSPPLLRRMSSTATPRRRYDAAVVTTTARAAAAAVTVPAAPPQAPA
PAPVPPKQAAAPAERRSRPVSDTMAALMAKGKTAFIPYITAGDPDLATTAEALRLLDGCGADVIELGVPC
SDPYIDGPIIQASVARALASGTTMDAVLEMLREVTPELSCPVVLSYYKPIMSRSLAEMKEAGVHGLIVP
DLPYVAAHSLWSEAKNNNLELVLLTTPAIPEDRMKIEITKASEGFVYLVSVNGVTGPRANVNPRVESLIQE
VKKVTNKPVAVGFGISKPEHVQIAQWGADGVIIGSAMVRQLGEAASKQGLRRLEEYARGMKNALP

>ACD03241.1 UDP-glycosyltransferase UGT705A4 [Avena strigosa]
MASNDNVPTAVTSSINKLRVLLIPILATSHIGPFTELAISLAATNDAVEATVAVTPANVSIVQSMLEHR
GGHSVKVATYPFPAVDGLPEGVENFGSAATPEQSMCIMVATKSEALTRPVHETLIRSQSPDAVVTDMTFL
WNSGIAELGVPCVVFSVMGAFSMLAMHHLEAGVDRDDQDDDDDDDAVVEVPGFPGPPIRIPRTELPGF
LRRPDYSITNLFISLKAANCFLGLAMNTSSELEKQYCELYTTPPEEGGGGLRAYFLGPLALALPPISSS
SSSSDCCSIMAWLDSKPSRSVYVSGSMAHVKDVQLDELALGLETSGISFLWVVRGREEWSPPKGWEA
RVQDRGFIIRAWAPQISILGHHAAGAFVTQCGWNSVLETVAAAVPMLTWPLAFEQFITERLVTDTVLGIGV
RLWPDGAGLRSESYQEHEVIPRQDVARALVEFMRAAGGPSSIRDMLARTKLMDSLAKLHAAVAQGGSSH
DLHRLVDDLLMEAAKRPRT

>XP_013467412.1 TPX2-like protein [Medicago truncatula]
MEATRVPKANLYPYTTDYPVVLKSHQKPEPKHRTKPEPFQLESLLRHKEEMQREQEEERLRMEREEAQMRK
FKALPVKRGPNPSSREGPQTPTNSRV

>AEK11755.1 S-RNase, partial [Coffea eugeniodes]
 PLKDQRSINAQDDYWFDYFLLNPPSANGNWRIEQRFWAQEWSRHGTCSENVFNQQSYFNLAK**SLMFTHDL**
TSVLFNSRTPIPLPWPRVSDVMTLISKSPRVRPELRCHYYGNNKILVEVALCYNFTGKQLIDCPRPGSVY
 C

>XP_003624729.1 peroxidase family protein [Medicago truncatula]
 MKQISIIIFFILPLAFADLELGFYASSCRKAESIVKQVVQKRFNRDKSITAALLRMFHDCFVRGCDAS
 LLIDSTKNNISEKDTGANDSVRGYDLIDDVKEAIEAACPSTVSCADIVALATRDAVALSGGPKYNIPTGR
 RDGLIANRDDVDLPGPNIPIGALSQFFAAKGITTEEMVTLLGAHTVGVAHCGFFASRLSSVR**GKPDPTMD**
PALDTKLVKLCKNSDGAFLDQNTSFTVDNEFYKQILLKRGIMQIDQQLALDKSTSTFVSNFASNGDKF
 VKSFATAMIKMGKVGVLVGNEGEIRKNCRVFNKRN

>NP_199445.1 Leucine-rich receptor-like protein kinase family protein [Arabidopsis thaliana]
 MKLLSKTFLILTLCFFFFGIALAKQSFEPEIEALKSFKNGISNDPLGVLSDWTDIIGSLRHCNWTGITCDS
 TGHVVSVSLLKEQLEGVLSPAIA NLTYLQVLDLTSNSFTGKIPAEIGKLTELNLQILYLNYFSGSIPSGI
 WELKNIFYLDLRNNLLSGDVPEEICKTSSLV LIGFDYNNLTGKIPECLGDLVHLQMFVAAGNHLTGSIPV
 SIGTLANLTDLDSGNQLTGKIPRDFGNLLNLQSLVLTENLEGDI PAEIGNCSSLVQLELYDNQLTGKI
 PAELGNLVQLQALRIYK NKL TSSIPSSLFR LTQ LTHLGLSENHLVGPISEEIGFLESLEVLTLSNNFTG
 EFPQSITNLRNLT VLT VG FNN ISGEL PADLGLL TNRLNLSAHDNLLTGPPIPSSISNCTGLKLLDL SHNQM
 TGEIPRGFGRMNLT FISIGRNHFTGEIPDDIFNCN SLETLSVADNNLTGTLKPLIGKLQKL RILQVSY NS
 LTGPIPREIGNLK DLN ILYLHSNGFTGRIPREMSNLTLLQGLRMYSNDLEGPIPEEMFDMKLLSVDLSN
 NKFSGQIPALFSKLESLT YLSQGNKFNGSIPASLKSLSLLNTFDISDNLLTGTIPGELLASLKNMQLYL
 NFSNNLLTGTIPKELGKLEMVQEIDLSNNLFSGSIPRSLQACKNVFTLDFSQNNLSGHIPDEVFGMDMI
 ISLNLSRNSFSGEIPQSFGNMTHLVS LDSSNNLTGEIPESLANLSTLHKLKL ASN NLKGHV PESGVFKN
 INASDLMGNTDLCGSKKPLKPCTIKQKSSHFSKRTRVILIILGSA ALLL VLLV LILT CCKKEKKIEN
 SSESSLPDLD SALKL KRFP EKPE QAT DSF NSANIIGSSSLSTVYKGQLED GTVIA KV VL NL KEF SA ESD
 KWFY TEAKT LSQLK HRN LVK**ILGFAWESGK**T KALV LPFMENG NLED T HGS AAPI GS LLE KID LC VHI AS
 GIDYLHSGYGFPIVHCDLK PAN ILL DSD RV AHV SDF GTAR ILGF REDGSTA STSAFE GTI GYLA PE FAY
 MRKVTTKADVFSFGIIMMELMTKQRPTS L NDE DSQDM TL RQ LVEK S IGN RKG MVR VLD MELG D SIV SLK
 QEEAIEDFLKLC LFCTSSRPEDR PDM NEIL THLMK LRG KANS FRED R NED REV

>CDX88265.1 BnaC06g37090D [Brassica napus]
 MGNFCPNGSSSVGHEEIPVSTKPLPAVKHGQNPVNQK**APPVVVMPPARGSNPKF** PAAETRTVDNT PRQK
 QQEKKPRSVDDPSREKQQEKKPRSVETPPSKPVEKQGVGKKAVPPSGKIVTPNLKMFTLTDLM TAT KNFR
 PESMIGEGGFGQVFKGWVDEETLSPSRAVGVIPIAVKKSNPDSAQGLHEWQARKFHHPNLVKLLGYCWE
 NQFLLVYEF LPKGSLENH LFSKG DGLT WDTRLKIAIEAAQGLTFLHNSEKSVIYRDFKASNILLDSNFNA
 KLSDFGLAKHGPINGYSHVT VMGTQGYAAPEYVATGHLYVLSDVYGF GVVL LE LLTGLRALDPN RPSA
 QQLNVEWAKPVLSQKKI QKLM DPRLEHKYPLL AVTKTA ALI LRC LEAD PKN RPPM DD VL RELE I VRTIR
 EQPKEEKRN RNN NGHSPH VRKT GRT R

>ABN09074.1 Terpenoid synthase [Medicago truncatula]
 MILMMPIYGTVEELEFTQAIQRWDFSLIQPLPECMKVVFNTIVELWDEIEITLVETGKSNLVQYIK**QA**
FYKLAQSYL VETKW GNEGII PTY DEY KANG LISSTIPLSII SFV GLGE FSNEEL DLW S SEPTIVNAVSA
 IGR LADDVSSHKF EQQRVH VAAVECCMKQYNMSQEEAYKHINKDIE FWMDINEEFLKLDYIPNPVLEC
 ILNVARITEFTYENYEDK YTNG ELLKDYV VALL IDPISTGR

>XP_007508107.1 APG4C_XENLA Cysteine protease APG4C (ISS) [Bathycoccus prasinos]

MALFSSEDDASENRTNPLWKVLQKSFSYKKLQFSKRMYAMKNSIFSRRIHDESNRGVRNTVVMILGERM
TAFDRLISRVDAFFSSYVSEFPPIESKKMFLFTNNNTNTTNTKETTMKMKSIDFVANQVGGYTTDCGW
GCTLRSAQMLFGEALMRSARARRFRRSLRSEEDVSEEEEEE~~E~~E~~F~~KRKKEIVDMFSDDNDDEDNE~~K~~K
KKKKKT~~K~~NVFGLRRVYEGDEDENALCPGQWMAPSEICKRYGKMMNRLDSFQNVRCLILGDGC~~GGG~~VPEFY
PERVREEMKTHADKDVLILVPLRCGASDAINPEYVKS~~L~~QKF~~L~~S~~V~~REC~~G~~IVGGKK~~T~~ASYYIVGFTSGKKS
SDS~~Y~~SGGEKEEEEEKEEEENEDEEEEEEEETRAIYLDPHVAKAYVSPRERSRDESTESAYYRSFFG
SASEH~~G~~I~~L~~YTPFHADPSL~~V~~VGF~~L~~VGN~~D~~TYDEMNNASSSSLD~~A~~F~~V~~D~~V~~L~~T~~N~~I~~E~~R~~SG~~S~~T~~P~~L~~I~~T~~V~~VTK~~K~~V~~L~~
SKKKMNSSMNSSSKRTENNKR~~G~~EEEDDED~~W~~E~~I~~IDGCEGEEF

>KMZ74171.1 60 kDa chaperonin 2 [Zostera marina]

MASANAISTAI~~P~~RS~~P~~R~~Q~~PEVQRRIGAQGRRVSYRPSSMNGKSR~~V~~RSSAKEIAFDQISRSTMQNGIDKL
ADAVGVT~~L~~GPRGRNV~~V~~LDEFGNPKV~~V~~NDGVT~~I~~ARAIELANPMENAGAALIREVASKTNDSAGDGTT~~A~~S~~V~~
LARE~~I~~IRLG~~L~~LN~~V~~TS~~G~~ANPVS~~I~~KKGIDKT~~V~~IELINVLEGKSLPV~~K~~GRNDIKAIATISAGNDDQIGTMIAD
AIDKV~~G~~PDGVLSI~~ESS~~SSFETTV~~D~~VEEGMEIDRGYISPQFVNPEK~~L~~IVE~~F~~ENARVL~~I~~DQKISAIKEII
P~~L~~LEKTSQ~~L~~R~~A~~PL~~L~~IIA~~E~~DTGEALATLV~~N~~KL~~R~~GI~~I~~VA~~A~~IKAPGF~~G~~ERR~~K~~ALLQDIAIMTGSEFQAKD
LG~~L~~LIEDASVES~~L~~GIARKITISQS~~S~~TT~~I~~IADAASKDEIQARI~~S~~Q~~I~~KNELAETDSVYD~~E~~KL~~A~~ERIAK~~L~~SG
GVAVIKVGAATETE~~L~~EDRKL~~R~~IEDAKNATFAAIEEGIVPGGAAYVHLSTCVPAI~~K~~ELF~~D~~ADERLGADI
IQKALVSPASLIAANAGVEGEVV~~V~~EV~~V~~EV~~V~~KVRDSEWEIGYNAMTDKYENL~~V~~ES~~G~~VIDPAK~~V~~TRCALQNAASVAG
MVLTTQAI~~V~~VE~~K~~PKPKVPVAAPPQGLTV

>NP_178341.1 phloem protein 2-B10 [Arabidopsis thaliana]

MGRKRRVKSESSPFDSFPEDCISYIISFTNPRDACVAATVSKTFESTVKS~~D~~IIWEKFLPADYESLI~~PP~~SR
VFSSKKELYFSLCN~~D~~PVL~~F~~DDD~~K~~SV~~W~~LEKAS~~G~~KRCL~~M~~LSAMNL~~S~~IIWGDN~~P~~QY~~W~~Q~~W~~PIP~~E~~R~~F~~E~~K~~V~~A~~
LRDVCWF~~E~~IRGRTNTRVLSPRTRY~~S~~AY~~I~~VF~~K~~GVDKCYGF~~Q~~NVAIEAAVG~~V~~V~~G~~QEP~~S~~RR~~L~~IC~~F~~SEA~~I~~RR~~G~~R
RN~~V~~V~~K~~PK~~Q~~RED~~G~~W~~M~~E~~I~~LGEFFNDGGIMDNDEIEMSALET~~K~~QLNRKCG~~L~~I~~Q~~GIE~~I~~RPAK~~I~~L

>AAC63569.1 alcohol dehydrogenase, partial [Gossypium robinsonii]

LSVEEIEVAPPQKNEVRVKI~~H~~FTSLCH~~D~~VYFWEAKQ~~N~~PLF~~P~~R~~I~~L~~G~~H~~E~~AG~~G~~V~~V~~ES~~V~~G~~E~~G~~V~~M~~D~~V~~Q~~PGDH~~V~~
LPI~~F~~GECKECPHCL~~S~~EA~~N~~MC~~L~~R~~I~~TERGGMLHDGQ~~T~~RF~~S~~KDGKPIYH~~F~~L~~G~~T~~S~~F~~S~~E~~Y~~TV~~V~~H~~V~~Q~~I~~A
KINPEAPLDKVCVLSCGMST~~G~~F~~G~~AT~~V~~N~~V~~AKPKKGGS~~V~~AV~~F~~GL~~G~~AV~~G~~L~~A~~AEGAR~~V~~C~~E~~A~~S~~R~~I~~I~~G~~I~~D~~L~~N~~PNR
FEEAKKFGCTEFVNPKDH~~N~~KPVQEVIAEMTGGVDCSIECTGSTQAMV~~S~~A~~F~~EC~~V~~H~~D~~

>XP_002950408.1 ferroportin [Volvox carteri f. nagariensis]

MEPQVPVRAKVF~~C~~ASY~~A~~AW~~R~~SWEF~~I~~VAL~~V~~L~~I~~ELYP~~D~~SL~~M~~V~~S~~AY~~G~~LLDN~~M~~AR~~V~~LL~~G~~PA~~V~~GSY~~V~~DR
HERMPGAQAMLRLQNL~~C~~IGGSAAA~~A~~L~~V~~L~~W~~PR~~S~~A~~A~~TE~~H~~K~~A~~V~~Y~~WS~~L~~M~~W~~LL~~T~~VL~~G~~SASSAG~~S~~T~~G~~V~~S~~IS~~V~~RE~~E~~
AVKTL~~C~~GADGR~~A~~LA~~A~~LN~~S~~VMRA~~I~~D~~L~~T~~A~~LL~~C~~AP~~L~~A~~G~~LL~~M~~T~~A~~AGP~~F~~T~~A~~V~~A~~AMAAY~~C~~GV~~A~~V~~V~~PEV~~V~~LL~~G~~AA~~F~~
RAAPVL~~G~~QPKVRAAS~~D~~AV~~S~~GGQA~~G~~LG~~G~~ADADTEERT~~G~~LL~~A~~GC~~A~~DC~~A~~GEQ~~A~~IS~~R~~RD~~P~~H~~T~~SGAG~~G~~KAG~~P~~
V~~T~~VA~~A~~T~~G~~T~~D~~P~~E~~HL~~R~~SC~~F~~ED~~S~~T~~G~~CI~~S~~GG~~T~~R~~G~~E~~P~~Q~~G~~GD~~R~~GS~~R~~RA~~E~~G~~S~~DDDDGDF~~G~~DR~~A~~D~~S~~AR~~L~~N~~Q~~PLL~~L~~
DAAE~~S~~L~~P~~TS~~V~~S~~A~~T~~W~~EG~~G~~DD~~R~~LT~~G~~DR~~S~~AG~~S~~R~~S~~Q~~H~~A~~I~~SV~~K~~VG~~G~~V~~M~~V~~A~~AG~~G~~GG~~G~~EL~~S~~NT~~S~~SV~~T~~ALE~~M~~T~~S~~PT~~A~~
T~~S~~CG~~GG~~GL~~A~~RL~~R~~V~~L~~RA~~V~~RS~~Q~~F~~G~~LYC~~D~~SW~~R~~V~~L~~QQ~~S~~V~~L~~L~~C~~VAL~~A~~LL~~Y~~MT~~V~~L~~S~~LG~~F~~L~~M~~T~~S~~FL~~K~~W~~S~~GL~~S~~
EV~~S~~GY~~R~~G~~I~~G~~A~~LT~~G~~LA~~A~~TA~~I~~F~~P~~PL~~S~~AR~~A~~GL~~L~~FC~~A~~V~~G~~V~~T~~Y~~Q~~LA~~C~~LA~~A~~G~~V~~L~~P~~V~~V~~T~~P~~MA~~G~~GD~~Q~~R~~P~~S~~V~~P~~Q~~V~~R~~
IL~~V~~AG~~L~~V~~S~~RT~~G~~L~~W~~Y~~D~~LA~~V~~T~~Q~~LI~~Q~~EE~~V~~R~~Q~~D~~Q~~L~~G~~S~~V~~Y~~G~~V~~Q~~SS~~L~~Q~~A~~S~~F~~EM~~M~~S~~F~~V~~A~~GL~~I~~GG~~C~~FP~~A~~T~~M~~MS~~F~~R
V~~S~~TL~~L~~LI~~A~~V~~A~~T~~R~~CL~~A~~Q~~Y~~E~~Y~~D~~Y~~GY~~G~~Y~~D~~F~~Y~~D~~E~~DD~~F~~Y~~Y~~DE~~Y~~GY~~Y~~Y~~D~~E~~Y~~YY~~Y~~Y~~D~~YY~~Y~~Y~~A~~DF~~A~~GY~~E~~YY~~Y~~AE

EYDFFEECFFDTNGQPVLANGTASCDIKIAGVNKQADKLTGGLDGIYKLTSCYNGKPMYKRQSSPPGEDR
 VLWYSSTFGDWDVSKGSEPNEAEILMYGEMEHASVPLFVGWSHLGGDIKSDTALGEDDYLPIINVNVSCA
 DGTVYTAGLNSYKQVVGPVLTDAEIEAKYSYIYEKYSKSDPSPTINFTVVLLVMSGLTIVLAIPYFLR
 KKGAKGGSISVSFAQMLTQSCKKSSGHIN

>ADM18306.1 ubiquitin-like protein 1, partial [Gladiolus grandiflorus]
 NDSAPNPFAALLGNQGTAQSREPLTNSSDPASGPAPNTNPLPNPWGNTTAGAAQATNTRATPTTGTRAP
 GIAGLGGGLPELERMVGGVQDPALINQVMQNPMQTQMMQNLLSDPQYMNQMLSMSPQMRTMMMENTQFRE
 MLQNPEFIRQLTSPDTMQQQLSFQQSVISQLGRQQPSQEQNQTGGSGLESLMNMFGGLGAGGLGVNPNS
 KVPPEELYTTQLSQLREMGGFDTQENIRALSATSGNVHAVERLLGNLG

>ABU88984.1 phospholipid/glycerol acyltransferase [Helianthus annuus]
 MSKLTTSRSELDLDRPNIEDYLPDSDIQQPHTKLRLRDLLDISPTLEAAGAIVDDSFTRCFKSNPPEPW
 NWNIYLFPLWCLGVVVRYGILFPGRVLILITIGWIIFLSCYIPVHVLKGHDKLRKRLERALVELICSFFV
 ASWTGVVKYHGPRPCARPQVFANHTSMIDFIVLEQMTAFAVIMQKHPGVGULLQSTILESGVCIWFNR
 SEAKDREIVARKLREHVEGTDNNPLLIFPEGTCVNNNYTVMFKKGAFELGATVCPIAIKYNKIFVDAFWN
 SRKQSFTTHLLQLMTSWAVVCDVWYLEPQNMKPGETAIEFAERVSIISIRAGLKMVPWDGYLKYSRPSP
 KHRESKQQSFAESVLRRLEEK

>KYP74384.1 F-box protein PP2-B15 [Cajanus cajan]
 MESKTQQQLVSFDECPTKIEALAEDCVSKILSYTSPADACRFSMLSSLRSAADSDLLWRSFLPSDH
 ILSRALSPLTNSSFHKLFHALSHPLLDAGNISFKLDKSSAQKSYIILSARELSITWSNDPLYWCWRPA
 PESRFKEVVELRTVSWLEIQGKIEKTILTQNTSYGAYLIMKISHREYGLDSVCDSVQLGNKVQSGRVY
 LCKKLDEKKDEGIGIPRRREDGWMEVEVGEFLSGEGEEVVKISLMEVGYRLKGGLIVEGLEVRPKHHS

>XP_003630752.2 casein kinase I-like protein [Medicago truncatula]
 MERIVGGSYKLGRKIGSGSFGEIYLATHIDTFEIVAVKIENSKTCHKPQILYEAKLYNILQGGSGIPGLKW
 FGIDREDNVLAIDILLGPSLEDLFVYCGRKFSKTVMLADQMITRIEYVHSKGYLHRDIKPDNFLMGLGR
 KANQVYIIDFGLAKRYRESTTNRHIPRENKSLTGTARYASCNTLHGIEQSRRDDLES LGYVLLYFLRGS
 LPWQGLRAATKKQYEKICQKKVSTPIEVLCKSHPVEFASYFHYCHSLTFDQRPDYFLKRLFRDLFARE
 GHEFDVFDWTTILKYQQSQKNLVQPSLSPVPGASNRHAVAMDVDNHQGHGEERIRSGNATGSGVKVQFKS
 PAGRNLSSDNPRDKNIFGEANMASASYSPAGTSKRNPALSAEPSNTGHQASKIGPSSWMSSLQRI
 SSSK

>XP_011402186.1 Ferredoxin-dependent glutamate synthase, chloroplastic
 [Auxenochlorella protothecoides]
 MPSPLQAVPVLGPGPAPDTEPYVGAVDNEDLLREKDACGVGFIANLKAERTHDIVTKALMALGCM
 EHRGACSSDNVSGDGAGLMLIIPWDLLAEEVPGTAQGSTGVMVFLPDEAAAGTARGIVAAVAEAE
 GFDFLLGWRDVPDVAAVGEVARATMPRIAQVVLRSRAGLAGDDLERELFIVRKLIERRSERELGPE
 LAPGFYFCCLS CRTIVYKGMLNSGAVARAFFRDLTDPRYVTCFAYHRRYSTNTTPRPLAQP
 MRLLGHNGEINTLQGNLNW VASRQGALRAEAWGGRERELLPLCDARESDSANLDH
 LAELLVRSGTDAREALMVLVPEAYRNHPDLAAEY AAVADFYYEGI
 QEGWDGPALLVFTDGKKVGarLDRNGLRPARFWRTADGVVYVASEVGVLGDVFSSAP
 NIVAKGRLGPGQMLCADLETGEFQGHVDIARDVASRHPYADWLA
 ACTHRLADIVPPRTVLEG
 PAMAAGDALRLMAASGYGLEDTAMVIEGMAGSGAEPTYCMGDDVPLPALARSPH
 LLYDYFKQRFAQVTNPPIDPLREG LVMSLEMRLGRRGNLLSPGPDSYQQ
 TSLVVTAGCVSTHLLAALVGYGAHAVV
 PYLAFEAA
 RQWRAS PRT ENLVRAGKLPDV
 SMAAQRNYKKALEKGLMKILSKMG
 ISLLSCYHGAQIFEAYGLGREVIDAAF
 VGT
 VSR

IGGLTLDDVQRETEAFWAKGPEKKLTLEDYGYIQARPKGEHHANNQAMSKLLHKAIGLGGHPAGAGA
 YEAYLQHFRAAPVTVLRLLELHTGAAAVDVEEVESVADIVARFCTGGMSLGAISRETHETIAIAMNRLG
 GKSNSGEGGEDPVRWLELDGVDKGGRSALLPHLKGRLAGDTATSRIKQVASGRFGVTPEFLVNADQGGQL
 PGKKVSPYIADLRRSKPGVPLISPPP HDIYSIEDLAQLIYDLHQVNPAARVSVKLVAQAGIGTVASGVA
 KAGSDVIQSGHDGGTGASPISSIKHAGGP MEMGLAEVHQTLTANGLRDRVVLRADGGMRTGRDVLVAAA
 LGGDEFGFGTVAMIATGCIMARVCHTNCPVGVASQREELRKRFPGTPEDLVNYFMFVAEEVAGLASLG
 LRSLDELVGRGDYLQRQTDVSLAKTSALDL SILTR **FAGETATSTERRGAPPHDNGSEDDVILADAEVQK**
 AIDEEGTVRRSYDIANTDRSALGRLGGAIAKRYGDDR FQGRIE LDLRGSAGQS FAC FITRGVHVTLTGEA
 NDYVCKGMAGGEVAIRPPEESRF PAREASIVGNTCLY GATGGALFVN GRAGERFAVRNSRAAA VEGVGD
 HACEYMTGGVVVVLGKSGRNVAAGMTGGLYFYDPQGT FPDRVNAEIVTVQRVLTGTGAAQLKG LLERHV
 ELTGSAAQELLGDWEAALPRFWQLRFQHLEIGAHDT DLLASP GPTGPVQYPLRAPSFQPLPGPFQGTRV

>AIZ05147.1 DNA mismatch repair family protein, partial [Salix arbutifolia]
 DSSQLCPPL ESKMFSKQLSANGNDSEETQTDAEDSSPLMTVEVKS KTFQAGERSIH DIEEK **FMMKDFTL**
RLHDTKKTDSLTNSNSCKATKHLNAETDRNARCLS RGVERVKGDSNGPSGYFQSKLSNFVTNKRKREDI
 TPQLSEAPVLRNQTSECQLKIS DINMHDAV TSLPFN

>KHF97672.1 NADH-quinone oxidoreductase subunit D [Gossypium arboreum]
 MLYRRVTRFVSSLVSDK **SELHIILSNFGLIRKMALQIADFCPHGRVSYSCMTHGHVARSSVPWCNEIEV**
 NMLHTPHTQECDLAVLHKSYVPTILPQSDTRACVAISKGTRAKHTGMWLAM

>AEX01583.1 photosystem II CP43, partial (plastid) [Zostera angustifolia]
 MKTLYSXRRXY PVXTLFNGXLAXAXRDQETTXFAWWXGXARXINLSGKLLGAHVAHAGLIVFWAGAMNLF
 EVAHFVPEKPMYEQGLILLPHLATLGWVGPGGEVIDTFPYFVSGVLH LISSAVLGFGGIYHALLGPETL
 EESFPFFGYVWKDRNKMTT ILGIHLILLGIGAFL LVFKALYFGGVYDTWAPGGGDVRKITNLTLS PSVIF
 GYLLKSPFGGEGWI SVDDLEDIIGGHVWLGSICIFGGIWHILT KPF AWARRALVWSGEA YLSYXL XALA
 VFGFIACC FVWFNXTAYSEFYGPTGPEASQAQAFXXXRDXR **LGANIGSXQGPTGLGKYL MRSPTGEV**I
 FGGEXMR FWDLRAPWLEPLRGPNGLDLSRLKKDIQPWQERRSAEYMTHA PLGS LNSVGGV

>AKT94711.1 maturase K, partial (chloroplast) [Brunonia australis]
 MEEFQNHELDRSQQHYFLYPLIFQEYIYVLTHNDGFNMLENAGYENKS RFLIVKRLISQMYQKNY LHMI
 LSSNASKQSLFWGYKRNCYSQVMSKGFSIIMEIPLFMR LISSLERK ALVKSENLR SIQSIFS FLED NFSY
 FNYVLDLLIPYPAHLQILVQALRYWIKDASSLHLVKLFLYEYSNFNSLIPSNSKKAPSSFLNQRLFFF LY
 NFHVCEYESGLIFLRKQSSYLRSTSFGTLLERIFFY GKI DQLADVFVRSFQATLWLFKEPFM HYVRYQGK
SIFASKGTFLINK WKYYFIKF WQFYFV LWSQPGTIYINQLSNHSL D L LGYCSIVRLKPLMVHSQM QENT
 FLIDNRINKFETL VPILPLIDLLAKLKVCNAVGHPIGKASWADLS DSEI IDRFGRLYRNLSHSGCSKR
 NSLSRVKYI LQLSCLRTLARKHKSTVRAFLKRGSEFLEEFFGEEEVLSLT FPRVSSISR KLSRKRIWYL
 DVXNDXANHD

>BAF08402.2 Os02g0261400 [Oryza sativa Japonica Group]
MRQFGPDFGGVTKKSFLHLK KIELVGLPELVEWVGGDHCHMF SKLLSIRCEDCPNLTVLLPSFECSISD
 TKDINTIWF PNLC SLKIRNC PRLSLPPLPHTSMLTCVTVKEDDT DLMYFDGKSLR LNRYGSALAFHN LNK
 VEDMEIVDMPLVSWTGLQKLNSPRSMQSMG LLSNLSS LTHLELVNC DNL RVDGF DPLTT CNL KEMAVYNS
 KNHPSIAADLF SVVAMMEVIPAGSF QQLEQLSVD SISAVL VAPI CNL LASTLCKMEFPYDMWMESFTET
 QEEALQLLTSIQC LIGFYVC PRIQL QSLPEGLHRLSSI RELIIHCPEIRALPKEGFPASLRYVFA YEGISVD
 LKDQLKKL KASTPGL RDRC SR SIPLFIE ISKGKTARGC SIVYRINSRK

>AEF32085.1 ent-kaurenoic acid oxidase [Castanea mollissima]
 MELGPICNVLLCIFGVLVVLKWVVKNANWWLYETQLGEKQYSLPPGDLGWPFIGNMWSFLSAFKSKDPDS
 FVSSFVSRFGRTGIYK**VFMFGNPSVIVTSPEACR**RVLSDDDCFKPGWPKSTVALIGKKSFIGISFEHKR
 LRLTAAPVNGYEALSMYTKYIEEIVTSSLKWTMGEIEFLTELRLKLTFRIMYIFLSSESEPVMTALE
 REYTALNYGVRAMAINIPGFAYHKALKARKNLVATFQSIVDERRNQKKSVPTKKDMMDALIDVKDENG
 RKLTDEEIIDLIVMLNAGHESSGHTAMWATIFLNQHPEYLQKAKKEQEEIVRKRLPEQKGLTLKEIREM
 EYLSKVIDETLRVITFSLTVFREAKQDVNIAGYTIPKGWRVLVWFRSVHLDPEIYENPKEFKPSRWDNFT
 PKAGAFLPFGAGTRLCPGNLAKLEISIFLHHFLNYQLERLNPSPSMYLPHTRPVDNCLARIKKCPSS
 SL

>XP_007032041.1 Aminopeptidase isoform 1 [Theobroma cacao]
 MGKKKKDIIKLERESVIPIVKQKLITTLADLIEGKSERAEFLKLCQRVEYTIRAWYHLQFDELMQLFALF
 EPVHGAQKLEQQNLSPEEIDDLEQNFLSYLFEMMDKSNFKITTDEEIDVALSAEYRLNLPIVVNESKLDK
 RLFTRYFEKNPHKDLPYFADKFIIFRRGFGIDHMTAYFFKAKVNTIIVRFWRC**CTKVTGLKF**TRLFFGK
 KVVKPYKKDSAEPTELKIEGEQNELYVERIRIEKLKFSISNFLRKITIQEPTFERIIVVYRRMPRKHETQR
 NIYVKHFKNIPMADLEIVLPEKKNPGLTPMDWVKFLVSAAIGLVTVISSLSMPKPDIRVIFGILSAVVGY
 CVKTYFSFQQNLVDYQNLITRCVYDKQLDSGRGTLLHLCDEVIQQEVKEVIVSFFVLMEQGKGVSKGDLD
 LLCEQLIEKFGDDCNFDVDAIRKLEKLGIVSQDNIGTYTCVNLRRANEIIGTTTEEVVLKAKGGGGDP

>ABV72578.1 dehydration-responsive family protein S51 [Brassica rapa]
 MNLSTRISSRDKKSNLYYITLVAVLCIGSYLLGVWQNTTVNPRAAFDTSTDAPPCEKFSKTSTTDLDFN
 AHHNPHDPPPSAVTAVSFPSFDAALSEHTPCEDAKRSLKFSRERLEYQRHCPDREEALKCRIPIPAGYGYK
 TPFRWPESRDVAWFANVPHTELTVEKKNQNWVRYENDRFWFPGGGTMFPRGADAYIDDIGRLIDLSGSI
 RTAIDTSCGVASFGAYLLSRNITMSFAPRDTHEAQVFALERGVPMIGIMATIRLPYPSRAFDLAHCS
 RCLIPWGKNDGVYIIMEVDRVLRPGGYWILSGPPINWQKRWKGWERTMDDLNEEQTQIEQVARSLCWKKVV
 QRDDLAIWQKPFNHIHCKKMRQVLKNPEFCRYDQDPDMAWYTKMDSCLTPLPEVDESEDLKTVAGGKVEK
 WPARLNAVPPRVNNGDLKEITPEAFLEDTELWKQRVSYYKKLDYQLGETGRYNLLDMNAYLGGFAAALA
 DEPVWVMNVPVEAKHNTLGVYERGLIGTYQNCEAMSTYPRTYDFIHADSVFTLYQDKCEPEDILLEM
 DRVLRPGGVII RDDVDVLIKV**KELSKGFQWQGRIADHEKG**HERVKIYYAVKQYWTVAPEEDKNNTKA
 LS

>XP_003591835.1 DUF4283 domain protein [Medicago truncatula]
 MAATNPTTSGKSFAQALSGAVSCDSFLSKLPPKViMGDSVRVKiSQAVYESGLAACQCNLHGRLTLHKGD
 SPLTTQALKVKNLCTIEEMQVWAIGVVNLKPGFMFHSCWTKDFiSKAQAAQTHAQVWVRLMNLPEYw
 GKQTIFEIASGLSPLTIDDATVNRRGLFARVLVDVLANKMFDSViVEREGHNLHSiHTCSKMNHET
 PTNVTRKAHNNTKAQSKASLNSKKDEETiVHKiAPSSNEAVGKKPAKTQiPSDNMESPSNSiTAVEGGE
 TLCNVTKELVKTMHVMSNQAEiHTTDKNLDDSPVFEVTESAKQASKESVCLEKVTSSEDPCtLEKDSSQ
 LVVLVPNTQVLESQHGRHPMPDPYVDTSLYHFPLVTPiTTDEVLGPDKGKViiTGSSK**NFTAASMKSQ**
ILRKFWGDEEDTDPATDSTM DPDTNTEKLDTCETSiAGKYLVQPHNDSFVKPGRKASKKRVQNHNGKTT
 DGVTSSEHiQTRSKKGViKSNPKYV